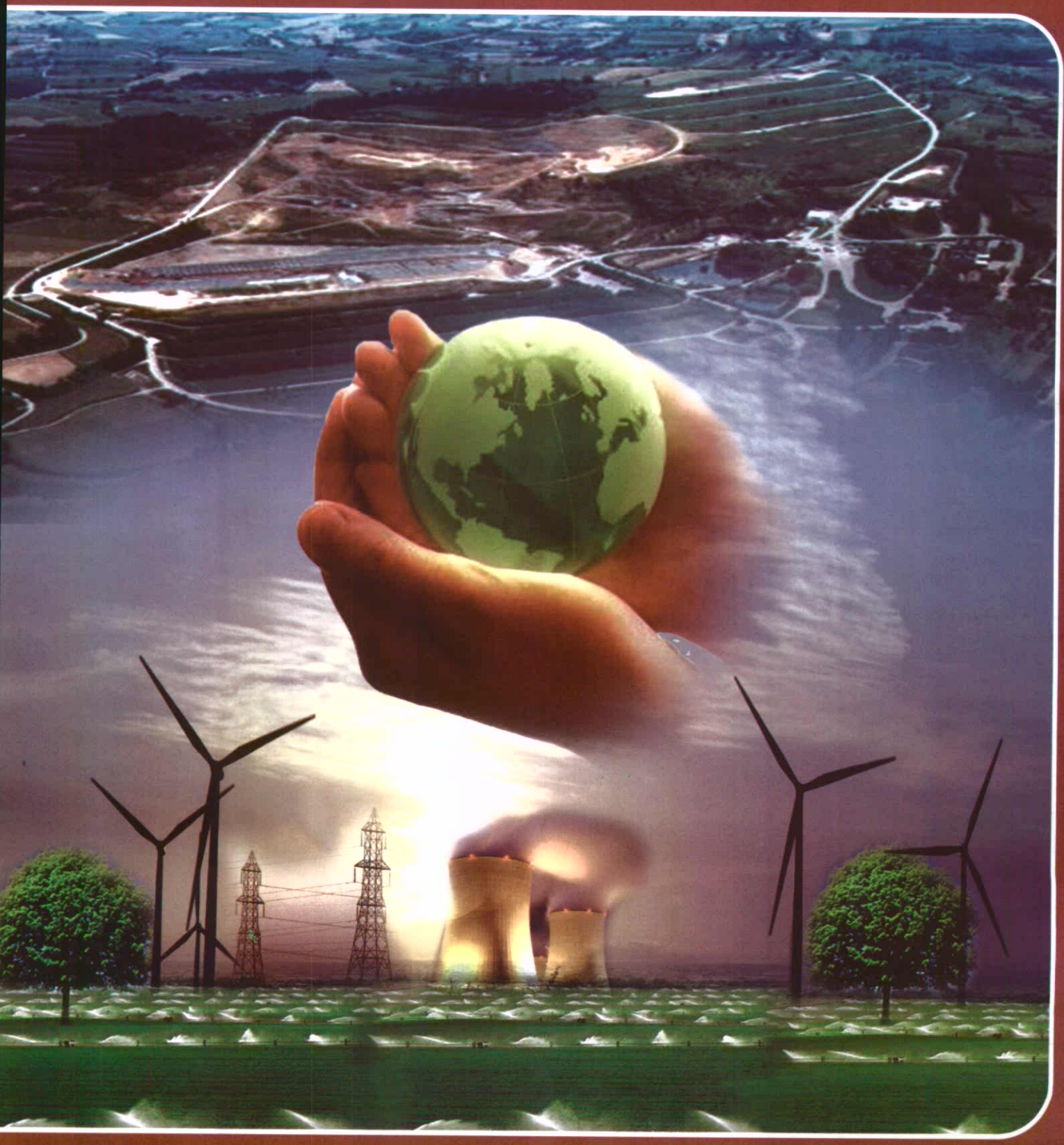


شرکت مهندسی



نشریه فنی تخصصی قدس نیرو
شماره ۳۷ - قابستان ۱۳۹۰





واحد آب و ساختمان

با گذر از ۱۷ سال تلاش مستمر در ارائه خدمات مهندسی در رشتۀ های:

سد و نیروگاه برق آبی، شبکه های آبیاری و زهکشی، مطالعات پایه منابع آب، مطالعات ارزیابی زیست محیطی و آب و فاضلاب



اینک با اتکا به قوان مهندسی و نیروی انسانی کارآزموده خویش سبد جدید خدمات خود را در بخش‌های ساختمان و عمران شهری، راهسازی و توپل، مدیریت یکپارچه منابع آب، مستندسازی طرح‌ها، مهندسی ارزش، پدافند غیر عامل، مهندسی رودخانه، تغذیه مصنوعی و تعادل‌بخشی

و در قالب پیمانهای EPC ، MC و مشاوره مهندسی عرضه می‌داریم.

عنایون مهمترین طرحهای مطالعاتی و نظارتی انجام یافته و یا در دست انجام:

رسته سد و نیروگاه های برق آبی: سدهای رودبار لرستان، ونیار و سازه‌های کنترل شوری آجی‌چای، آقبلاغ خراجی، تاجیار، چشممه زنه، بازفت، کشکسرای مرند، صیدون، سردشت، شیرین آب، تنگزی، آجی‌سو، گلال‌ملک و چم‌سرخ و ...

رسته ساختمان: مطالعات مرحله اول و دوم مجموعه‌ای از ساختمانهای عمومی و دولتی به متراژی بالغ بر سیصد هزار

مترمربع و به کارفرمایی وزارت مسکن و شهرسازی، نظارت بر پروژه های شهرک های صنعتی استان تهران و مرکزی

رسته شبکه های آبیاری و زهکشی: تبریز، سراب، تاجیار، آقبلاغ، چشممه زنه، تالوگ، برمانک، استوه و گازران، غدیر ایرانیان،

لاران، نمروود و ...

رسته مطالعات ارزیابی زیست محیطی: طرح‌های آجی‌چای، رودبار لرستان، بازفت، آقبلاغ، خراجی، بهشت‌آباد، ماملو،

سردشت، شیرین آب، برمانک، بالاخانلو و نیروگاه های زنجان، تبریز، ری، سمنان، بندرعباس، بناب، پرند، ماشهر، کرمانشاه،

دماوند، ارومیه، جهرم، سنتنج، اردبیل و ...

رسته مطالعات پایه منابع آب: کویر سمنان، دشت اراك، گیلان، مازندران، اردبیل، قم، کرمانشاه و ...

رسته مستندسازی طرح ها: مطالعات مستندسازی و جمع‌آوری اطلاعات سد سفیدرود گیلان

رسته آب و فاضلاب: مطالعات راهبردی انرژی در بخش آب و فاضلاب، طراحی تصفیه خانه آب در کشور کوبا



آدرس : تهران، خیابان استاد مطهری،

بعد از چهارراه سهروردی، شماره ۸۲

کد پستی : ۱۵۶۶۷۷۵۲۵۳

تلفن : ۰۲۴۰۴۰۰۰-۸۸۴۰۳۶۱۳

فاکس : ۰۲۴۰۴۰۰۰-۸۸۴۱۱۷۰۴

No, 82 Ostad Motahari Ave.

Tehran 1566775353 / IRAN

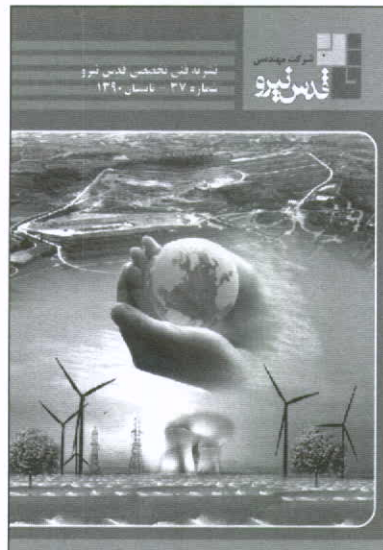
Tel (+9821) 88403613-82404000

Fax: (+9821) 88411704

WWW.ghods-niroo.com



بسمه تعالی



نشریه فنی تخصصی قدس نیرو

شماره ۳۷ - تابستان ۱۳۹۰

مدیر مسئول: دکتر محمود مقدم

سر دبیر: مهندس فتانه دوستدار

با تشکر از همکاری آقایان:

- مهندس احمد اهراوی
- مهندس حسین بختیاریزاده
- مهندس احمد فربیدون درافشان
- مهندس میر داود حسینی میلانی
- دکتر همایون صحیحی
- مهندس منصور قزوینی

از مدیر و همکاران محترم امور پشتیبانی سپاسگزاریم.

فهرست مطالب

- ۱ معرفی
- ۲ اندازه‌گیری شبکه زمین تأسیسات الکتریکی - ایمان طباطبایی
- ۳ بررسی تغییرات کاربری اراضی در حوزه آبریز رودخانه جاجrud - زهرا مشایخی
- ۴ شبیه‌سازی رفتار ژنراتورهای القایی آسنکرون DFIG در یک نیروگاه بادی در زمان اتصال کوتاه شبکه با استفاده از نرم افزار DIGSILENT - محمد رضایی‌گلری، بابک حجتی
- ۵ مبانی طرح سیستم HVDC - علیرضا رضایی، کامران رضایی
- ۶ ملاحظات بهداشتی و زیست محیطی استفاده از پساب در روش‌های مختلف آبیاری تحت فشار (مطالعه موردي پساب خروجی تصفیه خانه اولنگ مشهد) - علی سمیعی، رامین نیکنام، امیر ابراهیم یوسف پور
- ۷ اصلاح مدل رفتاری موهر کولمب جهت تخمین نشت سطح زمین برای حفاری تونلهای کم عمق - رسول فرج نبا
- ۸ مدیریت ریسک و یکپارچه‌سازی خطوط انتقال - بابک فرهمند شاد

هیئت داوران:

- مهندس پورنگ پاینده، مهندس مسعود حبیبا...زاده،
- مهندس فتانه دوستدار، مهندس رضا رضوی، مهندس داریوش چگینی، مهندس داود زاور،
- مهندسفراهد شاهمنصویریان، دکتر جعفر عسگری،
- مهندسرامین علیدوستی، مهندس امیر همایون فتحی،
- مهندسبهرام کرمانی، مهندس علی اصغر کسانیان،
- مهندسمحسن کمالیزاده، مهندس بهزاد مرادی،
- مهندسوحدت مرتضوی، مهندس مهرداد مستقیمی، مهندس الهام ملکی، مهندس محمد رضانصرالهی، مهندس رسول نحوی زاده،
- مهندسبهروز هنری.

این نشریه از طریق اینترنت قدس نیرو در دسترس همکاران می‌باشد. ارتباط مستقیم با مقاله‌دهندگان از طریق Email یا فاکس

آنان در انتهای هر مقاله و همچنین ارائه نظرات، پیشنهادات و سوالات احتمالی خوانندگان گرامی از طریق اینترنت قدس نیرو و یا

شماره تلفن نشریه ۸۸۴۴۲۴۸۲ امکان پذیر می‌باشد.



اندازه‌گیری شبکه زمین تأسیسات الکتریکی

ایمان طباطبائی

کارشناس برق - SBU نیروگاه

چکیده

مسئله زمین و زمین کردن از مباحث عمده سیستم‌های الکتریکی است که نقش حیاتی در حفاظت جان انسانها و جلوگیری از خسارات مالی دارد. مقصود از زمین کردن، متصل نمودن نقاط خاصی از سیستم توزیع برق و تجهیزات برقی به الکترودهای خاصی که به همین منظور در خاک دفن شده‌اند می‌باشد. مجموعه الکترودهای مدفون را شبکه زمین^۱ و اتصال نقاط خاص به این شبکه را زمین کردن^۲ می‌نامند.

اهداف عمده زمین کردن اینمن انسان از برق‌گرفتگی و کاهش ضایعات به تجهیزات و عملکرد صحیح و هماهنگ وسائل حفاظتی می‌باشد.

امروزه طراحی شبکه‌های زمین بزرگ توسط نرم‌افزارهای پیشرفته صورت می‌گیرد که به عنوان مثال می‌توان از نرم‌افزارهای CDEGS و CYMGRD, ETAP با توجه به اینکه ورودیهای نرم‌افزار نظری مقاومت مخصوص زمین (که با اندازه‌گیری تخمین زده می‌شود) و انواع ضرایب تصحیح به کار رفته در محاسبات از دقت کمتری برخوردارند و ثانیاً به دلیل آنکه الگوریتم بکار رفته در اکثر این نرم‌افزارها دارای خطای ذاتی در تحلیل شبکه‌های بزرگ می‌باشد، لذا اطمینان از صحت طراحی تنها با تست دقیق شبکه زمین صورت می‌گیرد. در این مقاله که بر اساس استاندارد IEEE 81.2 و جدیدترین نشریات مربوطه و کاتالوگ سازندگان تجهیزات تست تهیه شده، دستورالعمل تست شبکه زمین بزرگ (نیروگاه، پست) جهت استفاده ناظران بر تست ارائه گردیده تا با آگاهی کامل برداشت تست‌ها نظارت نمایند.

چندین برابر ابعاد شبکه زمین) نیز تأثیر بسزایی در تعیین مقاومت شبکه زمین و به نوبه خود ولتاژهای تماس و قدم دارد. بنابراین اگر در زمان اندازه‌گیری مقاومت ویژه خاک (که معمولاً) همراه با سایر مطالعات خاک در اوایل پرورهٔ صورت می‌گیرد) تنها مقاومت ویژه لایه بالایی خاک (مثلثاً تا عمق ۱۵ متر) اندازه‌گیری شود، طراح مجبور است مقاومت ویژه لایه‌های زیرین را نیز برابر مقاومت ویژه لایه‌های بالایی در نظر بگیرد که این مسئله می‌تواند باعث ایجاد خطای فاحشی در محاسبات گردد. مخصوصاً در زمانی که لایه زیرین خاک بستر سنگی (دارای مقاومت ویژه بالای ۳۰۰۰ اهم . متر) باشد، جهت روشن تر شدن موضوع شبکه زمین یکی از نیروگاههای کشور بوسیله نرم‌افزار CYME مورد بررسی قرار می‌گیرد. در این نیروگاه اندازه‌گیری مقاومت ویژه خاک تا عمق نسبی ۱۵ متر، مقدار ۱۰۰ اهم متر را نشان می‌دهد. جهت محاسبات زمین این نیروگاه، مقاومت ویژه لایه زیرین خاک نیز برابر مقاومت ویژه لایه بالایی در نظر گرفته شده است

۱- بررسی عوامل خطا در محاسبات شبکه زمین

در این بخش به عواملی اشاره می‌گردد که می‌تواند باعث ایجاد خطای زیادی در طراحی و تحلیل شبکه‌های زمین بزرگ بوسیله نرم‌افزار شود.
شایان ذکر است این عوامل خطا معمولاً از کنترل طراح خارج بوده که این مسئله اهمیت تست دقیق شبکه زمین اجرا شده را بیش از پیش آشکار می‌سازد و نشان می‌دهد در بررسی امنیت و کفایت شبکه زمین نبایستی تنها به نتایج محاسبات اتكا نمود.

۱-۱- عدم تعیین دقیق مدل خاک

مقاومت ویژه خاک معمولاً بوسیله روش چهار الکترودی ونر^۳ تا عمق نسبی بین ۵۰-۱۵ متری اندازه‌گیری می‌گردد. یکی از مشکلات رایج در طراحی شبکه‌های زمین بزرگ، عدم اندازه‌گیری مقاومت ویژه خاک تا عمق مناسب می‌باشد که نتیجه آن عدم تعیین مدل دقیق خاک برای طراحی شبکه زمین است. آیا مقاومت ویژه خاک تنها تا عمقی از زمین که شبکه زمین در درون آن دفن می‌گردد در تعیین مقاومت شبکه زمین نقش اساسی دارد؟ در شبکه‌های زمین گسترده جواب این سوال منفي بوده و در این شبکه‌ها مقاومت ویژه اعمق خاک (تا عمق

1- Ground Grid, Ground Network, Primary Grounding

2- Grounding , Earting

3-Wenner



به محل خطا و یک نقطه دور دست تا حدود ۴۰ درصد اختلاف داشته باشد. بنابراین بایستی دقت نمود در هنگام تست شبکه زمین نیروگاهی محل تزریق جریان در مجاورت ترانس اصلی انتخاب گردد. البته نرمافزارهای مانند CDEGS نیز وجود دارند که می‌توانند ولتاژ GPR در تک تک نقاط شبکه به صورت مجزا محاسبه نمایند و به نظر می‌رسد این نرمافزارها جهت تحلیل شبکه‌های زمین بزرگ و گسترده مناسب‌تر باشند.

۲- اندازه‌گیری مقاومت شبکه زمین

بعد از نصب شبکه زمین و اتصال نقطه خنثی و بدنه فلزی تجهیزات به آن، صحت طراحی توسط تست‌های متعددی صورت می‌گیرد که عمده‌ترین آنها اندازه‌گیری مقاومت شبکه زمین و ولتاژهای گام و تماس است.

۱- تعاریف

۱-۱- شبکه زمین: در تأسیسات بزرگ نظیر نیروگاه و پست، شبکه زمین عبارت است از مجموعه هادیهای لخت بصورت مشبك که در عمق 0.5 m تا $1/5 \text{ m}$ خاک بصورت افقی در سطح تأسیسات گسترده شده، و مضافاً "تعدادی الکترود میله‌ای بصورت عمودی به این شبکه متصل شده‌اند. جهت حفاظت از برق‌گرفتگی لازمست بدنه فلزی کلیه تجهیزات الکتریکی و غیرالکتریکی که در دسترس قرار دارند به این شبکه متصل گردد که زمین کردن حفاظتی نامیده می‌شود. نقطه خنثی سیم پیچ تجهیزاتی نظیر ژنراتور و ترانسفورمر نیز به این شبکه متصل می‌گردد که زمین‌الکتریکی ^۳ نام دارد.

جدول (۱)

مورد	ρ_1	ρ_2	h	R
1	100	100	∞	0.0945
2	100	3000	50	0.6185
3	100	3000	100	0.4226
4	100	6000	50	0.7965
5	100	6000	100	0.5175

(مورد ۱ جدول). با تغییر مقاومت ویژه لایه زیرین خاک نشان داده می‌شود که عدم اطلاع از مقاومت ویژه لایه زیرین خاک تا چه حد می‌تواند نتایج محاسبات را تغییر دهد شایان ذکر است که با مراجعه به جدول (۱) تغییرات ولتاژهای تماس و قدم نسبت به مورد ۱ جدول، در حد تغییرات مقاومت شبکه زمین خواهد بود. بنابراین توصیه می‌گردد جهت تعیین مدل دقیق خاک در طراحی شبکه‌های بزرگ، مقاومت ویژه خاک در حداقل چند نقطه از سایت تا عمق زیاد بوسیله روش چهار الکترودی شلمبرگ^۱ اندازه‌گیری گردد.

۲- پوشانده شدن سطح سایت بوسیله لایه سطحی

در طراحی شبکه زمین، جهت کاهش ولتاژ تماس و قدم، سطح سایت بوسیله یک لایه سطحی (Surface Layer) با مقاومت بالا و ضخامت بین $20-10 \text{ cm}$ پوشانده می‌شود ولی عملاً قسمتهایی از سایت بوسیله پوشش بتنی یا پوششهای دیگری که مقاومت ویژه کمی دارند پوشانده می‌شود (و یا اصلاً توسط لایه سطحی پوشانده نمی‌شوند). بنابراین لازم است مقدار واقعی ولتاژهای تماس و قدم در مکانهای مورد نظر بوسیله تست تعیین گردد.

۳- الگوریتم به کار رفته در نرمافزار تحلیل شبکه زمین

الگوریتم به کار رفته در بسیاری از نرمافزارهای تجاری موجود در بازار مانند CYME و ETAP در تحلیل شبکه‌های زمین بزرگ و وسیع دارای خطا می‌باشد. در این نرمافزارها فرض می‌شود که ولتاژ سراسر شبکه زمین در هنگام خطا به یک میزان برابر ولتاژ افزایش می‌یابد. این فرض در شبکه‌های زمین کوچک و یا متوسط معتبر می‌باشد ولی در شبکه‌های زمین بزرگ با مقاومت کم اعتبار خود را از دست می‌دهد. در این شبکه‌ها ولتاژ GPR در هنگام وقوع خطا می‌تواند بین یک نقطه نزدیک

مقاومت ویژه لایه بالای خاک: [اهم-متر]

مقاومت ویژه لایه زیرین خاک: [اهم-متر]

عمق لایه بالای خاک: [متر]

مقاومت شبکه زمین: [اهم]



- برای اندازه‌گیری مقاومت شبکه زمین می‌باید مقدمات ذیل فراهم باشد:
 - شبکه زمین اجرا شده باشد و اتصال آن به بدن فلزی تجهیزات کامل شده باشد.
 - الکترود جریان و ولتاژ از یک نقطه به شبکه زمین متصل شوند و این نقطه در بدن اصلی شبکه قرار داشته باشد. محل اتصال نول ترانس اصلی به شبکه انتخاب مناسبی است.
 - اندازه‌گیری بایستی در شرایط غیر بارانی و زمین خشک صورت گیرد.
 - طبق شکل (۱) جریان حدود چند ده آمپر از طریق الکترود جریان به شبکه تزریق می‌گردد. فاصله L1 حداقل $6/5$ برابر قطر شبکه و ثابت است. توجه گردد که با این فاصله زیاد، دقت اندازه‌گیری در حد ۹۵٪ است که با افزایش چندین برابر این طول میتواند به ۹۸/۵٪ برسد. در مواردی که برآورده ساختن فاصله لازم میان الکترود جریان و شبکه زمین از لحاظ عملی امکان پذیر نمی‌باشد، می‌توان از خطوط انتقال متصل به نیروگاه و یا پست جهت تزریق جریان استفاده نمود. در شکل (۲) یک نمونه از تجهیزات مورد استفاده توسط شرکت Omicron جهت اندازه‌گیری پارامترهای شبکه زمین بوسیله خط انتقال نشان داده است.
 - افت ولتاژ در سطح زمین از طریق الکترود متحرک ولتاژ، توسط ولتمتر اندازه‌گیری می‌شود. با افزایش طول L2، مقدار ولتاژ ۷ افزایش می‌یابد تا اینکه تغییر فاصله تأثیری در مقدار قرائت نشان ندهد.
 - بهاراء موقعیت‌های مختلف الکترود ولتاژ، مقادیر ۷ و I قرائت و از رابطه $R=V/I$ مقاومت تعیین می‌گردد. در صورتیکه جریان تزریقی دارای فرکанс ۵۰ هرتز باشد مقادیر ۷ و I بشرح بند ۱-۳-۲ اصلاح گردد.
 - مقاومت نهایی بازه ولتاژ نهایی (که با افزایش فاصله L2 تغییری در ولتمتر حاصل نمی‌شود) حاصل می‌گردد.

۲-۳- خطاهاي اندازه‌گيرى

هنگام اندازه‌گیری كمييات L و I، لازمست نکات ذيل مد نظر قرار گيرد تا نتایج تست از دقت كافی برخوردار گردد:

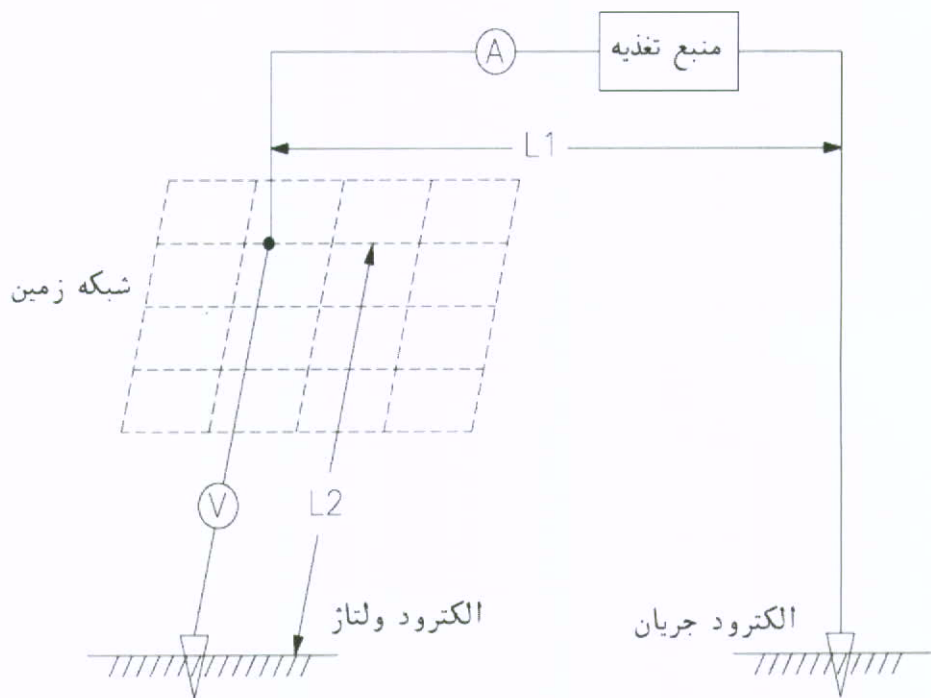
۱-۳-۱- خطاي فرکانس: وجود جریان ۵۰ هرتز در مدارات متفرقه نظير خطوط هوائي و كابل، سبب ايجاد اختلال در مدار اندازه‌گيری مقاومت

۲-۱-۲- مقاومت شبکه زمین: مقاومت كميتي است که بين دو نقطه ظاهر ميشود. مقاومت شبکه زمین، مقاومت جرم کلى زميني است که بين شبکه زمین و نقطه‌اي در فاصله دور ظاهر ميشود. اين مقاومت عمدتاً توسيط مقاومت الکتریکی خاک که رسانای بسيار ضعيفی است تعیین ميشود و مقاومت خود هاديهای شبکه زمین نقش كمتری در آن دارد. تغييرات مقاومت غير خطی است و هرچه به نقطه دور نزديک‌تر شويم بر مقدار آن افروده می‌شود تا اينکه در نقطه دور به مقدار نهايی برسد. از نظر تئوري، نقطه دور در بنيهایت قراردارد، جايی که چگالی جریان در خاک به صفر می‌رسد. برای مقایسه، يك الکترود ميله‌اي بطول ۳ متر و قطر ۱۶ ميليمتر که بطور عمودی در خاک قرار دارد، حدود ۲۵ اهم مقاومت دارد. در فاصله نيم متري از ميله، حدود ۷۰ درصد و در فاصله ۷ متري حدود ۹۹ درصد مقاومت ظاهر ميشود، بعبارت ديگر فاصله دور عملی برای اين الکترود ۷ متري است. در شبکه زمین بزرگ و گسترده مقاومت زمین در واقع يك اميدانس با دو مولفه اهمي و سلفي است که اصطلاح مقاومت برای آن بكار ميرود. گرچه خاک، رسانای ضعيفی است ولی مقاومت شبکه زمین بزرگ به علت سطح بسيار زيادي که به عبور جریان ارائه ميدهد بسيار کم و در حد كمتر از $0/5$ اهم است. با توجه به مطالب فوق برای اندازه‌گيری مقاومت شبکه نياز به يك الکترود فرعی نيز می‌باشد که در نقطه دور قرار گيرد تا مقاومت الکتریکی خاک بين اين الکترود و شبکه زمین اندازه‌گيری شود.

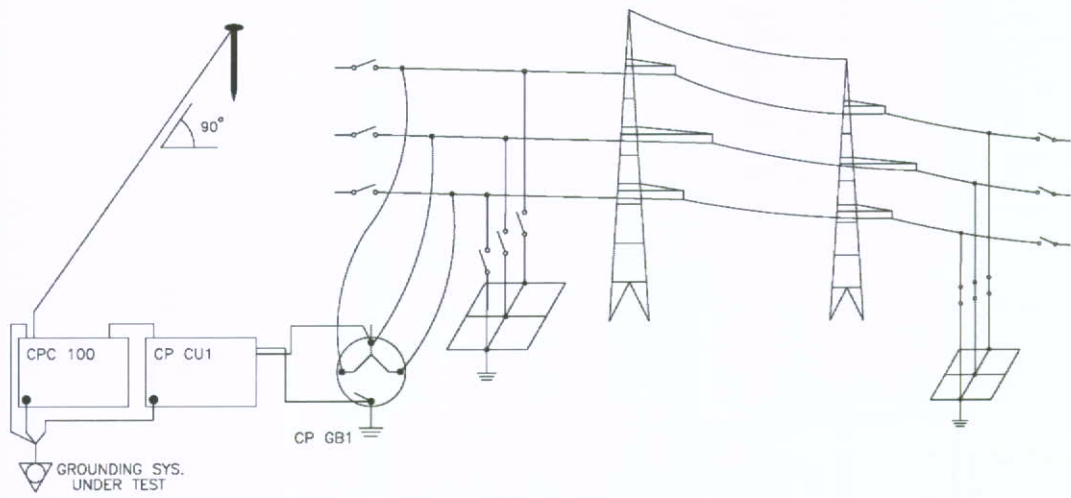
۲-۲- نحوه اندازه‌گيرى

روش معتبر برای اندازه‌گيری مقاومت شبکه زمین، Fall of Potential است که روش Current-Voltage ناميده می‌شود. در اين روش، جریان به شبکه زمین تزریق می‌گردد تا با تأثير بر مقاومت زمین، پتانسيلي در سطح زمین ظاهر شود (بند ۱-۳)، با اندازه‌گيری اين پتانسيلي و تقسيم آن بر جریان تزریقی، مقاومت شبکه تعیین می‌گردد.

تجهيزات لازم برای تست مشتمل است بر منبع تغذیه جریان AC همراه با ولتمتر و آمپرمترا، الکترود جریان، الکترود ولتاژ و سیم رابط.



شكل (١): مدار اندازه‌گیری مقاومت شبکه زمین



شكل (٢): اندازه‌گیری مقاومت شبکه زمین بوسیله خط انتقال



جريان I_a اندازه‌گیری گردد و از جریان تزریق I_b کم شود. جریان I_a قابل اندازه‌گیری توسط برخی از دستگاه‌های تست می‌باشد. مقدار r میتواند با توجه به شرایط سایت مقداری برابر $0.98 - 1.00$ داشته باشد. با در نظر گرفتن فاکتور کاهش جریان، مقاومت شبکه زمین از رابطه (۳)

محاسبه می‌شود:

$$\frac{V}{I - I_s} = \frac{V}{I \times r} \quad r = 1 - \frac{I_s}{I} \quad r: \text{reduction factor} \quad (3)$$

۳- اندازه‌گیری ولتاژ‌های گام و تماس

هنگام وقوع خطای فاز به زمین یا برخورد صاعقه با خطوط هوایی، جریان خطای I_a وارد هادیهای شبکه زمین می‌شود، شکل (۳). این جریان از دو مسیر یکی هادیهای متصل به شبکه زمین و دیگری لایه‌های خاک مدار خود را می‌پندد. مسیر هادیها مشتمل است بر شیلدوایر خطوط، نقطه خنثی ژنراتور و ترانس، خطوط ریلی و لوله‌های فلزی. برای محاسبه این جریانها لازمست امپدانس‌های مسیر و امپدانس‌های متقابل آنها معلوم باشد. در شکل (۳) فقط دو مسیر (I_s و I_N) برای این جریانها نمایش داده شده است. ولی بخش عمده جریان خطای، یعنی جریان خاک I_a پس از پخش در هادیهای شبکه زمین، در لایه‌های خاک توزیع شده و نهایتاً از طریق نقطه دور به منبع تغذیه خطای باز می‌گردد. جریان I_a با عبور از مقاومت الکتریکی خاک، پتانسیل الکتریکی در سطح زمین تأسیسات و خارج از آن ایجاد می‌کند، شکل (۴) حداکثر این پتانسیل در محل خطای به زمین ظاهر می‌شود و بتدریج از مقدار آن کاسته می‌شود تا در نقطه دور به صفر برسد. وجود این پتانسیل متغیر در سطح زمین سبب ایجاد اختلاف پتانسیل بین دو پا (ولتاژ گام)، و بین پا و دست (ولتاژ تماس) و نتیجتاً خطر برق گرفتگی می‌شود.

در مرحله طراحی با چیدمان مناسب هادیهای شبکه و الکترودهای عمودی، این ولتاژها در حد مجاز قابل تحمل جانداران قرار می‌گیرد. بعد از نصب سیستم زمین، صحت محاسبات توسط اندازه‌گیری تأیید می‌گردد. در شکل (۴) نحوه توزیع پتانسیل در سطح زمین هنگام عبور جریان خطای رسم شده است. مشاهده می‌گردد که با کاهش فاصله بین هادیها، شبکه تغییرات پتانسیل و نتیجتاً مقادیر ولتاژ‌های گام و تماس در محدوده شبکه زمین کاهش می‌یابد.

زمین شده و در کمیات اندازه‌گیری خطا وارد می‌کند. در صورتیکه فرکانس جریان تزریقی به شبکه زمین در حد چند هرتز متفاوت از 50 هرتز باشد، اختلال پدید نمی‌آید. خنثی کردن اختلالات ایجاد شده هنگام استفاده از فرکانس 50 هرتز، با متند تغییر پلاریته ولتاژ اعمالی صورت می‌گیرد و نحوه تصحیح آن بشرح ذیل است:

(a) قبل از تزریق جریان 50 هرتز، کمیات I_a و V_0

که از طرف مدارات متفرقه در شبکه زمین القاء شده، اندازه‌گیری و ثبت شود.

(b) جریان I_a به شبکه زمین تزریق شده و طبق

ضوابط بند ۲-۲ مقادیر V و I_a اندازه‌گیری و ثبت شود.

(c) پلاریته منبع تغذیه تغییر یابد و مقادیر I_b و V_b اندازه‌گیری و ثبت شود.

(d) مقادیر اصلاح شده I و V به ترتیب ذیل تعیین گردد:

$$I = \sqrt{\frac{1}{2}(I_a^2 + I_b^2)} - I_s \quad (1)$$

$$V = \sqrt{\frac{1}{2}(V_a^2 + V_b^2)} - V_0 \quad (2)$$

۲-۳-۲- زاویه بین مسیر الکترود جریان و الکترود ولتاژ در دقت اندازه‌گیری تأثیر دارد و انتخاب زاویه 90° درجه بیشترین دقت را ارائه می‌دهد. در صورت عدم امکان تأمین زاویه 90° درجه، زاویه بین 90° تا 270° درجه انتخاب گردد.

۳-۳-۲- ابعاد الکترود جریان باستی مناسب مقدار جریان تزریقی انتخاب گردد تا سبب گرم شدن زمین و

افزایش مقاومت الکترود نگردد. در جدول (۱)

مرجع ۳ مقدار جریان مجاز برای یک الکترود میله‌ای برحسب مقاومت ویژه خاک ارائه شده تا

اینکه دمای خاک اطراف الکترود از $60^\circ C$ تجاوز نکند. برای تزریق جریان حدود 50 آمپر مسلماً

استفاده از یک الکترود کافی نیست و لازمست از چندین الکترود بطور موازی استفاده گردد که به

کمک ۱ Table قابل محاسبه است.

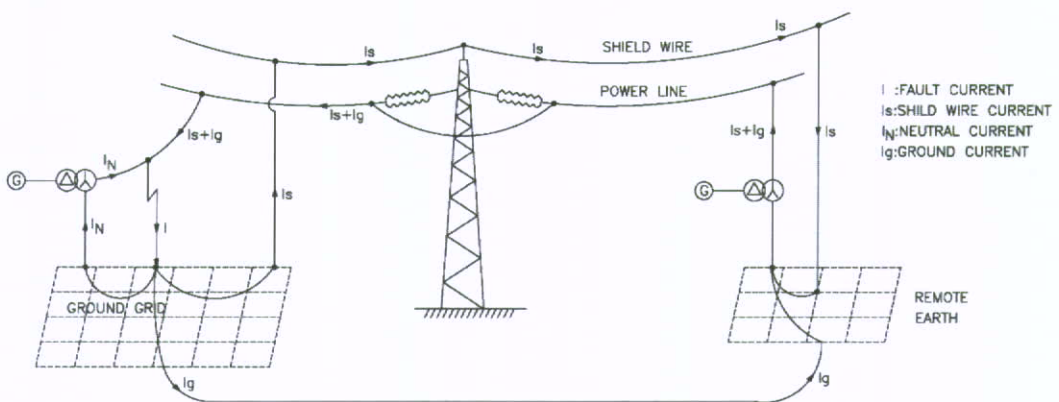
۴-۳-۲- فاکتور کاهش جریان: قسمتی از جریان I که

توسط دستگاه تست به شبکه تزریق می‌گردد از طریق شبکه زمین مورد اندازه‌گیری، وارد خاک

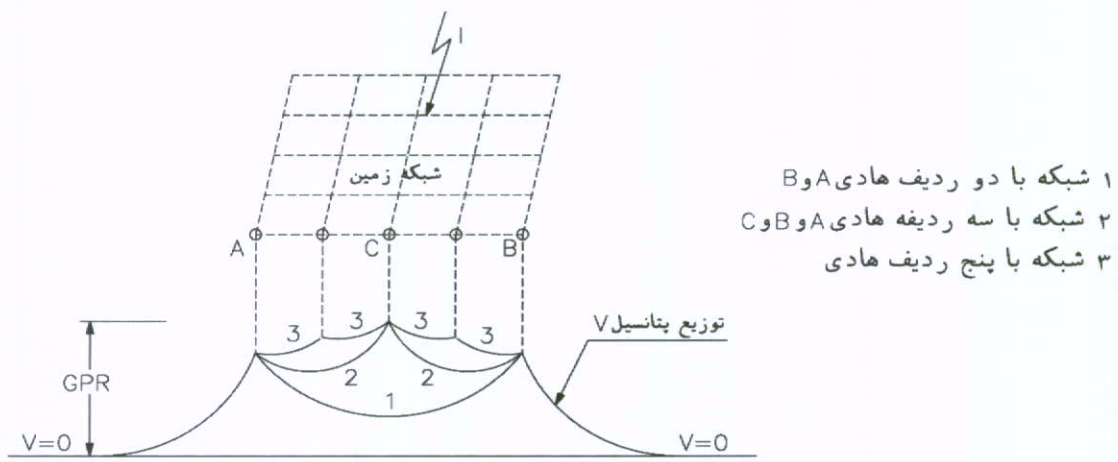
نمی‌شود بلکه از طریق شیلد خطوط I_a و یا سایر مسیرهای انحرافی می‌گذرد لذا پیش از

اندازه‌گیری مقاومت شبکه زمین باستی میزان

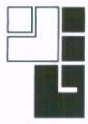




شکل (۳): نحوه توزیع جریان خطای فاز به زمین



شکل (۴): نحوه توزیع پتانسیل هنگام عبور جریان خطا



۱) حداکثر جریانی است که هنگام خطا وارد خاک شکل (۳) میشود و در مدرک محاسباتی تعیین شده است.

۴- تعیین مقدار GPR

GPR^۱ حداکثر پتانسیلی است که هنگام ورود جریان خطا به شبکه زمین، در سطح تأسیسات پدید می‌آید. بیشترین مقدار آن در محل خطا ظاهر میشود و بتدریج از آن کاسته می‌گردد تا در نقطه دور به صفر برسد، شکل (۴) مقدار GPR از رابطه RXIg تعیین می‌گردد و سپس با GPR مقادیر مجاز ولتاژ تماس مقایسه می‌شود. اگر GPR کوچکتر باشد، سیستم زمین از اینمی لازم برخوردار است ولی اگر بزرگتر باشد بایستی مسئله ولتاژ انتقالی^۲ مد نظر قرار گیرد. ولتاژ انتقالی نوعی خاص از ولتاژ تماس است که در مرحله طراحی مورد بررسی قرار گرفته و تمهیدات لازم جهت حفاظت در برابر خطرات آن پیش‌بینی می‌گردد. در اینجا به برخی از موارد مربوط به نحوه انتقال این ولتاژ می‌پردازیم.

ولتاژ انتقالی همانطور که از نام آن پیداست، ولتاژیست که میتواند از محوطه شبکه زمین خطا دیده به خارج از آن، و بر عکس از خارج به داخل شبکه منتقل گردد و ایجاد خطر نماید. انتقال ولتاژ از طریق مدارهای مخابراتی، کنڈوئیت، لوله، سیم‌نول سیستم LV و بطور کلی از طریق یک رسانای موجود بین محوطه شبکه زمین و خارج از آن، صورت می‌گیرد.

• کابل برق LV هدایت شده به خارج از شبکه زمین، اگر هادی نول آن در داخل شبکه، زمین شده باشد، هنگام خطا دارای پتانسیل زمین که برابر GPR است خواهد شد و فرد ایستاده در خارج از شبکه زمین در برخورد با هادی نول، در تماس با GPR قرار خواهد گرفت. راه حل این مشکل ایزوله کردن هادی نول از شبکه زمین است.

۳- روش اندازه‌گیری

یکروش معتبر برای اندازه‌گیری ولتاژهای گام و تماس، متدهای Footprint-electrode with simulated personnel method

میباشد که در آن طبق شکل (۵) از دو الکترود متحرک F و یک ولتمتر با مقاومت داخلی حداقل ۱۰۰ کیلو اهم استفاده می‌گردد.

ابعاد الکترودها معادل سطح پا و وزن آنها معادل وزن انسان است و مقاومت $R=1K\Omega$ مقاومت بدن را شبیه سازی می‌کند. نحوه تزریق جریان به شبکه زمین و ایجاد پتانسیل در سطح زمین مشابه تست اندازه‌گیری مقاومت شبکه زمین است و سپس با قراردادن الکترودهای F در نقاط مختلف از سطح تأسیسات، ولتاژها اندازه‌گیری و ثبت می‌گردد. مقادیر مجاز این ولتاژها که به جریان قبل تحمل بدن و زمان تداوم جریان بستگی دارد بر اساس مرجع ۳ برابر است با:

$$E_s = E_t = 1000 * 0.157 / \sqrt{t}$$

مقادیر ولتاژ تماس و گام مجاز برای وزن ۷۰ کیلوگرم شایان ذکر است که مقادیر مجاز ولتاژ تماس و گام‌ذکر شده به دلیل تفاوت روش اندازه‌گیری و تست با آنچه در استاندارد IEEE80 آمده است، متفاوت می‌باشد. در حین تست مقادیر V_s و I (جریان تزریق شده به شبکه زمین) قرائت و مقادیر واقعی ولتاژها از روابط ذیل تعیین می‌شود.

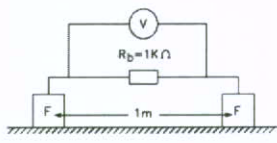
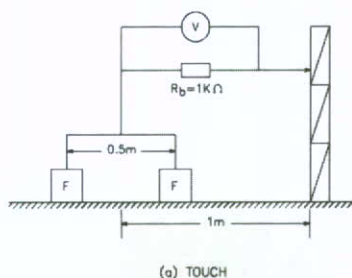
$$\text{ولتاژ تماس} \quad (4)$$

$$V'_t = V_t \frac{I_g}{I \times r}$$

$$\text{ولتاژ گام} \quad (5)$$

$$V'_s = V_s \frac{I_g}{I \times r}$$

r: reduction factor



شکل (۵): اندازه‌گیری ولتاژهای گام و تماس

1- Ground Potential Rise

2- Transfer Voltage

2. IEEE Std. 80-2000: IEEE Guide for Safety in AC Substation Grounding
3. IEEE Std. 81.2-1991: Guide for Measurement of Impedance and Safety Characteristics of Large, Extended or Interconnected Grounding Systems
4. Omicron CP CU1 reference manual

بیوگرافی

آقای ایمان طباطبائی دارای کارشناسی برق قدرت از دانشگاه صنعتی شریف بوده و جمیعاً دارای ۷ سال تجربه کاری در قدس نیرو میباشد. زمینه کاری و علاقه مندی ایشان در زمینه حفاظت الکتریکی و زمین کردن الکتریکی می باشد.

Email: itabatabae@ghods-niroo.com

نگارنده مقاله مراتب قدردانی خود را از استاد گرامی جناب آقای دکتر قصبه که در تهیه این مقاله صمیمانه همکاری نمودند، ابراز میدارد.

- ساختمانهای جنبی تأسیسات که خارج از شبکه زمین قرار گرفته اند ولی برق خود را از منابع موجود در تأسیسات دریافت می کنند، اگر در فاصله مناسب جهت اتصال به شبکه زمین قرار داشته باشند بایستی به شبکه زمین متصل گردیده و لذا بخشی از شبکه زمین محسوب شده و همان ضوابط حفاظتی را رعایت کنند. ولی اگر ساختمانها در فاصله دور قرار می گیرند دو حالت وجود دارد. در حالتی که ارتباط رسانائی بین آنها وجود ندارد، بایستی دارای شبکه زمین جداگانه خود باشند. اما در حالتی که ارتباط رسانائی موجود باشد و برق ساختمان از منابع داخل محوطه شبکه زمین تأمین شود بایستی برق را از طریق ترانس مخصوص بخود دریافت کنند و هادی نول ثانویه ترانس فقط به شبکه زمین جداگانه ساختمان متصل گردد.

- خطوط ریلی و لوله فلزی هدایت شده به خارج از محوطه شبکه زمین، جهت هم پتانسیل شدن به شبکه زمین متصل می شوند و لذا دارای GPR خواهند شد. جهت کاهش یا حذف این پتانسیل، لازمست در محدوده خروج از شبکه زمین از مابقی قسمت ایزوله شوند.

- قسمتهایی از فنس پیرامونی نیروگاه و چراغهای خیابانی جاده گشتزنی که در بیرون از شبکه زمین قرار می گیرند، می توانند دارای ولتاژ انتقالی شوند لذا جهت زمین کردن این تجهیزات بایستی تمهیدات خاصی اندیشیده شود که بحث در این پیرامون خارج از محدوده این مقاله قرار دارد.

مراجع

1. IEEE Std. 142-2007: IEEE Recommended Practice for Grounding of Industrial Commercial Power Systems

بررسی تغییرات کاربری اراضی در حوزه آبریز رودخانه جاجرود

زهرا مشایخی

کارشناس محیط زیست - SBU آب

چکیده

رودخانه جاجرود به دلیل نزدیکی به شهر تهران و نیز آب و هوای کوهستانی و بیلاققی از دیرباز مورد توجه و علاقه شهربنشینان و گردشگران تهرانی بوده است. در این مطالعه به منظور بررسی تأثیر توسعه بی رویه و ناپایدار در رسته‌های واقع در شمال شهر تهران، حوزه آبریز رودخانه جاجرود واقع در محدوده سیاسی شهرستان شمیرانات با مساحت ۷۱۰ کیلومتر مربع انتخاب گردید. جهت بررسی میزان تغییرات اتفاق افتاده در سطح انواع کاربری‌های اراضی، تصاویر ماهواره‌ای منطقه در دو مقطع زمانی مختلف شامل تصویر ماهواره لندست *ETM+* مربوط به سال ۱۹۸۸ و نیز تصویر ماهواره *IRS* مربوط به سال ۲۰۰۶ در محدوده مطالعاتی تهیه گردیده و پس از انجام پردازش‌های لازم و تصحیح هندسی (ژئوفرنس) تصاویر، عمل طبقه بندی و تفکیک انواع کاربری‌ها در این دو مقطع انجام شده و میزان تغییرات حادث شده در هر طبقه تعیین گردید. نتایج نشان دادند که در بازه زمانی مورد بررسی از بین کاربری‌های موجود در محدوده مطالعه (کشاورزی، مرتع، خانه و ویلاسازی، باغ و دریاچه سد لتيان، اراضی مرتعی و کشاورزی با کاهش سطح به ترتیب ۱۴ و ۲ درصد در این فاصله زمانی همراه بوده اند و دریاچه سد لتيان، مناطق مسکونی و باغات افزایش سطح به میزان ۳۹، ۴۱ و ۱۴ درصد داشته‌اند. نتایج این پژوهش نشان دهنده ضرورت اجرای برنامه‌های ارزیابی توان و آمايش سرمیں در راستای نیل به اهداف توسعه پایدار است.

وازگان کلیدی: توسعه، کاربری اراضی، تصاویر ماهواره‌ای، تخریب، شهرنشینی، حوزه آبریز

منطقه، جمعیت غیرساکن منطقه در دهه‌های اخیر افزایش داشته است. تخریب و خاکبرداری و تغییر کاربری اراضی از کشاورزی و مرتع به اماکن مسکونی، احداث جاده‌های دسترسی و کاهش پوشش گیاهی طبیعی در اثر بوته‌کنی و چرای بی‌رویه دام موجب بالا رفتن پتانسیل فرسایش در منطقه شده است.

این منطقه در گذشته‌ای نه چندان دور به دلیل انبوه درختان کهنسالی که اطراف جاده حاشیه جاجرود را فراگرفته بود، به «دالان سبز» رودبار قصران شهرت داشت و امروز بهتر است دالانی از آهن و سیمان بی‌جان نامیده شود. ساخت و سازهای بی‌رویه محیط زیست طبیعی مناطق پایین دست کوههای البرز را به خطر انداخته، آهوان و پرندگان زیبا را از آنجا رانده و به دلیل رشد بی‌رویه آپارتمان سازی‌های پرهزینه در حاشیه این رودخانه با اهمیت و حیاتی، و آن هم توسط غیر بومیانی که شاید سالی چند بار هم در آنها، ولو برای ساعتی سکونت نکنند، نفس‌کشیدن ریه‌های شهر پر جمعیت و شلوغ تهران را به شماره انداخته است. قدیم‌ها، بیو خوش گل و گیاهان، آدمی را سرمست می‌کرد. برخی از رستاییان در کنار رودخانه جاجرود درختان توت و گردو و شاتوت می‌کاشتند و میوه‌هایش را نذر رهگذران می‌کردند تا

۱- مقدمه

امروزه به واسطه افزایش جمعیت، توسعه شهرنشینی و بالارفتن استاندارد زندگی مردم شاهد تخریب و تغییر سریع و غیراصولی کاربری‌های اراضی در سطح کشور هستیم که با دیگر بحران‌های موجود دست به دست هم داده و زمین و آب در دسترس انسان برای بهره‌برداری و بهره‌وری را با محدودیت کمی و کیفی مواجه ساخته‌اند. در این میان مناطق واقع در نقاط خوش آب و هوای مجاور شهرهای بزرگ بیشتر قربانی توسعه‌های بی‌رویه و ندانه‌کاری‌های مرتفین شهرنشین قرار گرفته‌اند. یکی از این مناطق، روستاهای و اراضی واقع در حاشیه رودخانه جاجرود است که علاوه بر ارزش تفریجی، دارای منابع زیستمحیطی ارزشمند دیگری است که عرضه‌کننده کالاها و خدمات اکولوژیکی بیشماری می‌باشد اما متأسفانه در روند توسعه کمتر به آنها بها داده شده است. ارزش تفریجگاهی منطقه، ورود سرمایه‌های شهرنشینان و رواج ویلاسازی در منطقه سبب کاهش عرصه‌های طبیعی و تبدیل آنها به مناطق مسکونی شده است. افزایش تقاضا و هجوم سرمایه‌های ساکنین پایتخت، قیمت زمین و املاک را به طور چشمگیری افزایش داده و بسیاری از رستاییان مبادرت به فروش زمین‌های خود کرده‌اند. بنابراین علی‌رغم کاهش جمعیت ساکن



است. جدول (۱) وضعیت مراکز جمعیتی شهرستان شمیرانات را نشان می‌دهد.

جهت بررسی میزان تغییرات اتفاق افتاده در سطح انواع کاربری‌های اراضی، تصاویر ماهواره‌ای منطقه در دو مقطع زمانی مختلف شامل تصویر ماهواره لندست ETM+ مربوط به سال ۱۹۸۸ و نیز تصویر ماهواره IRS مربوط به سال ۲۰۰۶ مربوط به محدوده مطالعاتی تهیه گردیده و پس از انجام پردازش‌های لازم و تصحیح هندسی (ژئوفرنس) تصاویر، عمل طبقه‌بندی و تفکیک انواع کاربری‌ها در این دو مقطع انجام شده و میزان تغییرات حادث شده در هر طبقه تعیین گردید.

۳-نتایج

براساس نتایج پردازش و طبقه‌بندی داده‌های ماهواره‌ای منطقه در دو مقطع زمانی ۱۹۸۸ و ۲۰۰۶، سطوح باغات نیز از ۳۷۹۳ هکتار به ۴۳۱۲ هکتار افزایش یافته است (۵۱۹ هکتار افزایش در کل دوره) و نرخ این افزایش سالانه ۶۴/۸ هکتار برآورد گردیده است. جمعیت تعداد معده‌دار از روستاها رشد منفی داشته که بیانگر مهاجرت روستاییان و زوال روستاشینی در منطقه است. ارزش تفرجگاهی منطقه، ورود سرمایه‌های شهرنشینان و رواج ویلاسازی در منطقه سبب کاهش عرصه‌های طبیعی و تبدیل آنها به مناطق مسکونی شده است.

سطح اراضی زراعی کشاورزی از ۲۸۱۲ هکتار در سال ۱۹۸۸ به ۲۵۱۴ هکتار در سال ۲۰۰۶ کاهش یافته است. بنابراین، سطح اراضی کشاورزی در محدوده مطالعاتی به دلیل کاهش شدید زراعت دیم در حال کاهش بوده و نرخ این کاهش سالانه معادل ۱/۳۲ درصد برآورد شده است. میزان تولید غذا در اکوسیستم‌های کشاورزی (شامل محصولات باغی و زراعی) در سال ۱۳۸۶ براساس ۱۳۸۷ تن و در سال ۱۳۸۸ تن بوده است. بنابراین، کارکرد تولید غذا در اکوسیستم کشاورزی سالانه با نرخ ۱/۰۹ درصد افزایش یافته است.

بر این اساس، کاربری‌هایی که با کاهش سطح در این فاصله زمانی همراه بوده‌اند شامل اراضی مرتعی و کشاورزی می‌باشد. براساس اطلاعات بدست آمده مشاهده می‌شود که در این فاصله زمانی از سطوح اراضی مرتعی و کشاورزی کاسته شده و بر سطوح اراضی مسکونی و ساخته شده افزوده شده است (شکل‌های ۲ و ۳).

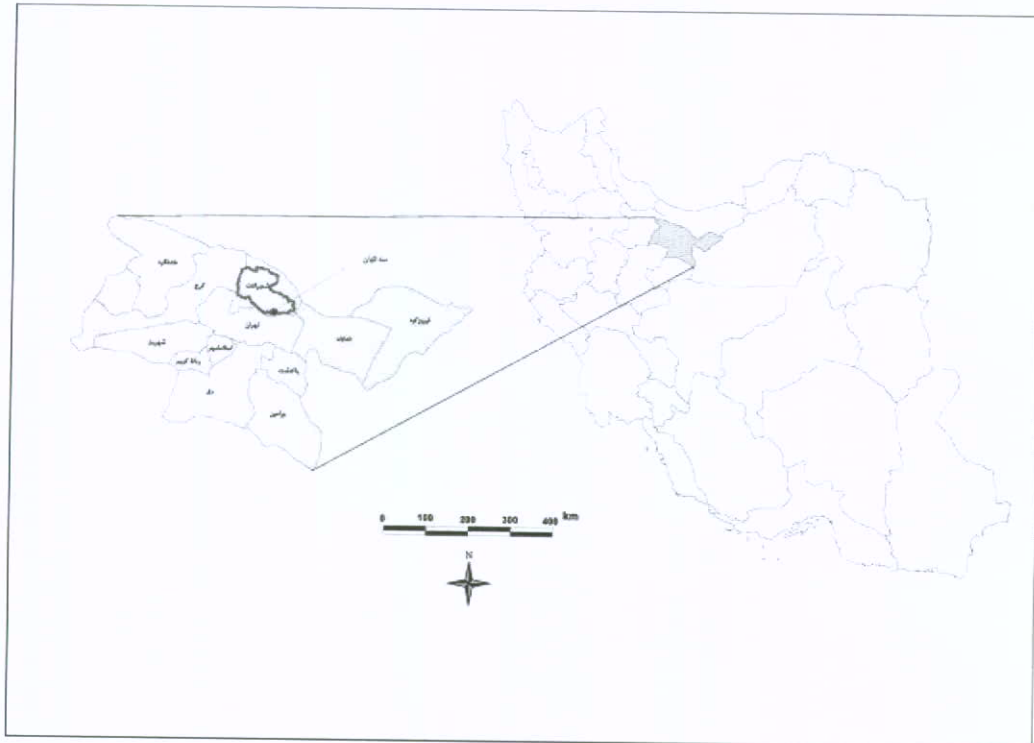
هر مسافری که از این محل می‌گذشت، به رایگان بتواند از میوه‌های درختانش بخورد. اما افزایش جمعیت و به خصوص هجوم افراد غیر بومی برای گردش و تفریح و ساختمان‌سازی در حاشیه جاجرود و در نتیجه نفوذ فاضلاب و ریختن زباله به این رودخانه، اکوسیستم آن را به هم زد. با توجه به اهمیت حوزه آبریز رودخانه جاجرود و لتيان در تأمین آب شرب شهر تهران، توجه به ارزش‌های زیست‌محیطی این منطقه و جلوگیری از تخریب آن از اهمیت زیادی برخوردار است.

۲-مواد و روش‌ها

حوزه آبریز رودخانه جاجرود واقع در محدوده سیاسی شهرستان شمیرانات، محدوده‌ای است که در فاصله ۵۱.۲۲ تا ۵۱.۵۱ درجه طول جغرافیایی و ۳۵.۴۵ تا ۳۶.۵۰ درجه عرض شمالی واقع شده است. مساحت کل محدوده فوق برابر ۷۱۰ کیلومتر مربع (۷۱۰۰ هکتار) می‌باشد. شهرستان شمیرانات که مرکز آن شهر تجریش است، از ۳ بخش مرکزی، لواسانات و رود بار قصران تشکیل شده است. مهم ترین رودخانه‌ی این منطقه رودخانه جاجرود است و آب و هوای شهرستان شمیرانات به علت موقعیت کوهستانی، سرد و خشک است (شکل ۱).

منطقه جاجرود فاقد نقطه شهری و عرصه‌های مرتعی و زیستگاهی متعلق به عشاپر بوده و در مجموع ۱۱۴ آبادی شامل ۶۰ آبادی دارای سکنه و ۵۴ آبادی غیر مسکونی را در خود جای می‌دهد. در این محدوده، در سال ۱۳۸۶ تعداد ۲۰۵ پروانه ساختمانی در مساحتی معادل ۴/۹ هکتار برای احداث بنا صادر شده که از این تعداد ۱۹۶ واحد مسکونی، ۷ واحد مسکونی توأم با کارگاه، یک واحد بازرگانی و یک واحد صنعتی، آموزشی و بهداشتی می‌باشد. مراکز مهم جمعیتی آن عبارتند از: گلندوئک، افجه، برگ جهان، نیکنام ده، کند بالا، کند پایین، چهارباغ، راحتا آباد، هنزاک، بوجان، لواسان بزرگ، انباج و امامه. فضاهای روستایی در منطقه مورد مطالعه عمده‌ای در سرشاخه‌های رودها و دور از مسیرهای رفت و آمد در منطقه مستقر هستند. به لحاظ بافت روستایی در این فضاهای عملکرد مسکونی - کشاورزی (باغداری) جریان دارد. مناطق روستایی عمده در حوزه در زیر حوزه لواسانات و گرمابدره و در شمال دریاچه سد لتيان واقع شده‌اند. وسعت اکوسیستم مسکونی براساس نقشه کاربری اراضی معادل ۲۷۶۲/۵ هکتار و تراکم جمعیت در هر هکتار معادل ۱۳/۹ نفر بوده





شکل(۱): موقعیت حوزه آبریز جاجروود در استان تهران

جدول (۱): وضعیت مراکز جمعیتی شهرستان شمیرانات

جمعیت روستایی	وضعیت سکونت آبادیها						شهرستان	
	دارای سکنه		حالی از سکنه		مجموع آبادیها			
	نسبت (%)	شمار	نسبت (%)	شمار	نسبت (%)	شمار		
۱۳۰۴۹	۵۲/۶	۶۰	۴۷/۴	۵۴	۵/۷	۱۱۴	شمیرانات	

جدول (۲) تغییرات سطوح اراضی در فاصله سالهای ۱۹۸۸-۲۰۰۶ (هکتار)

تغییر نسبت به دوره قبل (۱۹۸۸)	تغییر کل (هکتار)	مساحت ۲۰۰۶ (هکتار)	مساحت ۱۹۸۸ (هکتار)	کاربری
۳۸/۹۱	+۸۸	۳۱۴/۱۶	۲۲۶/۱۶	دریاچه
-۱۰/۶	-۲۹۸/۳۹	۲۵۱۳/۹۳	۲۸۱۲/۳	ارضی کشاورزی
۴۱/۴۴	+۸۰۹/۴۲	۲۷۶۲/۵	۱۹۵۳/۰۶	مسکونی
۱۳/۶۹	+۵۱۹/۴۸	۴۳۱۲/۸	۳۷۹۳/۳	درختان دره ای و باغات
-۱/۸۳	-۱۱۱۷/۹۹	۵۹۶۶۷/۶	۶۰۷۸۵/۶	مرانع



داشته و احتمالاً یکی از عوامل اصلی نابودی جنگل‌ها و مراتع منطقه بوده است. جنگل‌های نیمه خشک واقع بر شیب جنوبی البرز با داشتن شرایط رویشگاهی شکننده و حساس در بسیاری نقاط منقرض شدن زیرا تداوم فشارها مانع از احیاء طبیعی و ترمیم خدمات وارده شد. در حال حاضر بهره‌برداری از چوب درختان و توده‌های جنگلی باقی مانده در شیب‌های جنوبی البرز کمتر مشاهده می‌شود ولی متأسفانه در سال‌های اخیر ساخت و سازها و ویلاسازی‌ها در ارتفاعات دامنه جنوبی البرز به یک مشکل جدی در جهت تخریب اکوسیستم‌های منطقه تبدیل شده است.

در روند فروش باغات، مراتع و خانه‌های روستاییان و تغییر کاربری اراضی به ویلا و بافت‌های تفرج‌گاهی، عدم ممیزی اراضی ملی از اراضی شخصی، سوءاستفاده‌های فراوانی را موجب شده به نحوی که امروزه شاهد تبدیل لجام گسیخته اراضی ارزشمند کوهستانی به ساختمان و ویلا هستیم.

مهم‌ترین عوامل تخریب مراتع و توده‌های جنگلی منطقه

عبارة‌تند از:

- چرای بی‌رویه و چند برابر ظرفیت از مراتع و نیز
- چرا در توده‌های جنگلی
- توسعه لجام گسیخته ساخت و سازها و ویلا سازی در دامنه‌های کوهستانی و اراضی حریم رودخانه‌ها و آبراهه‌ها حتی در برخی سرشاره‌ها نظریه منطقه لalon و گرمابدر
- استفاده بی‌رویه از آب چشممه‌ها برای مصارف خانگی با لوله‌کشی از سرچشممه‌ها و کور شدن منابع تغذیه آبی توده‌های جنگلی

وسعت اراضی مسکونی بر اساس تصاویر ماهواره‌ای منطقه در دو مقطع زمانی مختلف شامل تصویر ماهواره لندست ETM+ مربوط به سال ۱۹۸۸ و نیز تصویر ماهواره IRS مربوط به سال ۲۰۰۶ مربوط به محدوده مطالعاتی و براساس نقشه کاربری اراضی ۸۰۹/۴۹ هکتار افزایش داشته است. با توجه به نرخ رشد جمعیت، کارکرد تامین زیستگاه اکوسیستم‌های شهری با نرخ رشد ۵/۱۸ درصد به طور سالانه رشد می‌نماید. مساحت اراضی زراعی نیز با نرخ منفی ۱/۳۲ درصد به طور سالانه افت خواهد کرد و بالعکس مساحت اراضی باغی با نرخ ۱/۷ رشد می‌کند.

کارکرد منفی اکوسیستم‌های شهری، تولید پسماند و پساب‌ها می‌باشد. با افزایش تعداد نفوس ساکن در مناطق روستایی و یا شهری، تولید پسماندها و پساب‌های ناشی از وجود انسان نیز افزایش می‌یابد که تغییرات آنها نیز با فرض ثابت ماندن

بر این اساس، کاربری‌هایی که با کاهش سطح در این فاصله زمانی همراه بوده اند شامل اراضی مرتعی و کشاورزی می‌باشد. بر اساس اطلاعات بدست آمده مشاهده می‌شود که در این فاصله زمانی از سطح اراضی مرتعی و کشاورزی کاسته شده و بر سطح اراضی مسکونی و ساخته شده افزوده شده است (شکل‌های ۲ و ۳).

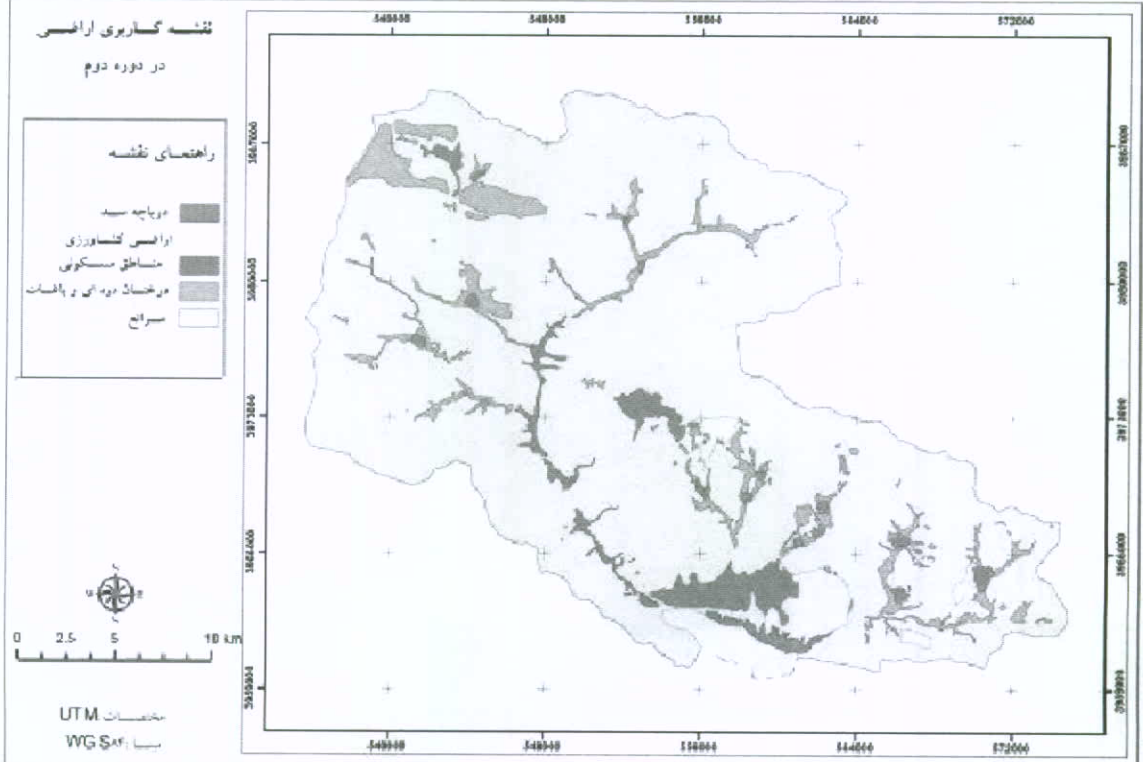
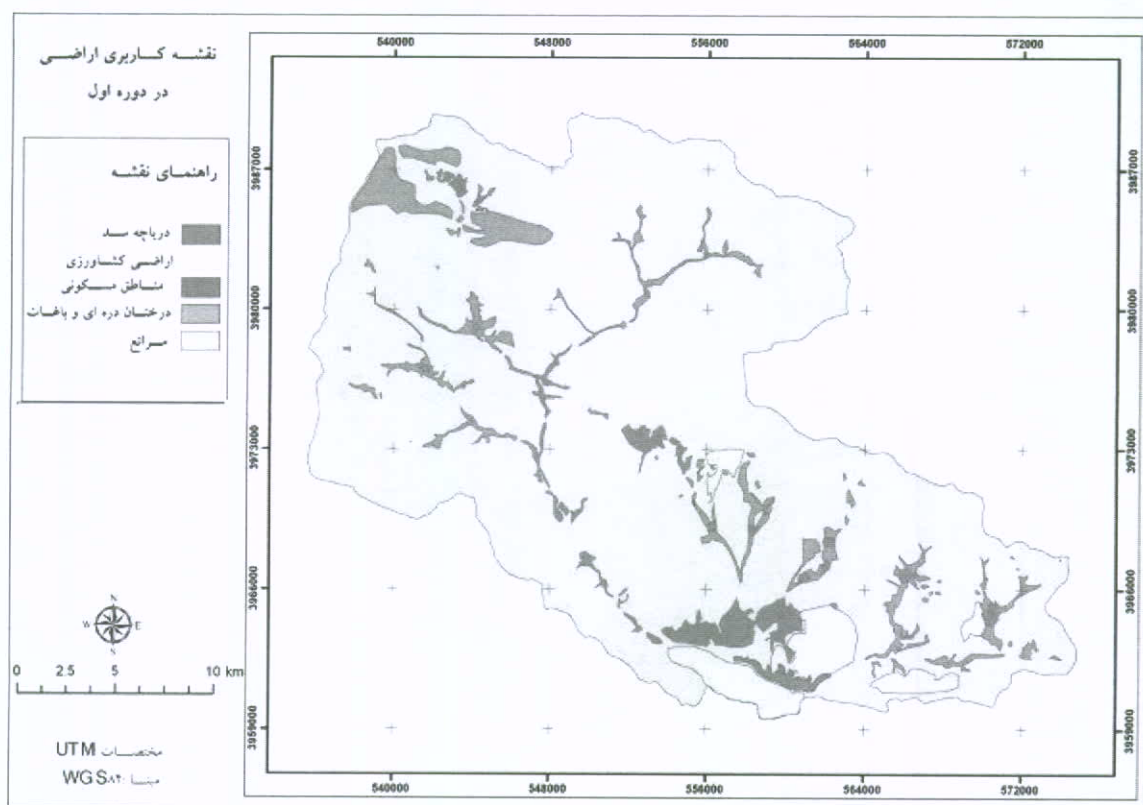
مهم‌ترین منابعی که با افت کیفیت مواجه بوده اند، عرصه‌های جنگلی و مرتعی می‌باشند که نسبت به قبل کم تراکم تر و تنک تر شده‌اند. این امر به سبب چرای بی‌رویه و افرون بر ظرفیت دامها از مراتع منطقه می‌باشد. همچنین کاهش سطح اراضی جنگلی متراکم‌تر و افزایش سطح اراضی جنگلی کم تراکم‌تر علاوه بر آنکه می‌بین تبدیل کاربری بخشی از سطوح جنگلی می‌باشد، بیانگر تبدیل بخشی از اراضی جنگلی متراکم تر به کم تراکم تر است که این مساله می‌تواند به سبب زراعت‌های انجام شده در زیراشکوب جنگل‌ها و تخریب‌های انجام شده به واسطه ویلاسازی و نیز تأمین سوخت مردم منطقه باشد.

۴-نتیجه‌گیری

حوزه ابریز جاجرود و شمیرانات به واسطه‌ی نزدیکی به تهران و داشتن آب و هوای شادی بخش و دل پذیر همواره جاذب جمعیت بوده و دارای مکان‌های دیدنی و آثار تاریخی قابل توجهی است. شهرستان شمیرانات به دلیل نزدیک بودن به شهر تهران و داشتن هوای دل‌پذیر و معتمد کوهستانی (بیلاقی) در تابستان‌ها پذیرای تعداد زیادی از پایتخت‌نشینان است. پیش‌تاریخی اسکن، کوههای توجال، دره‌های توجال، آبشارهای کوچک و بزرگ، چون آبشار دوقلو، رودخانه‌های پرآب و خروشان در دامنه کوههای سر به فلک کشیده و دریاچه‌های زیبایی چون دریاچه سد لتيان بخشی از جاذبه‌های طبیعی منطقه است که در کنار آثار متعدد تاریخی و موزه‌های متعدد پذیرای گردشگران زیادی است. در یک آمارگیری در مرداد سال ۱۳۸۵، طی ۱۴ ساعت روز جمعه قریب به ۱۲۰ هزار نفر گردشگر از گردنه قرچک از منطقه خارج شده‌اند و براساس برآوردی از این تعداد حدود ۷۰ هزار نفر مربوط به بخش رودبار قصران و ما بین لواستان می‌باشد. براساس آخرين اطلاعات و براساس گفته مسئولان محلی در تابستان ۸۷ در روزهای تعطیل جمعیتی در حدود ۳۰۰۰۰۰ تا ۵۰۰۰۰۰ گردشگران روزی به منطقه سرازیر می‌شوند.

چرای بی‌رویه و چند برابر ظرفیت مراتع و چرای دام از جنگل‌های منطقه همواره وجود داشته است. بهره‌برداری از چوب درختان جنگلی برای استفاده سوخت و ساختمان روستاهای اطراف و حتی شهرهای دورتر در گذشته در جنوب کوهستان البرز رواج





شکل های (۲) و (۳): تغییرات سطوح اراضی در فاصله سالهای ۱۹۸۸-۲۰۰۶ (هکتار)

8. UN, European Commission , International Monetary Fund, organization for Economic Co-operation and Development and World Bank "Inegrated Environmental and Economic Accounting 2003"

بیوگرافی

خانم زهرا مشایخی دارای مدرک کارشناسی ارشد محیط‌زیست از دانشگاه تهران در سال ۱۳۸۶ می‌باشد. ایشان از سال ۱۳۸۷ با شرکت مهندسی قدس نیرو همکاری نموده‌اند. زمینه کاری و علاقمندی ایشان تهیه گزارش ارزیابی زیست‌محیطی (EIA) برای طرح‌های سد و نیروگاه، اقتصاد محیط‌زیست و ارزش‌گذاری کالاها و خدمات برآمده از اکوسیستم‌های طبیعی بوده و در چندین پژوهه اقتصاد محیط‌زیست با سازمان محیط‌زیست همکاری فعال داشته‌اند.

Email:mashayekhi.zahra@gmail.com

الگوی مصرف با نرخ رشد جمعیت هماهنگ می‌باشد. فاضلاب شهرها و روستاهای عمده‌ترین منبع آلودگی آب در منطقه بشمار می‌رودن. عدم امکان دفع بهداشتی پساب در شهرها و روستاهای نبود سیستمهای تصفیه، باعث شده است که آب مورد مصرف در شهرها و نقاط مسکونی منطقه در قالب فاضلابهای شهری به صورت مستقیم یا غیر مستقیم به رودخانه‌ها و دریاچه سد لتبیان وارد شود. از دیگر منابع آلوده‌کننده منابع آب می‌توان به پسابهای صنعتی ناشی از فعالیت کارگاه‌ها و کارخانجات در این منطقه نام برد.

افزایش تقاضا و هجوم سرمایه‌های ساکنین پایتخت، قیمت زمین و املاک را به طور چشمگیری افزایش داده و بسیاری از روستاییان مبادرت به فروش زمین‌های خود کرده‌اند. بنابراین علی‌رغم کاهش جمعیت ساکن منطقه، جمعیت غیر ساکن منطقه در دهه‌های اخیر افزایش داشته است. بسیاری از ساکنین منطقه، شهرنشینانی هستند که محل سکونت دائم خود را به بیلات تعییر داده‌اند. توسعه شبکه بزرگراهی در تهران، افزایش اینمی و کیفیت جاده‌های دسترسی و سهولت رفت و آمد از منطقه به شهر و بالعکس در زمانی بسیار کوتاه، معضل ترافیک شهری، آلودگی‌ها و مشکلات عدیده در شهر تهران از جمله عوامل مؤثر می‌باشند.

مراجع

1. روانبخش، هومن. ۱۳۸۵. بررسی اکولوژیک جوامع درختی و درختچه‌ای در نیمرخ جنوبی البرز مرکزی (مطالعه موردي در حوزه آبخیز لتبیان)، پایان نامه کارشناسی ارشد دانشکده جنگلداری دانشگاه تهران، ۱۲۵ ص.
2. سازمان جنگل‌ها و مراتع کشور، دفتر حفاظت خاک و آبخیزداری، طرح جامع آبخیزداری سد لتبیان. ۱۳۵۴.
3. شرکت سهامی مدیریت منابع آب، بررسی شیوه‌های ارتقای مشارکت مردمی و جوامع محلی و توسعه زیرساخت‌ها و مدیریت اکولوژی منابع آب (حوزه ابریز سد لتبیان). دانشگاه صنعتی شریف.
4. Ghoddusi, A., Ashayeri, D., Neinavaz, E., 2007. An Avifaunal Survey of the Varjin Protected Area, Alborz Mountains, Tehran, Iran. Podoces 2 (2): 97-105.
5. Bakhtiari P. & Tohidifar M. 2007. Avifauna of the Jajerud and Damavand basin, Alborz Mountains. Podoces 2(1): 61-71.
6. Darvishsefat A.A. 2006. Atlas of Protected Areas of Iran. Tehran University Press, Tehran, 157 pp. [In English-Persian]
7. Scott D.A. & Adhami A. 2006. An Updated Checklist of the Birds of Iran. Podoces 1(1/2): 1-16.



شبیه سازی رفتار ژنراتورهای القایی آسنکرون DFIG در یک نیروگاه بادی در زمان اتصال کوتاه شبکه با استفاده از نرم افزار DIGSILENT

محمد رضا بیگلری

کارشناس برق (قدرت)-U انرژی

بابک حجتی

کارشناس برق (قدرت)-U انرژی

چکیده

در این مقاله سعی شده است تا رفتار گذاری ژنراتورهای القایی DFIG توربین های بادی در یک نیروگاه بادی، ۱ مگاواتی در مدت زمان یک اتصالی سه فاز متقارن کوتاه مدت که بر روی شبکه اتفاق می افتد با استفاده از نرم افزار DIGSILENT ولتاژ، توان اکتیو و راکتیو، لغزش، سرعت، گشتاور توربین و ژنراتور شبیه سازی گردد و نتایج مورد تحلیل و بررسی قرار گرفته است.

کلمات کلیدی: ژنراتور القایی DFIG، مزرعه بادی، Digsilent، کانورتر، لغزشی

انرژی باد با عبور از داخل پره ها و سپس انتقال گشتاور پره ها به روتور و افزایش دور روتور توسط گیربکس باعث حرکت ژنراتور در دور نامی میگردد. در این حالت میزان توان تبدیلی به چگالی باد، مساحت ناحیه جاروب شده توسط پره و توان سوم سرعت باد بستگی دارد. به این ترتیب میزان توان قابل تبدیل از باد را می توان از رابطه (۱) بدست آورده:

$$P = \frac{1}{2} \cdot Cp \cdot p \cdot A \cdot V^3 \quad (1)$$

ضریب جذب پره

چگالی هوا

طول پره $= R \cdot \pi R^2$ ، سطح توربین

سرعت باد

بیشتر توان تولیدی توربین بادی در سرعت باد بالا می باشد که این سرعت بالا در مدت زمان کوتاهی است. در ضمن سیستم کنترلی توربین با تغییر زاویه پره ها^۷ جهت کنترل توان در زمان نوسانات شدید باد ضریب جذب پره را تغییر می دهد.

۱- مقدمه

انرژی های تجدیدپذیر^۱ شامل خورشیدی، بادی، جزو مدي،^۲ نیروگاههای برقایی^۳ کوچک، زمین گرمایی^۴، زیست توده^۵، جایگزین مناسبی برای سوختهای فسیلی در آینده می باشند. با توجه به رشد روزافزون مصرف انرژی در دنیا و محدودیت ذخایر سوختهای فسیلی و آلودگیهای زیست محیطی ناشی از مصرف منابع انرژی فسیلی و تولید گازهای گلخانه ای (CO₂) استفاده از سایر منابع انرژی را ضروری می سازد در راستای بکارگیری تجدیدپذیر، استفاده از انرژی باد به دلیل رایگان بودن و تجدیدپذیر بودن مورد توجه قرار گرفته است که در آینده تزدیک انرژی باد به عنوان باصره فرهنگی این روزهای از جهت تولید برق در دنیا خواهد بود. در این میان رشد روز افزون نصب توربینهای بادی که در سال ۲۰۱۰ ۶۴۲،۳۷۶ مگاوات توربین بادی در جهان نسبت گردیده است و در مجموع ۵۰۰،۲۴۰ مگاوات تا پایان ۲۰۱۰ می باشد که ۳٪ از تولید برق جهان را تشکیل می دهد[۱].

۲- انرژی باد

از آنجائیکه باد یک پدیده تصادفی بوده و دارای سرعت متغیر و نوسان می باشد تبدیل انرژی جنبشی باد به انرژی الکتریکی دارای مشکلات و محدودیت هایی است. تولید برق نیروگاههای بادی بستگی به انتخاب مکان مناسب برای نیروگاه و محل نصب توربین ها دارد و دسترسی به شبکه برق، و قیمت زمین از نکات مهم اقتصادی این نیروگاهها می باشد.



1- Renewable energies

2-Tidal

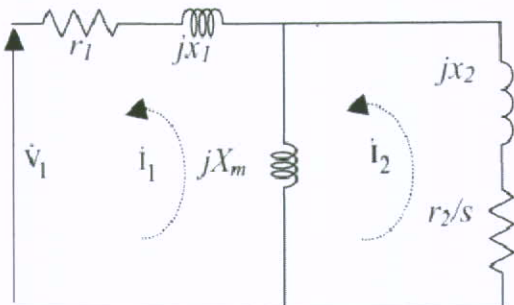
3-Hydro power

4-Geothermal

5-Biomass

6-Pitch angle

7-Power coefficient



شکل(۳): مدل ژنراتور القایی آسنکرون

$$S = \frac{ns - nr}{ns}, \text{ لغزش ژنراتور} = \frac{ns - nr}{ns} \quad (2)$$

مقاومت روتور = r_2

راکتانس روتور = X_2

مقاومت استاتور = r_1

راکتانس استاتور = X_1

راکتانس پراکنده = X_m

از میان ژنراتورهای القایی آسنکرون مدل DFIG، به عنوان ژنراتوری که روتور آن سیم پیچی شده و دارای کنترل لغزش می باشد و روتور توسط یک کانوتروتر به شبکه متصل است دارای کاربرد فراوانی می باشد. توان اصلی ژنراتور از طریق استاتور و قسمتی از توان بوسیله روتور توسط کانوتروتر^۵ و ترانسفورماتور به شبکه تزریق می گردد در ضمن این کانوتروتر ژنراتور را قادر می سازد که روتور توان راکتیو از شبکه جذب و یا به آن تزریق نماید. (شکل ۴)

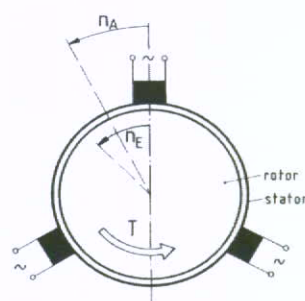
توان کانوتروتر به میزان لغزش ژنراتور بستگی دارد و در حدود ۲۰٪ توان نامی آن می باشد. بوسیله کانوتروتر میتوان مقادیر توان راکتیو و راکتیو خروجی ژنراتور بصورت مستقل از یکدیگر کنترل نمود. کانوتروتر طرف روتور توان های اکتیو و راکتیو را با کنترل اجزاء جریان روتور کنترل می کند، در حالی که کانوتروتر طرف خط، ولتاژ طرف DC را کنترل می کند تا از عملکرد کانوتروتر در ضربی توان واحد (توان راکتیو صفر) اطمینان حاصل شود. با توجه به شرایط کاری در اینجا، توان به روتور وارد یا از آن خارج می شود. در این شرایط سنکرون توان از روتور به طرف شبکه و در شرایط زیر سنکرون، توان از شبکه به طرف روتور جاری می شود. در هر دو حالت، توان از استاتور به طرف شبکه می رود. مزایای ژنراتورهای DFIG عبارت است:



شکل(۱): نمونه یک مزرعه بادی

۳- ژنراتورهای القایی آسنکرون^۶: DFIG

با توجه به متغیر بودن سرعت باد استفاده از ژنراتورهای القایی در توربینهای بادی بسیار مرسوم می باشد، هنگامی که روتور ژنراتور القایی در سرعت سنکرون می چرخد، روتور نیز با همان سرعت میدان مغناطیسی ناشی از ولتاژ استاتور می چرخد و ولتاژی القاء نمی شود زیرا فلوی مغناطیسی هیچ یک از هادیها را قطع نمی کند و هیچ جریانی از سیم پیچهای روتور نمی گذرد و فقط جریان تحریک در سیم پیچهای روتور جریان می یابد. درصورتی که روتور بوسیله نیروی باد و توسط گیربگس در سرعتی بالاتر از سرعت سنکرون بچرخد، جهت ولتاژ القایی خلاف موقعی خواهد بود که بعنوان موتور القایی چرخش می کند، زیرا سرعت چرخش هادی روتور بیشتر از سرعت چرخش میدان مغناطیسی دور استاتور می شود و واحد مثل یک ژنراتور کار می کند (شکل ۲). در حالت کار نرمال ژنراتور، لغزش آن نباید خیلی زیاد و یا کم باشد. توان مکانیکی خارجی اعمال شده توسط باد به توان الکتریکی تبدیل می شود که در سیم پیچهای روتور تولید شده و به استاتور القاء می گردد. [3][2].



شکل(۲): ژنراتور القایی [4]

1-Wind farm

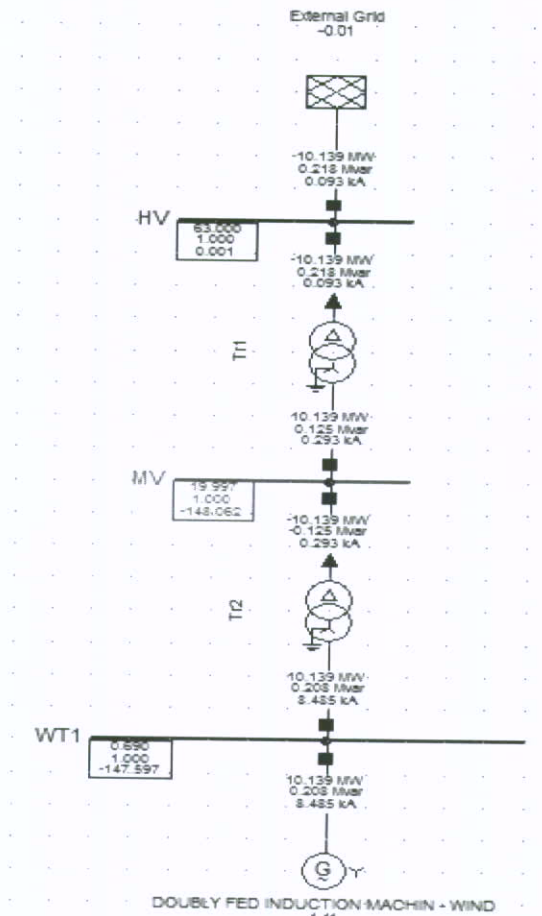
2-Doubly fed induction generator

3-Induction Generator

4-Slip

5-Converter





شکل(۵): دیاگرام تک خطی شبکه

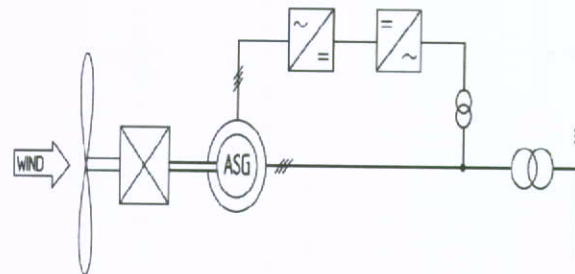
جدول(۱): مشخصات الکتریکی تجهیزات

مشخصات	نام	ردیف
$r_1=0.005 \text{ p.u}$ $X_1=0.07 \text{ p.u}$ $r_2=0.016 \text{ p.u}$ $X_2=0.1 \text{ p.u}$ $X_m=4 \text{ p.u}$ $S=2.5 \text{ MVA}$ $f=50 \text{ Hz}$	DFIG	۱
$Z=6\%$ ۶۹/۲۰ کیلوولت	ترانسفورماتور توربین بادی Tr2	۲
$S=2.5 \text{ MVA} - Y/\Delta$	Tranformer Tr1	۳
$Z=10\%$ ۶۳/۲۰ کیلوولت	باسیار فشار متوسط MV	۴
۲۰ کیلوولت	باسیار فشار متوسط HV	۵

1-Distribution Generation

2-Power quality

3-Transient



شکل(۴): مدل ژنراتور القایی DFIG در توربین بادی [۳]

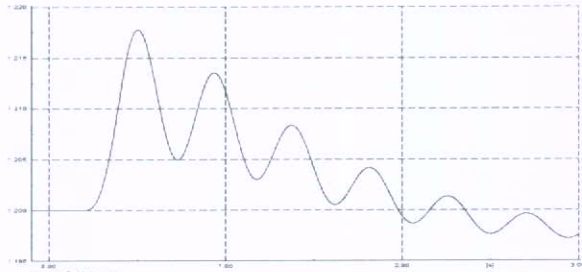
- (۱) داشتن توانایی کنترل بر روی توان راکتیو.
- (۲) قابلیت مناطقیس شدن از طرف روتور.
- (۳) قابلیت تولید توان راکتیو که به استاتور تحويل داده می‌شود.[۲]

۴- بررسی اتصال به شبکه توربین های بادی

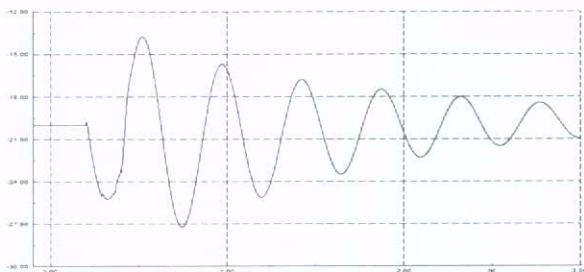
توربینهای بادی به عنوان منابع تولید پراکنده^۱ معمولاً به شبکه توزیع فشار متوسط متصل می‌گردند و جهت راهاندازی نیاز به توان راکتیو دارند، که این امکان در شبکه‌های محلی وجود ندارد لذا از خازن یا جبران سازها با ادوات الکترونیک قدرت و یا راه اندازهای نرم استفاده می‌گردد[۳]. از عمدۀ مسائل مربوط به کیفیت توان در نیروگاه بادی نوسانات کوتاه مدت ولتاژ در این نیروگاهها می‌باشد، علت آن میتواند وجود کانورتر، گیریکس و یا خازن به عنوان جبران‌ساز توان راکتیو در لحظه راه اندازی و یا اتصال کوتاه باشد که در ایجاد حالت‌های گذرا^۲ نقش دارند. لذا نیروگاههای بادی با توجه به ژنراتورهای القایی و تحریک از شبکه می‌بایست در برابر نوسانات ولتاژ شبکه مخصوصاً اتصال کوتاه‌ها مورد بررسی قرار گیرند.

در اینجا با استفاده از نرم افزار DIGSILENT یک مزرعه بادی با ۴ عدد توربین ۲.۵ مگاواتی (درمجموع ۱۰ مگاوات) طراحی شده است که ولتاژ خروجی هریک از ژنراتورهای القایی و هر یک از توربینها توسط یک دستگاه ترانسفورماتور Δ/Y با نسبت تبدیل ۶۹/۲۰ کیلوولت به شبکه فشار متوسط ۲۰ کیلوولت متصل هستند و یک خط ۲۰ کیلوولت هوایی توربینها را به پست فوق توزیع ۶۳/۲۰ کیلوولت منطقه متصل می‌نماید. و توان تولیدی توربین‌ها از آنجا به شبکه تزریق می‌گردد (شکل(۵)).

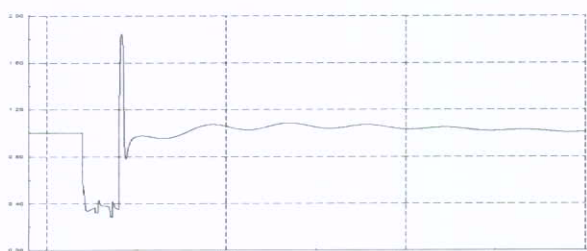




شکل(۹) : نمودار زمان - سرعت توربین

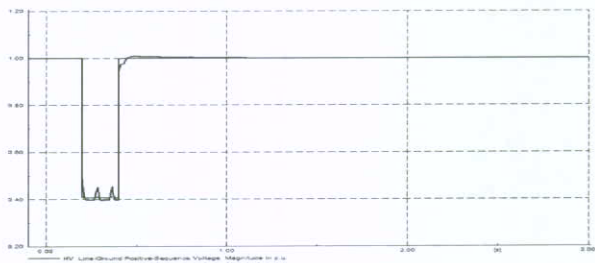


شکل(۱۰) نمودار زمان - لغزش ژنراتور

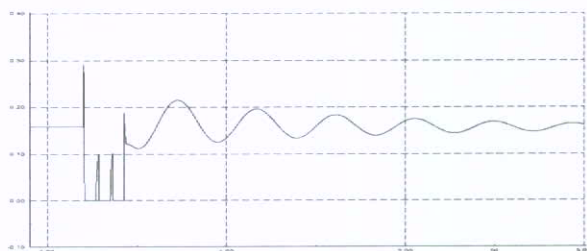


شکل(۱۱) : نمودار زمان - گشتاور الکتریکی

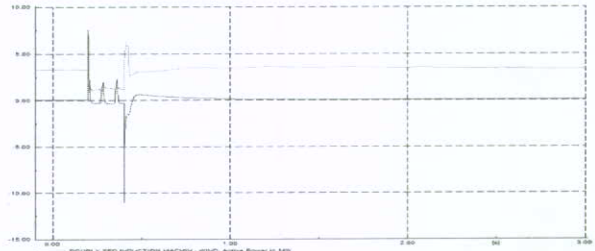
در این شیوه سازی یک اتصال کوتاه سه فاز متقاضن به مدت ۲۰۰ میلی ثانیه بر روی شبکه ۲۰ کیلوولت رخ می دهد و تأثیرات آن بر روی ژنراتورهای القابی DFIG توسط نرم افزار به مدت ۳ ثانیه شیوه سازی شده است. همانطور که از نمودارهای شیوه سازی در DIGSILENT مشاهده میگردد چنانچه در شبکه افت ولتاژ ناشی از اتصال کوتاه بوجود آید، (شکل ۶) و بعد از مدت زمان کوتاهی ولتاژ بازیابی گردد در این مدت زمان توان اکتیو ژنراتور القابی کاهش می یابد (شکل ۷) و زمانیکه ولتاژ برگردد توان راکتیو زیادی جهت تولید توان اکتیو از شبکه کشیده می شود (شکل ۷). در مدت زمان اتصال کوتاه به دلیل کاهش شار هسته در ژنراتور گشتاور الکتریکی و ولتاژ القابی در روتور کاهش می یابد (شکل ۱۲) و توربین شروع به سرعت گیری می نماید (شکل ۹). با افزایش ناگهانی سرعت روتور لغزش ژنراتور نیز افزایش می یابد (شکل ۱۰). و با این افزایش سرعت روتور، سیستم کنترلی توربین زاویه پرهها را تغییر می دهد تا مقاومت بیشتری در برابر هوایجاد نماید و سرعت روتور را کاهش دهد (شکل ۱۱).



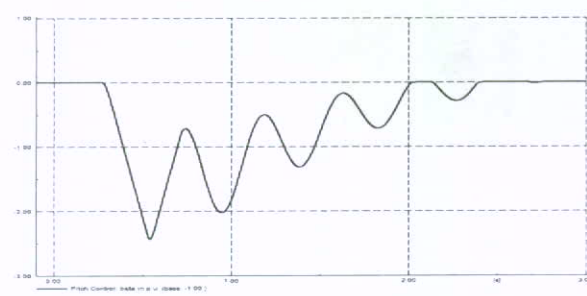
شکل(۶) : نمودار زمان - ولتاژ



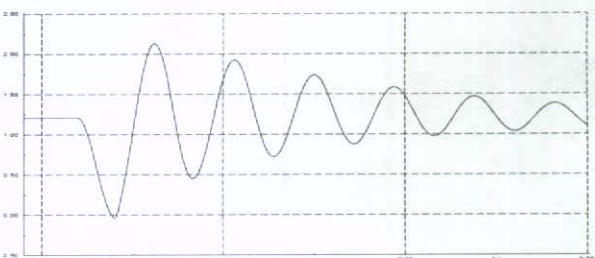
شکل(۱۲) : نمودار زمان - ولتاژ روتور



شکل(۷) : نمودار زمان - توان اکتیو - راکتیو

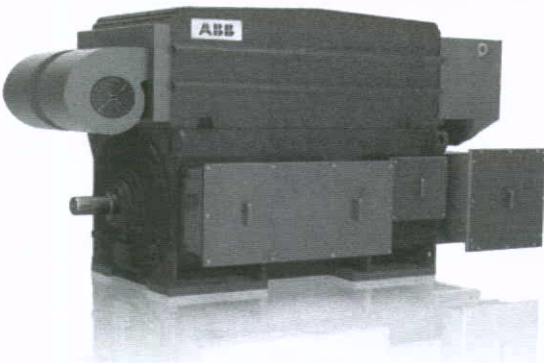


شکل(۱۳) : نمودار زمان - زاویه پره

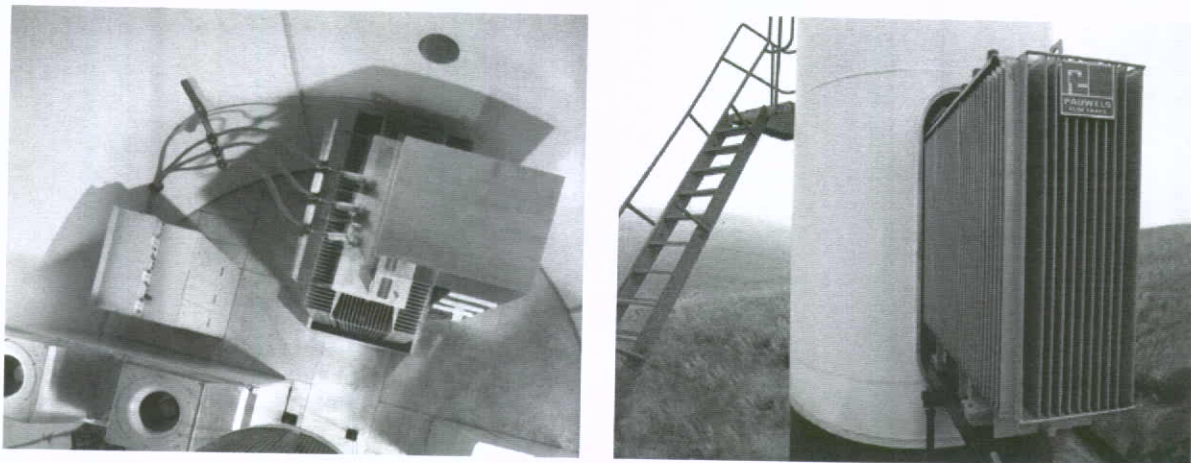


شکل(۸) : نمودار زمان - توان توربین





شکل(۱۴) ژنراتور DFIG توربین بادی ۲ مگاواتی - شرکت ABB [۵]



شکل(۱۶) محل نصب ترانسفورماتور و تابلوها در داخل برج

شکل(۱۵) ترانسفورماتور افزاینده ۰.۶۹/۲۰ کیلوولت



شکل(۱۷) کانورتر ژنراتور DFIG با سیستم خنک کنندگی آب – [۶] CONVERTEAM



۵-نتیجه گیری و پیشنهاد

سال ۱۱ در شرکت قدس نیرو مشغول به کار می‌باشد. علاقمندی ایشان در مورد نیروگاههای گازی و ترانسفورماتورهای قدرت، ژنراتورها و مباحث انرژی‌های تجدیدپذیر و تولید پراکنده می‌باشد.

Email: babak.hojati1@yahoo.com

وقوع اتصال کوتاه در نیروگاههای بادی باعث کاهش ولتاژ ترمینالهای ژنراتور القایی و در نتیجه کاهش شدید شاره هسته و تحریک ژنراتور میگردد که این باعث سرعت گیری روتور توربین میگردد و بعد از رفع خطا به دلیل کشیدن جریان مغناطیسی زیاد توسط ژنراتور و مصرف توان راکتیو مجدد باعث افت ولتاژ شبکه میگردد در این حالت سیستم‌های حفاظتی توربین ممکن است به دلیل این نوسانات توربین ژنراتور را از شبکه جدا نمایند. و همچنین عبور قسمتی از جریان اتصالی از مسیر کانورتر در روتور ممکن است باعث آسیب دیدگی ادوات الکترونیک قدرت ۱^(۱) (IGBT)‌ها گردد به همین دلیل نیروگاههای بادی نسبت به سایر نیروگاهها بسیار ناپایدار هستند.^[۷]

- یک راه حل جهت جلوگیری از ناپایداری توربین در برابر نوسانات ولتاژ استفاده از ادوات تولید توان راکتیو^(۲) (SVC)^(۳) (STATCOM) برای بازیابی ولتاژ است.

- استفاده از مدارات منحرف کننده جریان (Crowbar) در مسیر روتور جهت جلوگیری از ورود جریان اتصالی به کانورتر و صدمه دیدن آن.^{[۸][۹]}

مراجع:

- [1] <http://www.wwindea.org>
- [2] <http://peps.ir/power>
- [3] Wind power plant book
- [4] Wind turbines book
- [5] www.abb.com
- [6] www.converteam.com
- [7] مقالات سمینارهای تخصصی توربین بادی
- [8] Wind farm electrical system-document
- [9] Vestas documents

بیوگرافی:

آقای محمدرضا بیگلری لیسانس مهندسی برق قدرت فارغ التحصیل دانشگاه آزاد بیزد با ۱ سال سابقه کار بوده که از سال ۱۱ در شرکت قدس نیرو مشغول به کار می‌باشد. علاقمندی ایشان بررسی سیستم‌های قدرت و حفاظت آنها شامل ترانسفورماتورها و موتورهای الکتریکی و طراحی سیستمهای الکتریکی... و مباحث انرژی‌های تجدیدپذیر و تولید پراکنده می‌باشد.

Email: mh_big@yahoo.com

آقای بابک حجتی لیسانس مهندسی برق قدرت فارغ التحصیل دانشگاه آزاد بروجرد با ۴ سال سابقه کار که از

- 1- Insulated-gate bipolar transistor
2-Static Var Compensator
3-Static synchronous compensator



مبانی طرح سیستم HVDC

علیرضا رئیسی

مدیر گروه تخصصی خطوط انتقال نیرو - SBU شبکه

کامران رضایی

کارشناس گروه تخصصی خطوط انتقال نیرو - SBU شبکه

کلمات کلیدی: Bi polar – Mono polar – HVDC

چکیده

در این مقاله نکات کلیدی طرح یک سیستم HVDC که شامل تقابل بین سیستم DC/AC، انتخاب محل ترمیمهای مبدل، حداکثر توان DC قابل تزریق، استحکام سیستم، مدیریت توان راکتیو، تاثیرات خط روى عملکرد سیستم و ... می باشد، مورد بررسی قرار می گیرد. همچنین آرایش‌های مختلف سیستمهای HVDC با تمرکز بر ملاحظات طرح سیستم، تحلیل می شود و در نهایت اطلاعات آماری برخی از پژوههای در حال بهره‌برداری که توسط موسساتی همانند CIGRE انتشار یافته، برای دستیابی به راهنمایی جهت طرح یک سیستم HVDC / راهه می شود.

شانت تامین می شود. در صورتیکه نتیجه مطالعات شبیه‌سازی نشان دهد که اضافه ولتاژهای دینامیک ناشی از اختلالات خیلی بالا هستند، جبران سازی دینامیک توان راکتیو (SVC) مثل استفاده از جبران ساز استاتیک توان راکتیو، یا جبران ساز سنکرون استاتیک توان راکتیو (STATCOM) مورد نیاز می باشد. همچنین برای سهولت عملیات کلیدزنی در فواصل قابل قبول و خارج کردن تعداد دلخواه فیلترها و بانکهای خازنی از سیستم این فیلترها و خازنهایا به بانکهایی با اندازه معقول تقسیم می شوند.

۲- کنترل سطح توان

برخلاف سیستم AC، توان انتقالی سیستم DC به تغییر زاویه ولتاژ بین دو ترمینال وابسته نیست. هر چند میزان توان قابل قبول تزریق شده توسط Inverter، رابطه مستقیمی با استحکام سیستم AC گیرنده دارد.

هرچه سیستم AC قویتر باشد (قدرت جریان اتصال کوتاه بالاتری داشته باشد) توان بیشتری قابل تزریق به شبکه می باشد. این رابطه عموماً با نسبت اتصال کوتاه SCR بر حسب MVA level/Pd سنجیده می شود.

۱- AC Harmonic Filters

۱- مقدمه

با در دست داشتن نتایج مطالعات شبکه متشکل از سیستمهای AC و DC، اولین گام جهت انتقال توان به روش HVDC طرح کلی سیستم با در نظر گرفتن تقابل بین سیستم HVDC و شبکه AC می باشد.

همچنین قابلیت اطمینان و حاشیه ایمنی سیستم از نکاتی هستند که در نهایت به مشخص شدن پارامترهای اصلی یک سیستم انتقال HVDC نظیر آرایش سیستم و مبدلها آن می انجامد.

۲- مشخصات عملکرد سیستم HVDC

۲-۱- توان راکتیو و پایداری

خطوط انتقال HVDC کاربرد وسیعی در انتقال توان زیاد به فواصل طولانی یا انتقال توان در بدنه اصلی یک شبکه دارند؛ چراکه سیستم انتقال HVDC برخلاف سیستم انتقال AC دارای محدودیتهای مربوط به پایداری نیست و نیازی به ایستگاههای میانی کنترل ولتاژ و توان راکتیو ندارد. البته توان راکتیو در دو ایستگاه نهایی برای تامین نیاز مبدلها و فراهم ساختن محدوده ولتاژ AC مناسب ضروریست. توان راکتیو استفاده شده در هر ترمینال مستقیماً متناسب با توان انتقالی DC می باشد. این توان راکتیو، معمولاً توسط فیلترهای هارمونیک AC^۱ که همچنین وظیفه کاهش جریانهای هارمونیک AC به مقدار قابل قبول را دارند و خازنهای



۳-۲- خصوصیات وابسته به ولتاژ

مبدل‌های معمول HVDC که بر پایه استفاده از تایرستور بنا نهاده شده‌اند، مبدل‌های منبع جریانی^۱ به حساب می‌آیند. در این مبدلها ولتاژ DC باید معکوس شود تا جهت انتقال توان نیز معکوس گردد. در چنین مبدل‌هایی نیاز به ولتاژ AC برای تکمیل فرایند هدایت تایرستور می‌باشد.

اگر ولتاژ AC در سمت Inverter بنا به خطای متقارن یا نامتقارن به کمتر از مقدار ۹۰٪ افت کند، احتمال بروز خط در فرایند هدایت وجود دارد. در چنین شرایطی سیستم DC ممکن است باعث برهم زدن تعادل سیستم AC گردد. پس از اینکه خط از بین رفت، ترخ افزایش توان DC باید با ظرفیت سیستم AC در تولید توان راکتیو هماهنگ شود.

۴-۲- اضافه بار خط انتقال HVDC

ظرفیت لازم سیستم انتقال HVDC برای تحمل اضافه بار از نکات حائز اهمیت می‌باشد. بر پایه ضوابط NERC خاموشی یک قطب از دو قطب یک خط انتقال HVDC^۲، هم ارز با خاموشی یک مدار سه فاز AC می‌باشد. جهت انتقال توانهای زیاد به روش HVDC نیاز به مطالعه شبکه AC در نقاطی که مبدل‌های HVDC قرار خواهند گرفت می‌باشد. اگر سیستم HVDC داخل یک سیستم AC سنتکرون (با فرکانس‌های برابر) باشد، ظرفیت شبکه AC با ظرفیت اضافی خطوط AC موازی و قطب باقیمانده DC باید مورد توجه قرار گیرد.

در صورتیکه سیستم HVDC دو شبکه با فرکانس‌های متفاوت را به هم متصل کند ظرفیت اضافه بار داخلی قطب یا قطب‌های سالم حائز اهمیت می‌شود.

معمولًا طراحی خطوط HVDC به نحوی انجام می‌شود که خطوط تحمل دو برابر جریان نرمال را در شرایط اضطراری برای مدت معینی داشته باشند. این ظرفیت اضافی با در نظر گرفتن هادیهایی با ظرفیت اضافه‌تر و افزایش مقاومت مکانیکی خطوط ایجاد می‌گردد. باید این نکته را مورد توجه قرار داد که وضعیت اضافه بار تنها در مدت زمان کوتاهی اتفاق می‌افتد و دائمی نیست. به طور کل ضوابط زیر در طراحی خطوط HVDC باید مدنظر قرار گیرد:

- خطوط انتقال HVDC با در نظر گرفتن تاثیر پدیده کرونا طراحی می‌شوند و این امر به انتخاب هادیهایی با سطح مقطع بیشتر و یا استفاده از باندل منتهی می‌شود؛ در نتیجه عموماً ظرفیت خالی برای تحمل اضافه بار در بازه‌های زمانی کوتاه وجود دارد و ممکن است گاهی این ظرفیت خالی تا دو برابر جریان نرمال نیز باشد.
- فواصل مجاز هادی با زمین باید با توجه به جریان اضطراری عبوری در حالت اضافه بار تعیین گردند. چراکه

۳- آنالیز AC/DC

یکی از مفاهیم اساسی در هنگام آنالیز رفتار یک سیستم AC/DC در حالت پایدار، منحنی حداکثر توان^۴ می‌باشد که مربوط به حداکثر توان DC می‌باشد که می‌تواند به شبکه گیرنده با عملکرد پایدار تزریق شود. مفاهیم توضیح داده شده در این قسمت بر پایه گزارش CIGRE1 می‌باشد.

- 1- Current Sourced Converter (CSC)
- 2- Commutation
- 3- Bipolar
- 4- Maximum Power Curve



جدول(۱) : نرخ اضافه بار پروژه های HVDC

نرخ اضافه بار برخی از طرحهای HVDC					
اضافه بار بلند مدت	اضافه بار کوتاه مدت	توان MW	پروژه		
پریونیت	مدت زمان	پریونیت	مدت زمان		
۱/۱	۲ ساعت	۱/۳۳	۵ ثانیه	۱۵۰۰	Rihand-Dadri
۱/۱	۲ ساعت	۱/۲	۵ ثانیه	۵۰۰	VindhyaChal
۱/۵	مداوم	۲	۱ ثانیه	۱۶۰۰	Intermountain
۱/۱	۲ ساعت	۱/۲۵	۱۰ ثانیه	۱۲۰۰	Gesha
۱/۱۵	۲۰ ثانیه	۱/۲۵	۵ ثانیه	۳۱۵۰	Itaipu
۱/۱	مداوم	۱/۵	۳ ثانیه	۱۸۰۰	Tian Guang
۱/۱۳	۲ ساعت	۱/۵	۵ ثانیه	۳۰۰۰	Three Gorges-Ghangzhou
۱/۱۳	۲ ساعت	۱/۵	۵ ثانیه	۳۰۰۰	Three Gorges-Guangdong
-	-	۱/۵	۱۰ دقیقه	۳۰۰	Thailand – Malaysia

منجر به تغییرات قابل توجه ولتاژ شود که این امر نیازمند استراتژیهای کنترلی خاصی باشد. برای مثال کنترل دینامیک توان راکتیو توسط جبران ساز استاتیک (SVC) یا جبران ساز سنتکرون استاتیک (STATCOM) در باس AC و یا نزدیکی ایستگاه HVDC.

۲-۳- حداکثر توان DC تزریقی
محاسبات سطح توان DC تزریقی به شبکه AC موجود یا شبکه AC طرح شده در آینده بدون اینکه موجب تاثیرات نامطلوب در عملکرد سیستم گردد از مسائل مهم طرح یک سیستم DC می باشد. این مفهوم با منحنی حداکثر توان (MPC) (قابل توجیه می باشد).

شکل های (a) و (b) نشان دهنده MPC برای دو مقدار متفاوت SCR می باشند. منحنی MPC یک سیستم AC/DC از نتایج محاسبات پخش بار بدست می آید.

در شکلهای (a) و (b) مقادیر ولتاژ AC، موقعیت TAP و زاویه آتش ثابت نگهداشته می شوند در حالیکه جریان DC (Id) به آهستگی تغییر می کند.

شکل (1a) که در آن $SCR=3/5$ است بیانگر عملکرد مطمئن سیستم می باشد. نقطه عملکرد با توجه به ولتاژ AC در جریان DC در مقادیر نامی بدست می آید. MPC در جریان DC در مقدار مقدار خود مرسد یعنی یک حاشیه کنترل از جانب سیستم DC برای کمک به سیستم AC وجود دارد که در صورت لزوم از آن استفاده می شود. نقطه عملکرد در سمت چپ نقطه حداکثر منحنی توان قرار دارد. بنابراین توان DC بیشتری از مقدار تعیین شده می تواند به سیستم تزریق شود و یا به عبارتی سیستم AC توانایی ذاتی جذب توان بیشتری از شاخه DC را دارد.

۳- تاثیر استحکام سیستم

مقدار توان قابل تزریق به یک سیستم AC توسط یک رابط عموماً به توانایی سیستم AC در تامین توان راکتیو برای Inverter ها در حالیکه ولتاژ AC برای هدایت باس را فراهم می سازد، بستگی دارد. در صورتیکه سیستم AC ضعیف باشد، هنگامیکه نسبت اتصال کوتاه (SCR) (پایین (کمتر از ۲) است، احتمال ناپایداری ولتاژ در سیستم HVDC وجود دارد. از این وقوع احتمال می توان با روش جبران سازی دینامیک توان راکتیو (استفاده از SVC و SVC) جلوگیری نمود.

خازنها و فیلترهای AC متصل به باس AC سطح جریان اتصال کوتاه را کاهش می دهند. اصطلاح "نسبت موثر جریان اتصال کوتاه" یا ESCR در واقع بیانگر جریان اتصال کوتاه کاهش یافته توسط توان راکتیو تامین شده از بانکهای خازنی و فیلترهای AC متصل به باس AC می باشد که در ولتاژ ۱ پریونیت و توان نامی به کار می رود. هر چه مقدار ESCR یا پایین تر باشد تاثیرپذیری متقابل بین سیستم HVDC و شبکه AC بیشتر است. شبکه های AC را می توان از لحظ استحکام به سه دسته زیر تقسیم کرد:

- شبکه های مستحکم با ESCR > 3 بالا :

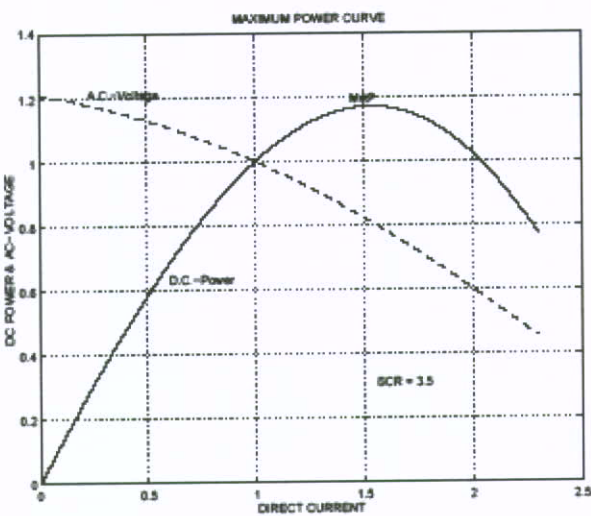
- شبکه هایی با ESCR پایین : $2 < ESCR < 3$

- شبکه های ضعیف با ESCR خیلی پایین : $ESCR < 2$

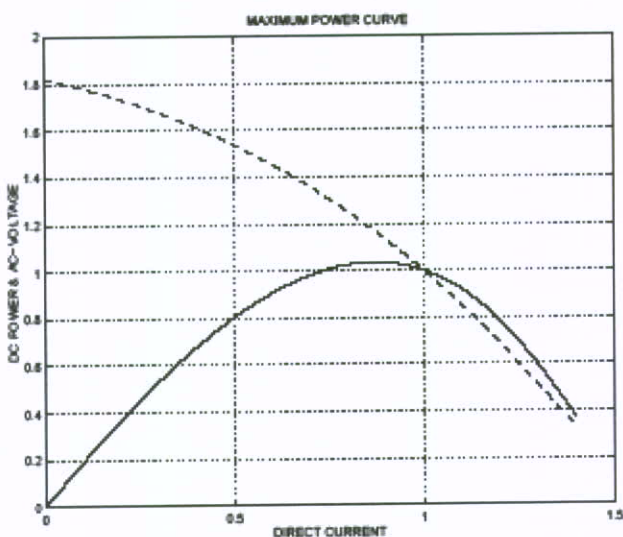
در شبکه هایی با ESCR بالا تغییرات توان اکتیو و راکتیو از جانب ایستگاه HVDC منجر به تغییرات کم و معتمد ولتاژ AC میگردد. بنابراین معمولاً تمهدیات اضافی برای کنترل ولتاژ AC نیست. در این حالت تعادل توان اکتیو/ راکتیو بین شبکه AC و سیستم HVDC با عملیات مناسب کلید زنی عناصر تامین کننده توان راکتیو قابل دستیابی می باشد.

در صورتیکه سیستم دارای ESCR پایین و یا خیلی پایین باشد، تغییرات در شبکه AC یا در سیستم انتقال HVDC ممکن است





شکل (1a) : منحنی های حداکثر توان (MPC) و ولتاژ AC برحسب تابعی از جریان DC (منحنی ولتاژ AC با نقطه چین رسم شده است)



شکل (1b) : منحنی های حداکثر توان (MPC) و ولتاژ AC برحسب جریان DC . SCR=1/5 . DC

۳- خطاهای هدایت

هنگامیکه یک پل مبدل به عنوان Inverter در سمت گیرنده سیستم DC عمل می کند، هر valve هنگامی خاموش می شود که جریان مستقیم هدایتی آن صفر شود و ولتاژ در دو سر valve منفی باقی بماند. مدت زمانی که valve در بایاس منفی باقی می ماند به زاویه آتش α معروف است (مدت زمانی که بعد از آن valve به بایاس مستقیم می رود). ایده آل بدون پالس آتش، حتی اگر در بایاس مستقیم قرار گیرد، هدایت نمی کند و مسدود است. برای اینکه valve بتواند در بایاس مستقیم مسدود باقی بماند لازم است شارژهای داخلی ذخیره شده که در طول زمان هدایت به وجود می آیند، از بین برond.

از طرفی شکل b ۱ با SCR=1/5 بیانگر این است که توان DC بیشتری از آنچه سیستم AC می تواند آنرا جذب کند به سیستم AC تزریق گردیده است. نقطه عملکرد ولتاژ AC در جریان DC با مقادیر تعیین شده در سمت راست نقطه ماکریم منحنی قرار دارد. در این حالت بسته به اینکه سیستم DC در حالت کنترلی با جریان ثابت است یا توان ثابت، عملکرد سیستم غیر کاربردی یا ناپایدار خواهد بود. در این شرایط SCR سیستم می تواند توسط تجهیزات دینامیک تامین کننده توان راکتیو و یا از طریق کاهش امپدانس سیستم AC با استفاده از خازن جیران ساز سری، بهبود داده شود.

بنابراین Inverter به یک حداقل دوره بایاس منفی یا حداقل زاویه آتش(۲) نیازمند است تا عملیات مسدود شدن در بایاس مستقیم با موفقیت انجام شود. اگر valve نتواند در بایاس مستقیم مسدود باقی بماند و هدایت بدون پالس آتش آغاز شود، خطای هدایت اتفاق می‌افتد.

خطای هدایت زمانی اتفاق می‌افتد که کاهش ناگهانی ولتاژ AC در ترمینال Inverter رخ دهد. این امر سبب کاهش محدوده ولتاژی - زمانی لازم برای هدایت بین Valve ها و همچنین کاهش محدوده ولتاژی - زمانی لازم برای رفتن Valve ها به حالت مسدود یا Block (بازه Recovery Charge) می‌شود.

تأثیر خطاهای هدایتی از دیدگاه سیستم AC در شکل (۲) نشان داده شده است. در این حالت Inverter اتصال کوتاه می‌شود (از تغذیه توان باز می‌ماند مثلاً: ولتاژ DC و ولتاژ AC صفر می‌شود) و تا زمانی که علت این اتصال کوتاه برطرف نشود مجددآ شروع بکار نمی‌کند (تا وقتی که ولتاژ سیستم AC دوباره به حد موردنظر برسد).

در سال ۱۹۹۰ موسسه CIGRE مطالعات جالبی را با آنالیز مکانیزم خطاهای هدایتی انجام داد که در زیر به اهم نتایج آن اشاره می‌کنیم:

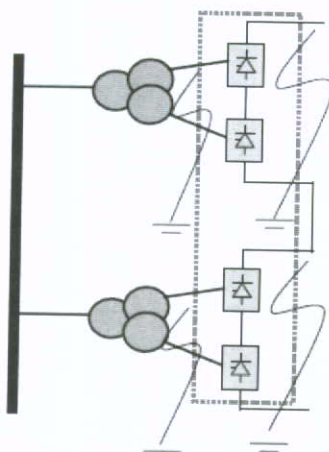
دلایل اصلی خطاهای هدایتی (c.f) موارد زیر هستند:

- افت ناگهانی ولتاژ AC
- تغییر ناگهانی زاویه ولتاژ AC

تغییر ولتاژ (اندازه و زاویه) که منجر به c.f در شرایط ایده آل پایدار می‌شود توسط رابطه (۱) نشان داده می‌شود:

$$\Delta V = 1 - \left[\frac{I_d}{I_d} \left(\frac{x_{cpu}}{x_{cpu} + \cos(\gamma_0 + \varphi) - \cos\gamma} \right) \right] \quad (1)$$

در حالیکه:



شکل (۲): اثر خطای هدایت بر روی ولتاژهای AC و DC



۵-۳- مطالعات پیرامون ترمینال رکتیفایر

در هنگام مسدود شدن توان DC احتمالاً مقادیر زیادی فیلتر/خازن ممکن است در مدار برای مدت زمان معینی باقی بمانند و این امر منجر به ولتاژ AC بالا خواهد شد. این امر ممکن است حتی روی ترانزistorهای نزدیک نیز موثر باشد و سبب تحریک خود به خودی آنها (Self Excitation) گردد. این مسئله باید مورد توجه قرار گیرد، بخصوص در مواقعی که مسیر الکتریکی موازی موجود نیست.

۶-۳- مدیریت توان راکتیو برای سیستم AC موازی:

در صورت خاموشی یک قطب یا دو قطب از سیستم و یا مسدود شدن توان DC به سیستم AC موازی منتقل می شود. برای تأمین این سیستم، جبران سازی راکتیو هم بصورت استاتیک و هم بصورت دینامیک باید در سیستم AC مورد مطالعه قرار گیرد.

۴- آرایش‌های متفاوت مبدلها

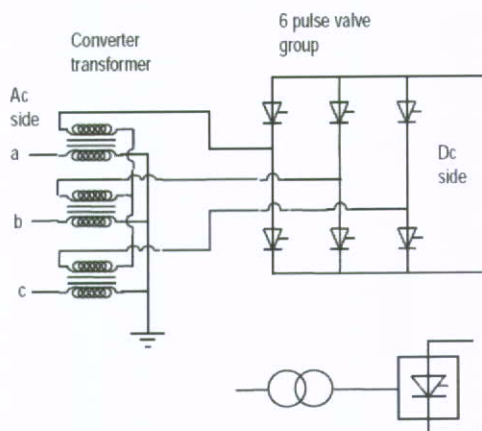
واحد اصلی یک ایستگاه مبدل HVDC پل مبدل ۶ پالسی می‌باشد. برای کاهش تعداد فیلترها در طرف AC و DC دو مبدل ۶ پالسه، که هر یک دارای دو آرایش اتصالی متفاوت ترانسفورماتور هستند، با هم ترکیب شده و یک مبدل ۱۲ پالسی ایجاد می‌شود.

دخیل هستند). بنابراین زوایای آتش (α) بزرگ‌تر و در نتیجه Valve هایی با ظرفیت بیشتر باید مدنظر قرار گیرد. اندازه متداول زاویه آتش (α) در Inverter ها برابر با ۱۸ درجه می‌باشد که با افزایش این مقدار به ۳۰ تا ۲۵ درجه و یا حتی بیشتر احتمال بروز خطاهای هدایتی کاهش می‌یابد. هرچند این کاهش احتمال بروز خطا به بهای افزایش نیاز Inverter به توان راکتیو تمام خواهد شد.

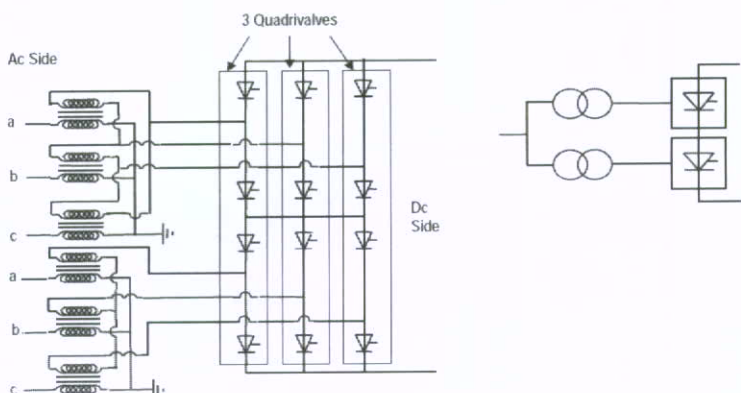
۴-۳- انتخاب محل ترمینال Inverter

سیستم AC متصل به ترمینال Inverter باید از استحکام کافی برخوردار باشد تا بتواند ولتاژ AC را تحت شرایط مختلف تامین نماید. بنابراین مطالعات زیر باید انجام شود:

- افت ولتاژ در ترمینال Inverter در حین بروز خطا برای آرایش‌های مختلف سیستم و سناریوهای متفاوت.
- ترسیم منحنی Q-V (توان راکتیو - ولتاژ) در سمت AC ترمینال تحت آرایش‌های مختلف سیستم.
- ملاحظات فنی - اقتصادی برای مدیریت توان راکتیو با فراهم ساختن فیلترها یا خازنهای یا تغییر سیستم باید مورد بررسی قرار گیرد. منحنی Q-V در آنالیز و تعیین مقدار توان راکتیو لازم در ترمینالها مورد استفاده قرار می‌گیرد.
- ملزومات تجهیزات دینامیک جبران سازی توان راکتیو و خازنهای سری جبران ساز باید مورد بررسی قرار گیرند.



شکل (۳): مبدل ۶ پالسی و علامت الکتریکی آن



شکل (۴): مبدل ۱۲ پالسی و علامت الکتریکی آن



- حاشیه اضافه بار با توجه به محدودیتهای موجود در خصوص تایرستورهای موجود در جهان محدود می باشد (این محدودیت برای ولتاژهای بالا نظیر ± 800 کیلوولت بیشتر جلوه پیدا می کند و برای ولتاژهای پایین تر این حاشیه اضافه بار از چنین محدودیتی برخوردار نیست).

۲-۴- مبدل‌های موازی:

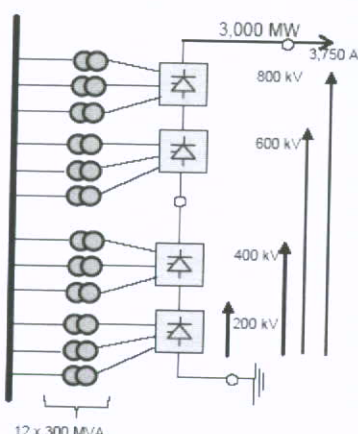
مطابق شکل (۵ b) در آرایش موازی تمامی valve های مبدل ۱۲ پالسی برای سطح ولتاژ ۸۰۰kv ایزوله خواهد شد. مزايا و معایب این آرایش به شرح زیر می باشد :

- تنها ۲ ترانسفورماتور یدکی برای هرایستگاه لازماست. (حداقل)
- در نبود یک مبدل، عملکرد سیستم کماکان در سطح ولتاژ ۸۰۰kv با نیمی از توان در قطبی که مبدل آن از مدار خارج است صورت می پذیرد. هر چند در این حالت نیز به دلیل عدم تعادل جریانها از مسیر برگشت زمین جریان عبور می کند. از روش Metallic Return نمی توان در این حالت استفاده نمود مگر اینکه مبدل موازی با پلاریته مشابه از سیستم خارج شود.
- اگر عبور جریان از طریق زمین در حین از دست رفتن یک مبدل ۱۲ پالسه قبل قبول باشد، (همجنین مبدلها توانایی تحمل 33% اضافه بار را داشته باشند) سه مبدل ۱۲ پالسه باقیمانده توانایی تحمل کل بار (Full load) را خواهند داشت.

۵- شاخصهای آماری، مسائل دوران بهره برداری و قابلیت

HVDC اطمینان

تکنولوژی HVDC از جمله زمینه هایی می باشد که تدبیر سیستماتیک به منظور ثبت شاخصهای آماری هر طرح در حین دوران بهره برداری صورت گرفته است.



شکل (۵ b): آرایش موازی Valve های ۱۲ پالسی ۴۰۰kv

۱-۴- آرایش سری مبدلها

برای مثال در شکل (۵ a) آرایش سری Valve های ۱۲ پالسی ۴۰۰kv نشان داده شده است. اگر فرض کنیم اندازه کل ترانسفورماتورها ۳۶۰۰MVA برای کنترل توان DC 3000MW باشد. از مزايا و معایب آرایش فوق می توان به موارد زیر اشاره کرد :

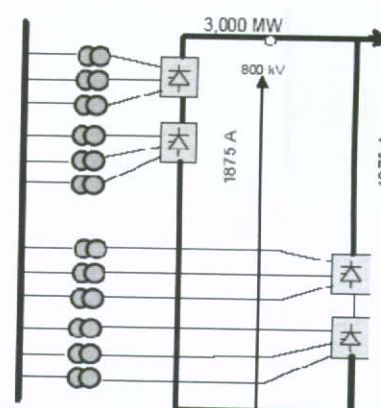
- سهولت در جابجایی و حمل و نقل ترانسها.

- یک گروه از Valve ها تنها برای ولتاژ ۴۰۰kv ایزوله می شوند.

- اگر یکی از پلهای ۱۲ پالسه قطع شود، نیمی از توان قطب کماکان با جریانهای متعادل بین دو قطب (بدون مسیر برگشت زمین) قابل انتقال می باشد. هر چند سطح ولتاژ به نصف مقدار نامی می رسد و تلفات افزایش خواهد یافت. در برخی کشورها برای عبور جریان بالا از طریق زمین در زمان طولانی محدودیت وجود دارد؛ هرچند در برخی کشورها نیز سیستمهای تک قطبی با جریان بالای دائمی زمین ساخته شده است. در موقعي که محدودیتی برای جریان زمین وجود دارد، آرایش سری یک مزیت است چراکه هر دو قطب در صورت خارج بودن یک مبدل از سیستم می توانند با جریان حداکثر عمل کنند بدون اینکه منجر به ایجاد جریان زمین شوند.

برای فواصل طولانی، اجرای ابتدایی ولتاژ ۴۰۰kv بدلیل تلفات زیاد عملی نیست. بنابراین عملیات نصب در حالت توان کامل همزمان انجام می شود. این آرایش برای پروژه هایی که به چند فاز با توانهای مختلف تقسیم می شوند مطلوب نیست چراکه ولتاژ در فازهای ابتدایی پایین تر از سطح ولتاژ در فاز آخر می باشد و این امر تلفات را بالا می برد.

در هر ایستگاه نیاز به ۴ واحد یدکی می باشد مگر اینکه پیش بینی هایی صورت پذیرد تا واحدهای ۶۰۰kv و ۸۰۰kv طوری ساخته شوند که در فضای مابین واحدهای ۴۰۰kv و ۴۰۰kv جا داده شوند.



شکل (۵ a): آرایش موازی Valve های ۱۲ پالسی ۴۰۰kv

کند. اکثر خطاهای در خطوط انتقال DC خطاهای polar Mono هستند. همچنین هیچگاه دیده نشده است که صاعقه به هر دو قطب برخورد کند. در ارتباط با خاموشیهای ناشی از صاعقه، مبدلها به سرعت خطا را فرو می‌نشانند و در مدت 100 تا 200 میلی ثانیه مجددًا شروع بکار می‌کنند. عموماً سه شروع مجدد صورت می‌پذیرد و سومین شروع مجدد در سطح ولتاژ کاهش یافته است. اشاره به این نکته نیز مهم است که برخلاف خطوط AC در صورت صدمه دیدن ایزولاسیون خط حتی در هر دو قطب، خط انتقال می‌تواند تحت ولتاژ کاهش یافته به عملکرد خود ادامه دهد. این کاهش ولتاژ با تنظیم زاویه تاخیر^۱ و موقعیت Tap-Changer انجام می‌گردد.

برای خطوط HVDC با ولتاژ بالا مثلاً 800 ± 800 کیلوولت، یک رخداد در طول سال و زمان تعییر یک ساعت می‌تواند قابل قبول باشد و به عنوان مرجع در داده‌های قابلیت اطمینان خط انتقال استفاده گردد. داده‌های آماری دیگر مربوط به پروژه‌های HVDC در کشور چین هستند. جدول (۴)

جدول (۵) مقدار خاموشیهای یک ایستگاه مبدل را نشان می‌دهد، این مقادیر می‌توانند به عنوان مبنای طراحی یک سیستم HVDC با ولتاژ بالا به کار روند.

مهمنترین نکاتی که طراحان سیستم باید به آن توجه کنند موارد زیر می‌باشند:

- سیستم HVDC چه نقشی را می‌تواند برای سیستم AC ایفا کند؟ آیا این سیستم نقش تمامین توان را دارد (MW based)، مثلاً یک تیروگاه را به شبکه متصل می‌کند، یا نقش اتصال دهنده دو شبکه انرژی را؟ (MWh based). برای هر کاربرد، قابلیت اطمینان متفاوتی مدنظر خواهد بود که بر روی طراحی سیستم HVDC موثر است.

- سیستم HVDC چگونه ممکن است تاثیر نامطلوب بر روی سیستم AC بگذارد.

- سیستم HVDC خصوصیات متفاوتی را نسبت به HVAC به شبکه وارد می‌کند.

خصوصیات مطلوب و نامطلوب سیستم HVDC شامل موارد زیر می‌شود:

- خصوصیات فنی مطلوب: دقیق بالا، سرعت، تغییرات زیاد در توان به دلیل خاصیت تطبیق پذیری آن امکان پذیر است.

- خصوصیات فنی نامطلوب: کل توان HVDC می‌تواند بافت ناگهانی مقدار زیاد ولتاژ AC به مدت زمان بیشتری مختل گردد.

۶- از دست رفتن بلوکهای عظیم توان

خاموشی سیستم HVDC روی دو ترمینال به طریق متفاوتی تاثیر می‌گذارد. در رکنیفایر این امر بصورت عدم پذیرش بار جلوه پیدا می‌کند و احتمالاً موجب شتاب گرفتن سرعت زنگنور و افزایش

از سال CIGRE ADVISORY GROUP AG ۱۹۷۰ در کمیته B4 (تجهیزات HVDC و الکترونیک قدرت) گزارشات سالانه ای از اکثر پروژه‌های HVDC در دست دارد. در این بخش به مهمترین وجود این شاخصهای آماری پرداخته می‌شود تا راهنمایی برای طراحان سیستم فراهم شود.

۱- شاخصهای آماری طرحهای تجاری

شاخصهای آماری :

۱. خطوط انتقال

۲. مبدلها و Valve ها

برای پروژه‌های HVDC - FURNAS - Itaipu 600KV در بزرگی Three Gorges-Guangdong و Gorges-Changzhou در کشور چین ارائه می‌شود.

با توجه به شاخصهای آماری CIGRE جدول زیر بیانگر میزان در دسترس بودن انرژی بر پایه میانگین انرژی قابل دسترس با احتساب ترانسها مبدل و بدون احتساب ترانسها مبدل می‌باشد.

- باید توجه داشت که خطاهای در تمامی پروژه‌های انتقال نمی‌دهند. از طرفی ممکن است در طرحی میزان تمرکز این خطاهای زیاد باشد.

- چهار طرح از پنجاه طرح HVDC دارای نرخ تمرکز خطای ۶۵٪ می‌باشند.

- خطاهای روبرو شده دارای علتهای متفاوتی هستند و علت اصلی و عمدۀ وجود ندارد. (عوامل مکانیکی، مقره‌ها، محافظها و شیلدۀای استاتیک و Tap-Changer)

- اکثر خطاهای در طرحهایی با ولتاژهای بالاتر و توانهای بیشتر مشاهده شده‌اند. البته خطاهای لزوماً تنها در واحدهایی که بالاترین سطح ایزولاسیون را دارند اتفاق نمی‌افتد.

- ظاهراً خطاهای بیشتر مربوط به واحدهایی با سطح توان بیشتر هستند.

از اطلاعات بدست آمده از پروژه FURNAS-Itaipu، زمان متوسط تعییر خط انتقال در حدود ۰/۶ ساعت برای هر رخداد گزارش گردیده است.

جدول زیر بیانگر تعداد خاموشی‌های خط انتقال FURNAS در کشور بزرگی Itaipu می‌باشد.

تعداد خاموشی‌های مستمر متوسط سالیانه با توجه به جدول (۳) کمتر از ۱ می‌باشد. این رخدادها از لحاظ قابلیت اطمینان و مطالعات طرح سیستم، حائز اهمیت هستند. از اطلاعات فوق می‌توان به این نتیجه رسید که زمان متوسط خاموشی اجباری یک خط انتقال DC کمتر از یک ساعت در سال است. این اطلاعات آماری هم به خاموشی‌های Mono polar (تک قطبی) باز می‌گردد و هم به خاموشی‌ها Bi polar (دوقطبی). خاموشی‌های Bi polar بسیار کمتر از خاموشی‌های Mono polar هستند. خاموشی‌های Bi polar (که با مشخص شده اند) تنها زمانی رخ می‌دهند که یک برج سقوط



جدول (۲): آمار کلی پروژه های HVDC با در نظر گرفتن خاموشیهای ترانس و بدون در نظر گرفتن خاموشیهای ترانس

۹۸/۵٪ ۹۹/۵٪	الف : ب :	در دسترس بودن انرژی پروژه های HVDC در طول ۱۰ سال الف) عملکرد کلی ب) بدون در نظر گرفتن خطاهای ترانسفورماتور
۰/۵٪ (دسترسی ۹۹/۵٪)		عدم دسترسی اجباری
٪۱		عدم دسترسی برنامه ریزی شده

جدول (۳): تعداد خاموشیهای خط انتقال FURNAS – Itaipu

Itaipu HVDC ±600 kv	Bipole 1				Bipole 2			
	P1- گذرا	کاهش مستمر ولتاژ	P2+ گذرا	کاهش مستمر ولتاژ	P3- گذرا	کاهش مستمر ولتاژ	P4+ گذرا	کاهش مستمر ولتاژ
1993	۰	۱	۰	۸	۱	۲	۲	۰
1994	۳	۰	۳	۳	۰	۱	۱	۲
1995	۴	۰	۰	۳	۰	۱	۰	۰
1996	۳	۰	۰	۵	۰	۰	۰	۰
1997	۵	۲	۵	۰	۰	۱	۰	۰
1998	۲	۱	۰	۴	۲	۲	۰	۰
1999	۲	۰	۰	۳	۰	۰	۲	۰
2000	۵	۰	۱	۷	۰	۱	۲	۰
2001	۱	۰	۱	۱	۰	۱	۰	۰
2002	۰	۰	۱	۱	۱	۳	۱	۰
2003	۵	۰	۰	۲	۰	۰	۰	۰
2004	۷	۲	۳	۰	۰	۰	۰	۰
2005	۱	۰	*۲	۳	۱	*۱	۴	۰
کل	۳۸	۶	۱۴	۴۰	۵	۱۲	۱۲	۲
متوسط ۱۳ سال	۲/۹۲	۰/۴۶	۱/۰۸	۳/۰۸	۰/۳۸	۰/۹۲	۰/۹۲	۰/۱۵
							۰/۶۲	۱/۸۵
								۰/۱۵
								۰/۴۶

جدول (۴): قابلیت اطمینان مطلوب و میزان دسترسی مورد نظر به انرژی در پروژه های HVDC در کشور چین

۰/۱۵٪	عدم دسترسی به انرژی در شرایط اجباری
۱٪	عدم دسترسی به انرژی در شرایط برنامه ریزی شده
۶٪	خاموشی اجباری یک قطب
۱۱٪	خاموشی اجباری دو قطب



جدول (۵): مقدار متوسط خاموشیهای ایستگاههای DC

مدت زمان متوسط به ساعت	میانگین تعداد خاموشی در سال	
۷/۵	۶	دو قطب (در یک ایستگاه)
۸	۰/۱	دو قطب (در یک ایستگاه)

توان راکتیو با فراهم کردن فیلترها و خازنها، بسته به نیاز سیستم، باید صورت پذیرد. ملزومات جبران سازی دینامیک توان راکتیو نیز باید مورد بررسی قرار گیرد.

- در ترمینال رکتیفایر، در صورت مسدود شدن توان، مقدار زیادی از فیلتر یا خازن به مدت زمان معینی در مدار باقی خواهد ماند که منجر به افزایش ولتاژ می‌شوند بنابراین احتمال شروع بکار (آتش) خود به خودی ژئاتور باید بررسی گردد.

در صورت خاموشی یک یا دو قطب یا مسدود شدن توان DC توان به سیستم موازی AC منتقل خواهد شد. برای حفظ اینمی سیستم جبران سازی استاتیک، دینامیک، سری و موازی در سیستم AC باید مورد مطالعه قرار گیرد و مشخص گردد.

- آرایشهای موازی و سری ۱۲ مبدل ۱۲ پالسه باید مورد بررسی قرار گرفته و با توجه به نیازها و ضوابط طراحی بهینه‌ترین آرایش انتخاب گردد. حاشیه لازم برای تحمل اضافه بار نیز باید در نظر گرفته شود (برای مدت زمان کوتاه یا بلند) تا از خاموشی مبدلها جلوگیری بعمل آید.
- خاموشی کل ایستگاه بسیار کمتر از خاموشی یک قطب (در صورتیکه یک مبدل در هر قطب وجود داشته باشد) و یا قسمتی از یک قطب (در صورتیکه دو مبدل سری یا موازی در هر قطب وجود داشته باشد) روی می‌دهد.
- شاخص‌های آماری موجود باید همراه با ضوابط متفاوت مورد استفاده قرار می‌گیرند و این ضوابط با توجه به این که سیستم HVDC نقش منبع توان را داشته باشد (MW) یا نقش رابط انرژی (MWh) تعیین می‌گردد.

- برای اینکه سیستم بتواند در حالت تک قطبی (Mono polar) نیز عمل کند، الکترودهای زمینی باید در نظر گرفته شوند. چون در صورتی که فقط هادی یک قطب قابل بهره برداری باشد این الکترودها نقش اساسی در عملکرد سیستم ایفا می‌کنند.

مراجع:

- (۱) آشنایی با FACTS - مفاهیم و فن آوری شبکه های انتقال نیروی انعطاف پذیر - تارین جی. هینکورانی، لازلو گابوگی - ترجمه احمد فریدون درافشان
- [2] Parallel Connection of Convertors for HVDC Transmission - A.Ekstrom , L.E.Juhlin , and G.Liss- IEEE May/June 1978 VOLUME PAS-97
- [3] G. Andersson et al: ON VOLTAGE AND POWER STABILITY IN AC/DC SYSTEMS, CIGRÉ WG 14.05 Technical Brochure, January 2003.

فرکанс سیستم می‌گردد که این امر به اضافه ولتاژهای احتمالی بالا منجر می‌شود. در سمت inverter این خاموشی بصورت افت در تولید و نوسانات کم ولتاژ و توان مشاهده می‌گردد.

مطالعات اولیه با مدل سازی انواع خطاهای باید صورت پذیرد و راهکارهای مناسب برای کاهش مدت زمان خاموشی مبدلها در نظر گرفته شود مانند در نظر گرفتن حاشیه‌های لازم در ضوابط اضافه بار هر مبدل ۱۲ پالسه و طرحهای حفاظتی مخصوص مانند کنترل نسبت بار مصرفی به میزان تولید.

۷- ضوابط لازم برای طرح قابل اطمینان

فقدان توان (MW) به سه دسته قابل تقسیم می‌باشد:

- بحرانی: فقدانی که باعث قطع شدن کل توان DC می‌گردد.
- شدید: فقدانی که موجب قطع شدن نصف توان می‌گردد. این فقدان میتواند با اعمال اضافه بار بر تجهیزات باقیمانده جبران گردد.
- غیر شدید: فقدانی که باعث از دست رفتن ۰٪ از کل توان می‌گردد.

در نهایت باید خاطر نشان کرد که عملکرد HVDC در یک سیستم AC، چه به عنوان منبع توان (MW) و چه به عنوان رابط انرژی (MWh) ممکن است برروی سطح اینمی سیستم که در مطالعات قابلیت اطمینان و طراحی بدست آمده تاثیر بگذارد. البته حساسیت در طراحی یک سیستم HVDC که تامین کننده Tوان است بسیار بیشتر از حساسیت طراحی یک سیستم HVDC که به عنوان رابط انرژی (MWh) عمل می‌کند، می‌باشد.

۸- نتیجه گیری

- تعداد خاموشیهای اجباری دوقطب ^۱ بسیار کم می‌باشد. معمولاً چنین خاموشیهایی بر اثر سقوط برج روی می‌دهند؛ بنابراین اکثر خطاهای خط روی یک قطب حادث می‌شوند (بر اثر خطای ایزولاسیون و کلیدزنی و غیره) به همین جهت است که عملکرد یک قطب به اضافه مسیر برگشت فلزی (metallic return) و یا مسیر برگشت زمین (از طریق الکترود) در طرحهای HVDC از اهمیت خاصی برخوردار است.
- هنگام درنظر گرفتن ظرفیت اضافه بار خط HVDC مطالعات باید برروی شبکه ترکیبی AC/DC صورت پذیرد. توانایی تحمل اضافه بار DC بستگی به توانایی شبکه AC/DC متصل به بخش HVDC دارد.
- ولتاژ AC در سمت Inveret باید تحت شرایط عملکرد متفاوت تامین شود بنابراین مطالعات لازم برای تعیین افت ولتاژ در ترمینال Inverter در هین بروز خطا در آرایشهای مختلف سیستم باید صورت پذیرد. همچنین ترسیم منحنی Q-V (توان راکتیو - ولتاژ) در سمت AC ترمینال باید انجام شود. مدیریت فسی - اقتصادی





[4] C. V. Thio et al: COMMUTATION FAILURES IN HVDC TRANSMISSION SYSTEMS DUE TO AC SYSTEM FAULTS, CIGRÉ WG 14.02 Technical Brochure, July 1997.

[5] J. Christofersen et al: ANALYSIS OF HVDC THYRISTOR CONVERTER TRANSFORMER PERFORMANCE, CIGRÉ JTF B4.04/A2-1 Technical Brochure, November 200

[6] C. Zani: FURNAS EXPERIENCE ON HVDC SYSTEM OPERATION, Brazil – India – China CIGRÉ Summit, Rio de Janeiro, July 2006.

[7] Rebatí Dass, Börje Linden, Stefan Rinaldo, Siu-Pan Cheung: OPERATION EXPERIENCE FROM BULK POWER HVDC LINKS FROM THREE GORGES COMPLEX, CIGRÉ 2006 Paper B4-208.

بیوگرافی

آقای علیرضا رئیسی دارای مدرک لیسانس مهندسی برق گرایش قدرت از دانشگاه آزاد اسلامی - فنی تهران جنوب می باشند. ایشان بیش از ۱۴ سال در شرکت قدس نیرو تجربه کارشناسی و مدیریت پروژه داشته و هم‌اکنون مدیریت گروه تخصصی خطوط انتقال را بر عهده دارند. زمینه فعالیت آقای علیرضا رئیسی بطور کلی سیستم‌های انتقال انرژی الکتریکی بوده و زمینه تخصصی و علاقمندی ایشان علاوه بر مطالعه و پیاده‌سازی سیستم‌های مدیریت مهندسی، طراحی، تحلیل و عیب یابی، بهینه سازی و ارتقاء خطوط انتقال نیرو با بکار گیری سیستم‌های جدید و پیشرفته طراحی به ویژه Power Line Systems- Computer Aided Design and Drafting (PLS-CADD) می باشد.

Email: araisi@ghods-niroo.com

آقای کامران رضایی دارای مدرک لیسانس برق گرایش الکترونیک از دانشگاه آزاد تهران مرکز می باشند. ایشان جمماً ۱ سال سابقه کار داشته که ۴ سال آن در شرکت قدس نیرو و در مورد طراحی و ارتقاء شبکه‌های انتقال نیرو می باشد. زمینه کاری و علاقمندی ایشان در زمینه کنترل و ارتقاء سیستم‌های انتقال نیرو و طراحی سیستم‌های انتقال HVDC می باشد.

Email : krezaeii@ghods-niroo.com

ملاحظات بهداشتی و زیست محیطی استفاده از پساب در روش های مختلف آبیاری تحت فشار (مطالعه موردی پساب خروجی تصفیه خانه فاضلاب اولنگ مشهد)

علی سمعی

کارشناس ارشد محیط زیست - SBU آب

رامین نیکنام

کارشناس ارشد آبیاری و زهکشی - SBU آب

امیرابراهیم یوسف پور

مدیر گروه آبیاری و زهکشی - SBU آب

چکیده

استفاده از پساب های فاضلاب در کشاورزی با توجه به کمبود آب و کاهش سطح آب های زیرزمینی در شهر مشهد به عنوان یک منبع با ارزش و مهم آبی مطرح است. کاربرد روش های سنتی آبیاری با راندمان پایین موجب هدر رفت بخشنده بزرگی از منابع آب مذکور شده و از طرفی باعث پخش آلودگی در سطح اراضی کشاورزی می گردد. سیستم های آبیاری تحت فشار امکانات بالقوه چشمگیری برای افزایش بهره وری استفاده از آب فراهم می آورند و مشاجرات بین کشاورزان و مشکلات زیست محیطی ناشی از استفاده غیر اصولی از آب آبیاری را کاهش می دهند. لذا در این مقاله سعی بر آن است تا ضمن معرفی روش های مدرن آبیاری جهت استفاده بهینه از میزان آب به جنبه های بهداشتی و زیست محیطی استفاده از پساب نیز توجه گردد. بدین ترتیب ملاحظات بهداشتی و زیست محیطی استفاده از پساب تصفیه خانه اولنگ مشهد با توجه به استانداردهای موجود مورد توجه قرار گرفته و توصیه های لازم در خصوص کاربرد این پساب در سیستم های آبیاری تحت فشار ارائه گردیده است.

کلمات کلیدی: پساب، کشاورزی، اولنگ مشهد، آبیاری، تحت فشار، زیست محیطی، بهداشتی

صنعتی تصفیه شده در امور کشاورزی و سایر فعالیت ها تأکید شده است [1].

تقریباً کلیه استانداردها و راهنمایی های استفاده مجدد از فاضلاب، کاربرد این آب را جهت آبیاری اراضی کشاورزی پیشنهاد می دهند. با توجه به اینکه آبیاری از فعالیت هایی است که بیشترین آب را در هر کشور مصرف می نماید، از اینرو اولین گزینه قابل بررسی در هر طرح استفاده مجدد می باشد [2].

در حال حاضر در بسیاری از شهر های ایران، فاضلاب های خانگی و روان آبهای سطحی و بعضی پساب های صنعتی پس از خروج از شهر، در زمین های کشاورزی پایین دست استفاده می شود. آمار منتشره از سوی مرکز درمانی کشور نشان می دهد، بیماری هایی نظیر هپاتیت های عفونی، اسهال ها، انگل های روده ای و سایر انواع بیماری هایی که به دلیل وجود آلودگی محیط ناشی از دفع نادرست فاضلابها می باشند در شهر های مختلف شیوع پیدا کرده است. بالا آمدن سطح آبهای

۱- مقدمه

در حال حاضر کشورهای واقع در نواحی خشک و نیمه خشک نسبت به سایر کشورها ارزش فاضلاب را بهتر درک نموده و بسیاری از کشورها به دنبال یافتن روش های بهبود و گسترش استفاده مجدد از فاضلاب هستند. در کشورهای خاورمیانه که اکثر آنها در ناحیه خشک و نیمه خشک قرار دارند و از قدیم با معضل کم آبی آشنا بوده اند، استفاده مجدد از فاضلاب تصفیه شده در کشاورزی هر روز اهمیت بیشتری می یابد.

در کشور ما نیز استفاده از فاضلاب سابقه طولانی دارد بطوریکه در زمان صفویه از فاضلاب اصفهان در زمین های حاشیه شهر استفاده گردید. در حال حاضر با توجه به اینکه قسمت اعظم مساحت ایران از بارش سالیانه کمی برخوردار است عنوان یکی از سیاست های اقتصادی - اجتماعی دولت بر استفاده بهینه از منابع تجدید پذیر، بویژه باز چرخانی و استفاده مجدد آب، تغذیه آبهای زیرزمینی و استفاده مجدد از فاضلاب های انسانی و



استفاده شهر در تصفیه خانه فاضلاب اولنگ مشهد که در قسمت شرقی این شهر قرار گرفته، پس از جمع آوری و تصفیه شده و سپس به کشف رود تخلیه و در شرایط حاضر این فاضلاب در اراضی کشاورزی حاشیه کشف رود مورد استفاده بهره‌برداران کشاورزی قرار می‌گیرد. ورودی این تصفیه خانه ۲۵۰۰ مترمکعب در روز است.

۲-۲- ویزگی های فاضلاب تصفیه شده
ویزگی های فیزیکی و شیمیایی فاضلاب تصفیه شده اولنگ مشهد به قرار جدول (۱) آمده است.

۳- نتایج

در این تحقیق با توجه به اطلاعات موجود و در دسترس ملاحظات زیست محیطی و بهداشتی دو روش آبیاری بارانی و قطره‌ای با توجه به کیفیت فیزیکی و شیمیایی و میکروبی فاضلاب تصفیه شده اولنگ مشهد مورد مقایسه قرار گرفته‌اند. همانطور که جدول شماره (۱) نشان می‌دهد کیفیت فیزیکی و شیمیایی فاضلاب تصفیه شده اولنگ مشهد در حد استاندارد بوده ولی با توجه به شواهد موجود کیفیت میکروبی آن که با شاخص کلیفرم کل و کلیفرم گوارشی مشخص می‌گردد، از حد استانداردهای موجود بالاتر بوده و از این رو باید مدیریت لازم در انتخاب نوع کشت و روش آبیاری صورت گیرد. در انتخاب نوع کشت و روش آبیاری، ملاحظات زیست محیطی و بهداشتی شامل موارد زیر می‌باشد که بایستی در مدیریت اجرایی استفاده از فاضلاب تصفیه شده اولنگ مورد استفاده قرار گیرد:

۳-۱- نوع محصولات

۳-۱-۱- محصولات غذایی

- محصولات غذایی که به صورت خام مورد مصرف قرار می‌گیرند نظیر سبزیجات و صیفی جات و میوه‌ها
- محصولات غذایی خشکباری و محصولاتی که به صورت پخته شده مورد استفاده قرار می‌گیرند مثل گندم، حبوبات

۳-۱-۲- محصولات علوفه‌ای و دامی

- محصولات علوفه‌ای که مستقیماً و به صورت تازه مورد مصرف حیوانات اهلی قرار می‌گیرند مثل ذرت علوفه‌ای، یونجه، سورگوم علوفه‌ای

- محصولات علوفه‌ای که بصورت خشک و بعد از گذشت مدتی پس از برداشت مورد مصرف قرار می‌گیرند.

۳-۱-۳- فضای سبز

- مناطق حفاظت شده و در تماس با رفت و آمد عموم مردم
- مناطق نیمه حفاظت شده

زیرزمینی در مناطق جنوبی تهران، تبریز و شیراز و همچنین وجود نیترات بیش از اندازه در آبهای زیرزمینی شهر مشهد و بالاخره آلودگی سبزی و صیفی جات کشت شده در اراضی جنوب تهران و برخی شهرهای بزرگ مثل مشهد بر اثر آبیاری با فاضلابها نمونه‌هایی از این قبیل مسائل هستند که سال به سال حادتر شده و چنانچه اقدام مؤثری صورت نگیرد مشکلات بزرگتر خواهد بود[۳].

اصولاً از لحاظ آبیاری، بهره‌برداری از آب با کیفیت پایین مانند پساب، پیچیده‌تر و مشکل‌تر از آب با کیفیت خوب است و نیازمند مدیریت اجرایی پیچیده و روش‌های کنترلی و نظارتی دقیق‌تر است.

موقعیت بهره‌برداری از فاضلاب جهت تولید محصول می‌بایست با اهداف تولید بهینه محصول، حفاظت محیط‌زیست و نگهداری حاصل خیزی خاک مطابقت داشته باشد. موضوعات مختلفی باید در کنار هم قرار گیرند و با هم ترکیب شوند تا شرایط و موقعیت بهره‌برداری و مدیریتی مشخص شود. بهره‌بردار، باید اطلاعات پساب فراهم شده و کیفیت آن را فرمول‌بندی نموده و با شرایط داخل مزرعه مطابقت دهد. شرایط داخل مزرعه با سه مورد اساسی انتخاب محصول، انتخاب روش آبیاری و مدیریت اجرایی و تجربی ترکیب شده و مجموعاً موقعیت ما را مشخص می‌سازد[۴].

۲- مواد و روش‌ها

در دشت مشهد بیش از نیمی از اراضی کشاورزی توسط پساب فاضلاب آبیاری می‌شود. بنابراین پتانسیل استفاده از فاضلاب تصفیه شده وجود داشته که به دلیل شرایط حاکم بر این شهر (افت سفره آب زیر زمینی و افزایش مصرف آب به دلیل وجود زائر در تمام موقع سال) لازم است از این منبع آبی با توجه به ارزشمند بودن آن بخوبی استفاده شود. استفاده از روش‌های آبیاری تحت فشار یکی از این روش‌ها می‌باشد. هدف از این تحقیق بررسی و مقایسه روش‌های مختلف آبیاری تحت فشار و ملاحظات زیست محیطی و بهداشتی مربوط به آنها می‌باشد. بدین‌منظور روش‌های آبیاری قطره‌ای و بارانی از نظر ملاحظات زیست محیطی با توجه به کیفیت فیزیکی و شیمیایی و میکروبی پساب تصفیه خانه فاضلاب اولنگ مشهد، مقایسه شده‌اند.

۲-۱- ویزگی های منطقه

شهر مقدس مشهد از جمله کلانشهرهای ایران است که در منطقه‌های با اقلیم گرم و خشک قرار گرفته و در طول سال پذیرای زائرین زیادی از کلیه نقاط کشور می‌باشد. منابع تامین آب این شهر غالباً منابع آب زیرزمینی بوده که با برداشت بیش از حد با افت سطح سفره روپرورد شده است. بخشی از آب مورد



جدول (۱): ویژگی های فاضلاب تصفیه شده اولنگ مشهد

استاندارد	انحراف معیار	مقدار میانگین در پساب	واحد	پارامتر
۶-۸/۵	+۰/۰۶	۷/۷۷	-	pH
۲۵۰۰-۷۵۰۰	۵۰۰	۲۵۸۳	$\mu\text{s}/\text{cm}$	EC
۱۰۰	۱/۹	۶۹/۱	mg/l	BOD ₅
۲۰۰	۱/۱۷	۱۳۹/۵	mg/l	COD
۱۰۰	+۰/۶	۸۹/۳	mg/l	TSS
	+۰/۰۹	۱/۱	mg/l-N	NO ₂
-	۱/۵۶	۲۷/۴	mg/l-N	NO ₃
-	+۰/۳	۳/۲	mg/l-P	PO ₄ ³⁻
	۱۵/۶	۲۹۲/۸	mg/l-CaCO_3	قلایت
-	+۰/۳۷	۳۴/۹	mg/l	Ca ⁺⁺
۱۰۰	+۰/۷۵	۱۹/۴	mg/l	Mg ⁺⁺
-	+۰/۴۷	۸۳/۹	mg/l	Na ⁺
-	+۰/۷۶	۲۰/۶	mg/l	K ⁺
+۰/۰۵	+۰/۰۰۲۸	+۰/۰۴۸	mg/l	گادمیوم
۲	+۰/۰۳۲	+۰/۲۱	mg/l	نیکل
۲	+۰/۰۶۵	+۰/۱	mg/l	آهن
۱	+۰/۰۰۵	+۰/۰۸۵	mg/l	منگنز
۱	+۰/۰۲	+۰/۷۸	mg/l	سرب
۲	+۰/۰۲	+۰/۲۱	mg/l	روی
+۰/۰۵	+۰/۰۰۲	+۰/۰۰۱	mg/l	گیالت
۱۰	+۰/۰۳۶	۲/۸۲۲	-	SAR
۱۲	+۰/۰۵	۸/۹۶	-	ESP
۲/۰	+۰/۲		-	RSC
۶۰	+۰/۴	۴۸/۰۶	%	درصد سدیم



۴-۱-۳- جنگل‌ها

- شامل جنگل‌های تجاری (میوه، چوب و زغال)
- مناطق جنگلی حفاظت شده

۲-۳- روش آبیاری

در شرایط عادی، انتخاب روش آبیاری بستگی به آب فراهم شده، آب و هوا، خاک، محصولات، هزینه، روش آبیاری و توانایی کشاورز در مدیریت مزرعه دارد. با وجود این، وقتی که منبع آب آبیاری، پساب فاضلاب باشد، آلدگی محصولات برداشتی، کارگران مزارع، محیط‌زیست، شوری و خطرات ناشی از سمیت لازم است که مورد توجه قرار گیرند[4].

انتخاب روش آبیاری تحت تأثیر عوامل ذیل است:

- انتخاب محصولات
- خیس‌شدن شاخ و برگ‌ها، میوه‌ها و قسمت‌های هوایی
- توزیع آب، نمک و آلدگی در خاک
- آب سهل الوصول که خاک می‌تواند در خود نگهداری کند.
- میزان راندمان مورد درخواست
- آلدگی محیط‌زیست و سلامت کارگران کشاورزی بطور کلی به منظور کاهش آلدگی محصولات، انتخاب روش مناسب آبیاری می‌باشد تماش قسمت‌های خوراکی گیاه و آب آبیاری با کیفیت پایین را به حداقل برساند. به دلیل اینکه پاتوژن‌ها از طریق روزنه‌ها منتقل می‌گردند، آبیاری بارانی بیشترین پتانسیل را برای انتقال پاتوژن‌ها به گیاهان برگدار دارد. در روش‌های آبیاری سطحی (نواری، فارو و ...) بدلیل انتقال آب در سطح زمین، احتمال آلدگی محصول به جز محصولات خزنه و غده‌ای به حداقل می‌رسد. روش‌های آبیاری موضعی نظیر آبیاری قطره‌ای از کمترین انتقال پاتوژن به سطح محصول برخوردار می‌باشند[9].

مطالعات متعددی در زمینه تأثیرات آبیاری بارانی، قطره‌ای (سطحی و زیرسطحی) و آبیاری سطحی بر روی آلدگی محصولات انجام شده است. نتایج حاصل از این مطالعات نشان داده‌اند که آبیاری قطره‌ای از کمترین آلدگی محصول نسبت به آبیاری سطحی و بارانی برخوردار می‌باشد. ولی هزینه آبیاری قطره‌ای با توجه به بالا بودن آلدگی و کدورت پساب خروجی به دلیل احتمال گرفتگی قطره چکان‌ها نیز بیشتر است. (armon et. Al., 2002, bastos and mara, 1995, El Hamouri et. Al., 1996, Oron et. Al., 2001; Solomon et al. , 2002)

با این وجود تکنیک‌های آبیاری قطره‌ای با هزینه اندک نظری آبیاری کوزه‌ای^۱ دارای پتانسیل بالای جهت استفاده در کشورهای کم درآمد می‌باشد. براساس مطالعات انجام شده در کشور غنا استفاده از آبیاری کوزه‌ای باعث کاهش آلودگی تا ۶ واحد لگاریتمی مخصوصاً در طول دوره فصول گرم سال شده است.^۲

در تحقیق دیگر که توسط فنه و راسکین در سال ۱۹۹۸ انجام شده است استفاده از روش‌های قطره‌ای و قطره‌ای زیر سطحی در زمینه کنترل حرکت نیترات بسته به وضعیت خاک، آب و شرایط توسعه ریشه گیاهان تحت آبیاری موفق بوده است[5].

اورون و همکاران در سال ۱۹۹۲ با بکار بردن پساب فاضلاب در مزارع آزمایشی واقع در فلسطین اشغالی به این نتیجه رسیده‌اند که در موقعی که از سیستم آبیاری قطره‌ای استفاده می‌شود، آلدگی سطوح خاک و گیاه حداقل و زمانی که از سیستم بارانی استفاده می‌شود، مقدار آلدگی حداقلتر خواهد بود. همچنین نتایج حاصل از این آزمایش‌ها نشان می‌دهد که در سیستم آبیاری قطره‌ای زیر سطحی مقدار نیتروژن در عمق ۳۰ الی ۶۰ سانتی‌متری نسبت به آبیاری قطره‌ای سطحی کمتر بوده و در نتیجه نیتروژن و فسفر وقتی که منبع آب نزدیک ریشه گیاه واقع شده باشد، بهتر جذب می‌شوند. در مقابل مطالعه موردی دیگری نشان داد در هنگام استفاده از روش‌های آبیاری سطحی با پساب فاضلاب، ۲۴ درصد از ازت کل موجود در پساب فاضلاب آبشویی و از دسترس گیاه خارج می‌گردد[6].

در جدول شماره (۲) عوامل موثر در انتخاب روش آبیاری نشان داده شده است.

در روش آبیاری بارانی آب به شکل یکنواختی در سطح مزرعه پخش می‌شود. با این وجود بدلیل آنکه توزیع آب به صورت باران می‌باشد، محصولات، درختان میوه و کارگران کشاورزی در معرض آلدگی به پاتوژنها قرار دارند. همچنین امکان پخش پاتوژنها توسط بادهای سطحی وجود دارد که برای حل این مشکل لازم است، فاصله مناسب از مناطق مسکونی رعایت شود. همچنین طراحی سیستم آبیاری بارانی باید به صورتی باشد که خطرات بهداشتی مربوط به باد به حداقل برسد. بدین‌منظور در صورت استفاده از آبیاری بارانی جهت آبیاری با

1- Bucket

2- Keraita et. Al., 2007

ذکر گردید استفاده از این روش نیازمند سرمایه‌گذاری جهت ایجاد تجهیزات مورد نیاز بوده و فقط در کشت‌های ردیفی مناسب است. مقایسه جدول(۳) و جدول(۱) در خصوص فاضلاب تصفیه شده اولنگ مشهد بیانگر آن است که از نظر فیزیکو شیمیایی، این فاضلاب دارای استانداردهای لازم بوده ولی با توجه به بالابودن شاخصهای آلوگی مثل کیفرمهای کل استفاده از روش آبیاری قطره‌ای در اراضی مورد کشت پیشنهاد می‌شود.

۴- مراجع

- ۱- معاونت امور آب و آبفا، وزارت نیرو، ضوابط زیست محیطی استفاده مجدد از آب‌های برگشته و پسابها، نشریه شماره ۳۴۵-الف، ۱۳۸۸.
- ۲- حمادی، محمد، "اثرات زیست محیطی فاضلاب"، دانشنامه علمی، Water94.blogfa.com، ۱۳۸۵.
- ۳- کمیته ملی آبیاری و زهکشی، استفاده از فاضلاب تصفیه شده در کشاورزی، ۱۳۸۰.
- ۴- نجفی، پیام، موسوی، سید فرهاد و عابدی، محمد جواد، "اثرات کاربرد روش آبیاری قطره‌ای در بهبود وضعیت بهره‌برداری از پساب فاضلاب شهری" همایش اثرات زیست محیطی پساب‌های کشاورزی بر آب‌های سطحی و زیرزمینی، تهران، بهمن ۱۳۸۰.
- ۵- Vigneswaran, S. and Sundaravadiel, M., "Recycle and Reuse of Domestic Wastewater, in Wastewater Recycle, Reuse and Reclamation", [Ed. Saravananmuthu (Vigi)Vigneswaran], in Encyclopedia of Life Support System(EOLSS), Developed under the Auspices of the UNESCO, Eolss Publishers, Oxford, UK, [<http://www.eolss.net>]
- ۶- Phene, C.J. and R. Ruskin. 1998. Nitrate management of wastewater with subsurface drip irrigation. Geoflow Inc. Available on internet, (www.Geoflow.com)
- ۷- Oron, G. Demalach, Y., Hoffman, Z., and Y. Manor. 1992. Effect of effluent quality and application method on agricultural productivity and environmental control. Water Sci. Tech. 26(7/8): 1593-1601.
- ۸- Oron, G., Campos, C., Gillerman, L. and M. Salgot. 1999. Wastewater treatment, renovation and reuse for agricultural irrigation in small communities. Agricultural Water Management , No.38, pp.223-234.
- ۹- Pescod, M. B. 1992. Wastewater treatment and use in agriculture, FAO, Irrigation and ZDrainage Paper, No.47,113P.

فاضلاب تصفیه شده لازم است از آبپاشهای کم‌شار استفاده شود. در مواقعي که باد در حال وزیدن است و مردم در داخل مزرعه هستند، آبیاری صورت نگیرد. در روش آبیاری بارانی متحرک دستی باید لوله جانبی با نازل و دیگر اتصالات کاملاً محکم شود و پساب از مسیر بسته به لوله جانبی برسد.

کیفیت آب در روش آبیاری بارانی تاثیر بیشتری نسبت به سایر روشها دارد و باعث گرفتن سوراخ آبپاش، لکه‌دار شدن برگها و همچنین ایجاد مسمومیت در گیاه می‌شود. همچنین در لوله‌ها، شیرها و سیستم توزیع نیز استهلاک و رسوب بوجود خواهد آمد. در مواقعي که فلزات سنگین و عناصر مسموم‌کننده در آب وجود داشته باشد، تصفیه ثانویه مورد نیاز است که موجب بالا رفتن هزینه‌های استفاده از پساب می‌شود.

آبیاری قطره‌ای با پساب در مقایسه با سایر روشها هم از لحاظ تولید حداقل محصول و هم از لحاظ رعایت مسایل بهداشتی برای کارگران و کشاورزان مزارع مناسب تر و دارای فواید بیشتری است و با توجه به نوع کشت قابل توصیه می‌باشد. آبیاری قطره‌ای سیستم نسبتاً گران و نیازمند آب با کیفیت مناسب است تا سیستم چهار گرفتگی قطره چکانها نشود. جدول (۳) کیفیت مورد نیاز روش آبیاری قطره‌ای را نشان می‌دهد.

مزایای روش آبیاری قطره‌ای در مقایسه با سایر روشها عبارت است از:

۱- افزایش رشد محصولات و میزان تولید همراه با مصرف بهینه آب، مواد غذایی و تهویه موجود در خاک

۲- بالا بودن راندمان آبیاری

۳- انرژی کم مورد نیاز - فشار در آبیاری قطره‌ای بین ۱۰۰ تا ۳۰۰ کیلوپاسکال است.

۴- کمترین میزان تماس بین نفرات و پساب فاضلاب وجود دارد.

۵- نیاز به نفرات کم - آبیاری قطره‌ای به راحتی قابلیت اتوماتیک شدن داشته و امکان کوددهی و آبیاری باهم وجود دارد.

محدودیت‌های آبیاری قطره‌ای بیشتر شامل هزینه بالای آن است و فقط برای محصولات ردیفی مناسب است.

در نهایت با توجه به جمیع جهات یاد شده روش آبیاری قطره‌ای مناسب‌ترین روش جهت استفاده از پساب فاضلاب تصفیه شده اولنگ مشهد می‌باشد. البته همانطور که



جدول (۲): برخی عوامل موثر در انتخاب روش آبیاری

آبیاری قطره‌ای	آبیاری بارانی	آبیاری نواری	آبیاری نشتی	پارامترهای مورد بررسی
شاخ و برگها همچو آسیبی نمی‌بینند	می‌تواند در اثر صدمه دیدن برگها محصول کاهش پیدا کند	بعضی از قسمتهای پایینی برگ ممکن است تحت تأثیر واقع شود ولی در مجموع کاهش محصول نداریم	شاخ و برگها به دلیل اینکه در مرزها کاشته شده‌اند، هیچ آسیبی نمی‌بینند	۱- خیس‌شدن شاخ و برگ‌ها و اثرات صدمه دیدن برگها در فقر محصول
نمکهای بصورت شعاعی در مسیر حرکت آب از گیاه فاصله می‌گیرند و به صورت گره بین گیاهان جمع می‌شوند	معمولًاً "نمکها به سمت پایین حرکت می‌کند و در ناحیه ریشه تجمع نمی‌کنند	معمولًاً "نمکها به سمت به سمت پایین حرکت می‌کند و در ناحیه ریشه تجمع نمی‌کنند	نمکها در روی مرز جمع شوند که می‌تواند به گیاه صدمه بزند	۲- نمکهای جمع شده در ناحیه ریشه که در اثر تکرار آبیاری بوجود می‌آید
احتمال تنش برای گیاه در ناحیه رشد وجود ندارد	احتمال تنش برای گیاه در ناحیه رشد وجود ندارد	گیاه ممکن است از لحاظ رطوبت در بین فواصل فوائل آبیاری دچار تنش شود	گیاه ممکن است از لحاظ رطوبت در بین فواصل آبیاری دچار تنش شود	۳- توانایی خاک در نگهداری پتانسیل بالای آب
خوب تا بسیار خوب، بیشتر گیاهان می‌توانند رشد کنند با کاهش خیلی کم محصول است	از ضعیف تا خوب، بیشتر محصولات تحملشان نسبت به صدمه دیدن برگها کم است	نسبتاً متوسط، با آبیاری و زهکشی خوب پذیرفته خوب می‌تواند سطح شده تولیدات را داشته باشد	نسبتاً متوسط، با مدیریت و زهکشی خوب ممکن است پذیرفته شده باشد	۴- مناسب بودن پساب شور حاصل از فاضلاب بدون کاهش محصول

جدول (۳): کیفیت آب مورد نیاز آبیاری قطره‌ای

درجات محدودیت در بهره‌برداری			واحدها	مشکلات
نامناسب	متوسط	نادرد		
>100	50-100	50>	mg/l	فیزیکی: نمکهای معلق
> 8	7-8	7 >	mg/l	شیمیایی: PH
2000	5000-20000	5000 >	mg/l	نمکهای محلول
>1/5	0.1-1/5	0.1 >	mg/l	منگنز
>1/5	0.1-1/5	0.1 >	mg/l	آهن
> 2	0.5-2	0.5 >	mg/l	H ₂ SO ₄
>50000	100000-500000	100000 >	حداکثر عدد میلی‌متر	بیولوژیکی: باکتری‌های آلوده



بیوگرافی

آقای علی سمعیعی دارای مدرک لیسانس مهندسی کشاورزی از دانشگاه ارومیه و فوق لیسانس برنامه ریزی و مدیریت محیط زیست از دانشگاه تهران می باشد. ایشان ۱۷ سال سابقه کار در زمینه محیط زیست و همکاری با قدس نیرو و دیگر مشاورین بنام در این زمینه را دارد. زمینه علاقمندی آقای سمعیعی کارهای زیست محیطی و به خصوص ارزیابی زیست محیطی می باشد.

Email: Asamiei@ghods-niroo.com

آقای رامین نیکنام دارای مدرک لیسانس مهندسی کشاورزی، گرایش آبیاری از دانشگاه شیراز و فوق لیسانس آبیاری و زهکشی از دانشگاه تربیت مدرس می باشد. ایشان دارای ۷ سال سابقه کار بوده که ۶ سال آن در شرکت مهندسی قدس نیرو می باشد. زمینه علاقمندی آقای نیکنام مدیریت مصرف انرژی در بخش آبفا، طراحی شبکه های آبیاری و زهکشی، استفاده از پساب تصفیه شده، بررسی کیفی سفره های آب زیرزمینی و مدیریت بهره برداری بهینه از منابع آب سطحی و زیرزمینی می باشد.

Email: Rniknam@ghods-niroo.com

آقای ابراهیم یوسف پور مدیر گروه آبیاری و زهکشی دارای مدرک لیسانس مهندسی آبیاری و آبادانی از دانشگاه چمران اهواز و ۲۱ سال سابقه کار می باشد که ۱۷ سال آن در شرکت مهندسی قدس نیرو است. زمینه علاقمندی و فعالیت آقای یوسف پور طراحی شبکه های آبیاری و زهکشی، مدیریت بهره برداری بهینه از منابع آب سطحی و زیرزمینی، استفاده از پساب تصفیه شده، پروژه های انتقال آب و آبرسانی و مدیریت مصرف انرژی در بخش آبفا می باشد.

Email: Ayusefpour@ghods-niroo.com



اصلاح مدل رفتاری موهر کولمب جهت تخمین نشست سطح زمین بر اثر حفاری تونل‌های کم عمق

رسول فرج نیا

کارشناس ارشد عمران، خاک و پی- آب SBU

کلمات کلیدی: تونل، نشست، پایداری، مدل موهر کولمب پیشرفته.

چکیده:

بر اثر حفاری‌های زیرزمینی و به علت ترخیص تنش، تغییر شکل‌های الاستیک و پلاستیک در نواحی اطراف حفاری ایجاد می‌گردد و این موضوع باعث ایجاد جابجایی در محدوده اطراف تونل و سطح زمین می‌شود. براین اساس یکی از پیامدهای حفر تونل‌های کم عمق پدیده نشست در سطح زمین می‌باشد. در صورتیکه برای مدلسازی عددی این پدیده از مدل رفتاری موهر کولمب استفاده شود با افزایش عمق حفاری تونل، روند افزایش میزان نشست ماکزیمم سطح زمین و کاهش ضربی اطمینان پایداری در مقابل لغزش مشاهده می‌شود که ممکن است در برخی موقع قابل قبول نباشد. در این تحقیق برای اصلاح این پدیده، مدل رفتاری موهر کولمب پیشرفته بعنوان مدل رفتاری جایگزین و کارا در تعیین میزان نشست ماکزیمم سطح زمین مورد استفاده قرار گرفت. با انجام آنالیزهای تنش و پایداری با مدل رفتاری پیشرفته، با افزایش عمق حفاری تونل، کاهش نشست ماکزیمم سطح زمین و افزایش ضربی اطمینان پایداری بر اثر ترخیص تنش بررسی شده است.

۱- مقدمه

نرم‌افزار ابتدا مدل هندسی اولیه از محیط، شامل مشخصات رئوتکنیکی لایه‌های زمین‌شناسی، مدل هندسی تونل حفر شده براساس قطر و عمق‌های مورد نظر ایجاد گردیده و براساس آنالیزهای تنش و پایداری انجام گرفته تنش‌های اولیه زمین و تنش‌های زمین بر اثر ترخیص تنش محاسبه گردیده و بعد از این مرحله خروجی نرم‌افزار شامل شبکه المان تغییر شکل یافته، جابجایی‌های قائمه و ضرایب اطمینان پایداری تونل حفرشده نمایش داده می‌شود.

۲- مدل سازی عددی

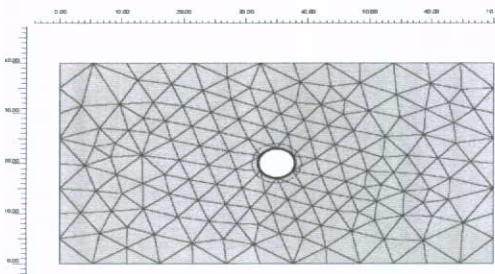
همانطور که ذکر گردید تحلیل‌های عددی حفاری تونل با استفاده از نرم افزار PLAXIS انجام شده است. مقطع تونل‌ها بصورت دایره‌ای تمام مقطع با شعاع‌های ۳۶,۹ متر در عمق‌های ۵,۰، ۱۰، ۱۵,۰، ۲۵,۰، ۳۰ متری از سطح زمین مدل گردیده است. خاک میزان که حفاری در آن انجام پذیرفته خاک همگن چسبنده (رس با چسبنده‌گی متوسط) می‌باشد. با توجه به دوبعدی بودن مدل مورد استفاده، نتایج بدست آمده "عملای" برای تونل‌های با طول حفاری زیاد که در آنها رفتار کرنش مسطح حاکم است قابل توصیه خواهد بود. آنالیزهای عددی با استفاده از نرم افزار اجزاء محدود PLAXIS V8.2 می‌باشد. در این

در دهه‌های اخیر با توجه به رشد جمعیت و پیشرفت‌های صنعتی، بحث استفاده بهینه از فضاهای شهری مورد توجه ویژه‌ای قرار گرفته است. از جمله این فضاهای فضاهای زیرزمینی هستند که باعث تسريع در دسترسی به مکان‌های مورد نظر، انتقال آب و ... می‌شوند. در حفاری تونل‌های کم عمق، نشست سطح زمین بویژه در مناطق شهری از اهمیت ویژه‌ای برخوردار است. روند این نشستها نسبت به عمق حفاری در مناطق مختلف متفاوت است. تغییرات نشست سطح زمین نسبت به عمق حفاری گاه بصورت افزایشی و گاهی بصورت کاهشی است، به ویژه وقتی عمق تونل از حدی بیشتر می‌شود عملای" کاهش تغییر مکان در سطح زمین مشاهده خواهد شد. هدف از این تحقیق تعیین روند تغییر مکان‌های قائم سطح زمین با افزایش عمق حفاری تونل براساس مدل رفتاری موهر کولمب و موهر کولمب پیشرفته در خاک‌های همگن می‌باشد. برای این منظور از نرم افزار PLAXIS استفاده شده است که قابلیت مدل کردن انواع مقاطع تونل‌ها، بارگذاری‌ها، و سیستم‌های نگهداری را دارا می‌باشد. در این



۲-روش ساخت مدل

مدل شبکه المان‌های خاک مورد بررسی طوری تهیه می‌شود که در پایین مدل شرط مرزی بسته تغییرمکان در جهت افقی و قائم وجود داشته باشد و در جناحین تنها در جهت افقی تغییر مکان بسته شود. پس از تشکیل مدل هندسی، شبکه اجزاء محدود ایجاد می‌گردد که به عنوان مثال در شکل (۱) مشاهده می‌شود. در ساخت شبکه از المان‌های مثلثی ۱۵ گره‌ای برای مدل کردن توده خاک استفاده شده است، برای تعیین اثر اندازه و تعداد المان‌ها بر نتایج آنالیز و تحلیل‌ها در ساخت مدل مناسب، آنالیزهای حساسیت برای تعیین اثر تعداد و اندازه شبکه المانها انجام شد و بر این اساس، اندازه متوسط^۱ برای مدل کردن نوع شبکه المان‌ها در نظر گرفته شده است. برای حذف شرایط مرزی از هر طرف حداقل ۴ برابر قطر تونل از توده خاک مدل شده و با مرز مناسب جایگزین شده است. پس از ایجاد تنشهای اولیه، حفاری تونل در مرحله بعدی با حذف ناحیه تونل انجام شده است.



شکل (۱): نمایی از شبکه المان‌های یکی از مدل‌های تهیه شده

۳-بررسی اثر مدل‌های رفتاری در اندرکنش تونل و خاک

تحلیلهای فوق برای عمق‌های مختلف حفاری و قطرهای مختلف تونل انجام شده و نتایج تحلیل برای دو مدل مختلف در قالب ماکریزم نشت سطح زمین، ضرایب اطمینان پایداری، تعیین میزان شعاع زون پلاستیک و نشت نسبی سطح زمین به شرح ذیل آورده شده است.

انجام گردیده است. این نرم افزار اجزاء محدود قابلیت مدل کردن انواع مقاطع تونل‌ها، بارگذاری‌ها و سیستم‌های نگهداری را دارد می‌باشد. در این نرم افزار ابتدا مدل هندسی اولیه از محیط، شامل مشخصات ژئوتکنیکی لایه‌های زمین‌شناسی، مدل هندسی تونل حفر شده براساس قطر و عمق‌های مورد نظر ایجاد گردیده و بر اساس آنالیزهای نتش و پایداری انجام گرفته نتش‌های اولیه زمین و نتش‌های زمین بر اثر ترخیص تنش محاسبه گردیده و بعد از این مرحله خروجی نرم افزار شامل شبکه المان تغییر شکل یافته، جابجاگایی‌های قائم، ضرایب اطمینان پایداری و شعاع زون پلاستیک تونل حفر شده نمایش داده می‌شود.

۲-پارامترهای مدل‌های رفتاری

به منظور مطالعات ماکریزم میزان نشت سطح زمین و ضرایب اطمینان پایداری تونل حفر شده با عمق‌های مختلف در زمین‌های همگن، مشخصات ژئوتکنیکی و بافت ژرفایی بصورت یک لایه خاک همگن در دو مدل رفتاری در جدول (۱) آورده شده است. مدل‌های مورد استفاده یکی مدل موهر کولمب و دیگری مدل موهر کولمب پیشرفته است که در آن مقدار چسبندگی و مدول الاستیسیته نسبت به عمق با رابطه زیر افزایش می‌یابد:

$$E = E_0 + \alpha H \quad (1)$$

$$C = C_0 + \beta H \quad (2)$$

که در آن E_0 و C_0 مدول الاستیسیته و چسبندگی در سطح زمین، α و β نرخ افزایش این دو پارامتر به ازاء یک متر سربار و H عمق مورد نظر می‌باشد.

در مدل موهر کولمب با انتخاب هر گونه پارامترهای مقاومتی و تغییر شکل پذیری با افزایش عمق حفاری، نشت در سطح زمین زیاد می‌شود. در حالیکه در مدل موهر کولمب پیشرفته امکان کم شدن نشت در سطح زمین با انتخاب گونه‌ای از پارامترها امکان پذیر است. در جدول (۲) پارامترهای مدل موهر کولمب پیشرفته با این هدف ارائه شده است.

جدول (۱): پارامترهای مدل موهر کولمب

γ KN/m ³	E (KPa)	v	φ (o)	C (KPa)
۱۸	۲۰۰۰	۰/۴	۲۵	۵۰

جدول (۲): پارامترهای مدل موهر کولمب پیشرفته

γ KN/m ³	φ (o)	v	α (KP/m)	E_0 (KPa)	β (KPa/m)	C_0 (KPa)
۱۸	۲۵	۰/۴	۷۵۰	۱۵۰۰۰	۲	۲۰





مطابق منحنی‌های نشست مشاهده می‌گردد میزان نشست ماکزیمم سطح زمین برای رابطه تجربی ذکر شده در تونل با قطرهای ۳ و ۶ متری تقریباً "زدیک به نتایج حاصل از آنالیزهای عددی بوده ولی در تونل با قطر ۹ متری همخوانی ندارد بطوریکه ماکزیمم میزان نشست سطح زمین حاصل از رابطه تجربی در عمق‌های کم بیشتر از مقدار آنالیزهای عددی بوده ولی با افزایش عمق حفاری تونل مقدار آن کمتر از آنالیزهای عددی میگردد.

۲-۳- ضریب اطمینان پایداری

ضریب اطمینان پایداری تونل‌ها با قطر ۳، ۶ و ۹ متر با افزایش عمق حفاری در دو مدل رفتاری موهر کولمب و موهر کولمب پیشرفت‌به روش کاهش مقاومت برشی در شکل (۳) نشان داده است. در روش کاهش مقاومت برشی که توسط Dawson et al (1999) معرفی شده است [۲] ، مقدار پارامترهای چسبندگی و زاویه اصطکاک در طول تحلیل به گونه‌ای کاهش می‌یابد تا به آستانه عدم همگرایی در مدل عددی برسد. در این وضعیت مقدار ضریب کاهش به عنوان ضریب اطمینان پایداری معروفی می‌شود. در شکل (۳) مشاهده می‌شود که ضریب اطمینان پایداری تونل در مدل رفتاری موهر کولمب با افزایش عمق حفاری تونل کاهش یافته است در حالیکه در مدل رفتاری موهر کولمب پیشرفت‌به با افزایش عمق حفاری تونل میزان ضریب اطمینان پایداری تونل شروع به زیاد شدن می‌نماید.

۱-۳- ماکزیمم میزان نشست در سطح زمین

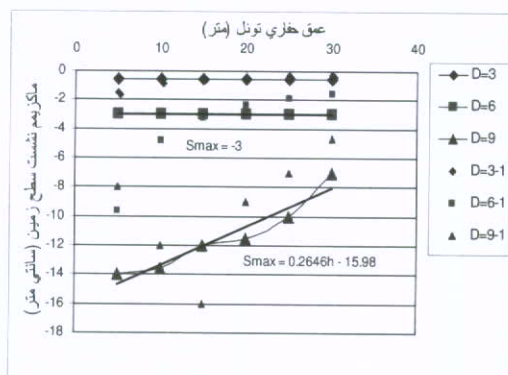
نشست حداقل سطح زمین برای تونلهای با قطر ۳، ۶ و ۹ متر نسبت به عمق حفاری برای مدل‌های رفتاری پادشاهی در شکل (۲) نشان داده شده است. مشاهده می‌شود در مدل رفتاری موهر کولمب با افزایش عمق حفاری نشست ماکزیمم در سطح زمین بتدریج افزایش می‌یابد ولی در مدل رفتاری موهر کولمب پیشرفت‌به (افزایش پارامترهای مقاومتی خاک متناسب با عمق) با افزایش عمق حفاری تونل، میزان نشست ماکزیمم سطح زمین ثابت مانده یا شروع به کم شدن می‌نماید. ضمناً علاوه بر منحنی‌های نشست ماکزیمم حاصل از نتایج آنالیزهای کامپیوترا، منحنی‌های نشست S_{max} حاصل از روابط تجربی نشست سطحی زمین (Erick and Animateur, 2007 و Peck, 1969) نیز آورده شده است.

$$S = S_{max} \exp\left[\frac{-x^2}{2i^2}\right] \quad (3)$$

$$S_{max} = V / (i * \sqrt{2\pi}) \quad (4)$$

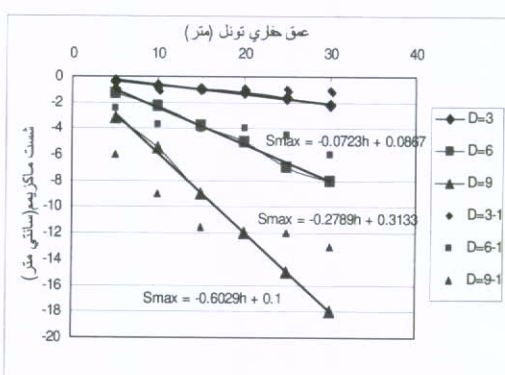
$$i / R = (Z_o / 2R)^n \quad (5)$$

که در آن S نشست سطح زمین به فاصله x از محور تونل، S_{max} مقدار نشست در $x=0$ و i محل شبیه نشست ماکزیمم یا نقطه انحنا است [۳].

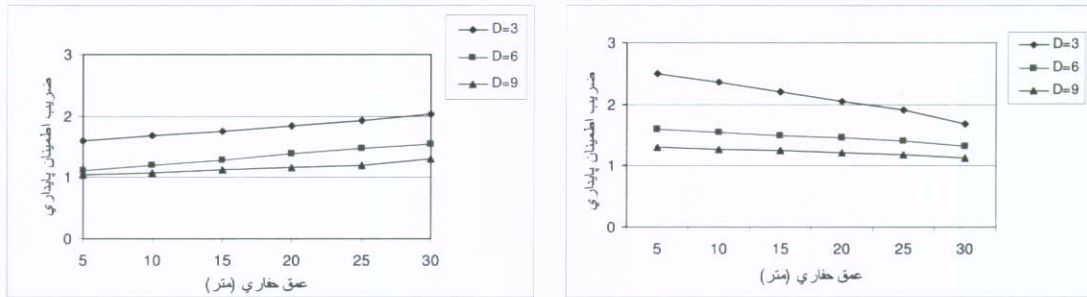


شکل (۲): منحنی‌های ماکزیمم میزان نشست سطح زمین در مقطع عرضی تونل

ب) مدل رفتاری موهر کولمب پیشرفت‌به



الف) مدل رفتاری موهر کولمب



شکل (۳): منحنی های ضرب اطمینان پایداری تونل

ب) مدل رفتاری موهر کولمب پیشرفته

الف) مدل رفتاری موهر کولمب

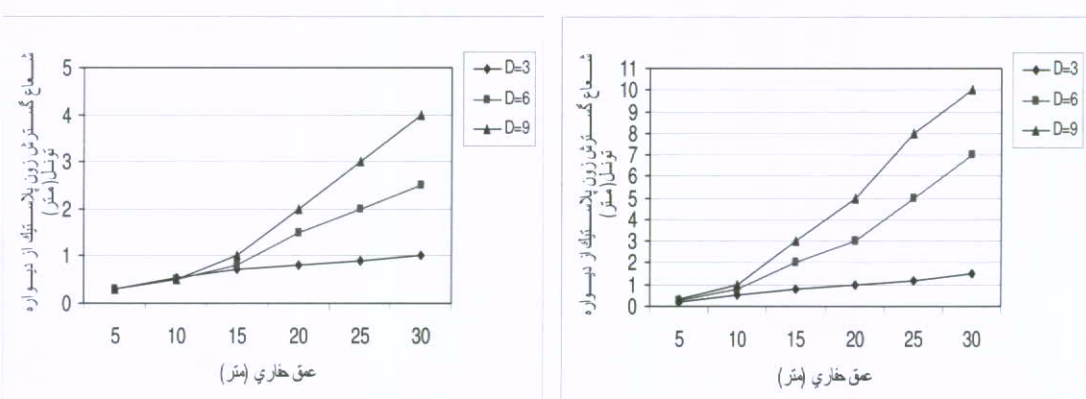
هستند و یا ساختمانهایی که پی آنها بصورت منفرد است این تغییر شکل نسبی از حدی نمی تواند بیشتر باشد در غیر این صورت در پی و یا سازه ترکهایی بوجود خواهد آمد. تغییر شکل نسبی بر اثر حفاری زیر زمینی با افزایش عمق حفاری تونل در دو مدل رفتاری در شکل (۵) آورده شده است. در مدل رفتاری موهر کولمب میزان تغییر شکل نسبی سطح زمین در محدوده تحت فشار (محدوده بین محور تونل تا نقطه عطف منحنی نشست) با افزایش عمق حفاری تونل افزایش یافته ولی محدوده تحت کشش (خارج از محدوده نقطه عطف) با افزایش عمق حفاری تونل کاهش را نشان میدهد ولی در مدل رفتاری موهر کولمب پیشرفته میزان تغییر شکل نسبی سطح زمین در محدوده تحت فشار با افزایش عمق حفاری تونل کاهش یافته ولی محدوده تحت کشش با افزایش عمق حفاری تونل افزایش را نشان می دهد.

۳-۳- گسترش شعاع زون پلاستیک

بعد از حفاری تونل، شعاع زون پلاستیک در هر دو مدل رفتاری موهر کولمب و موهر کولمب پیشرفته مطابق شکل (۴) با افزایش عمق حفاری تونل (افزایش ترخیص تنش) افزایش را نشان می دهد. ولی میزان شعاع زون پلاستیک در مدل رفتاری موهر کولمب بیشتر از مدل رفتاری موهر کولمب پیشرفته میباشد، همچنین مشاهده میشود که با افزایش قطر حفاری تونل، ضخامت ناحیه ای که به پلاستیک می رسد بیشتر می شود.

۴-۳- نشست نسبی در سطح زمین

در ساختمانهایی که در مجاورت محور تونل قرار دارند تغییر شکل نسبی سطح زمین پس از احداث تونل بسیار با اهمیت است. در ساختمانهایی که دارای فونداسیون بنتی پیوسته

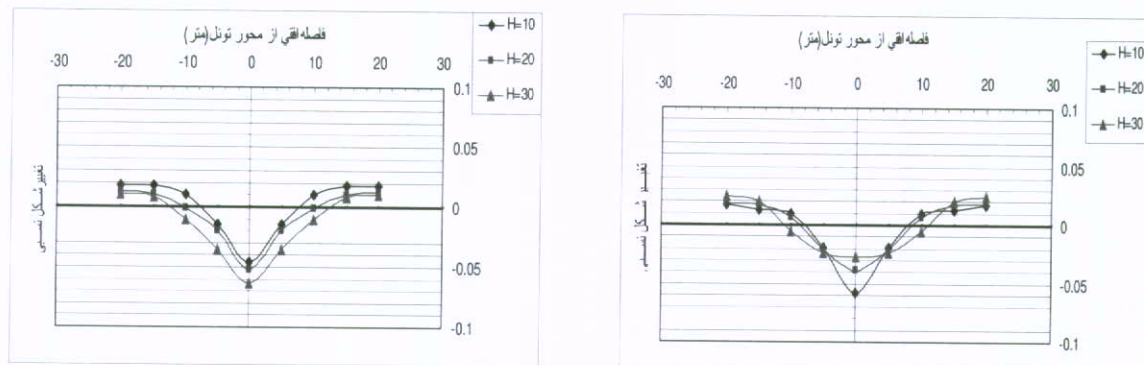


شکل (۴): گسترش شعاع زون پلاستیک در اطراف مقطع حفاری

ب) مدل رفتاری موهر کولمب پیشرفته

الف) مدل رفتاری موهر کولمب





شکل (۵): منحنی های نشست نسبی در سطح زمین

ب) مدل رفتاری موهر کولمب پیشرفته

الف) مدل رفتاری موهر کولمب

Peck, R. (1969), "Deep excavations and tunneling in soft ground", proc of 7th international conference on soil mechanics and foundation Engineering.

۴- نتیجه گیری

براساس نتایج حاصل از آنالیزهای انجام شده در مدل رفتاری موهر کولمب، ماکریم میزان نشست سطح زمین و ضربی اطمینان پایداری تونل حفر شده با افزایش عمق حفاری تونل به ترتیب افزایش و کاهش می‌باشد که گاهی این روند در عمل قابل قبول نمی‌باشد. ولی در مدل رفتاری موهر کولمب پیشرفته می‌توان پارامترها را طوری در نظر گرفت که ماکریم میزان نشست سطح زمین و ضربی اطمینان پایداری تونل حفر شده با افزایش عمق حفاری به ترتیب کاهش و افزایش را نشان دهد. از مقایسه این دو مدل مشاهده شد شعاع زون پلاستیک ایجاد شده با افزایش عمق حفاری تونل افزایش یافته است. لازم به ذکر است که مدل رفتاری موهر کولمب پیشرفته (افزایش پارامترهای مقاومتی متناسب با افزایش عمق) به علت برخوردی از پارامترهای ورودی ساده نسبت به مدل‌های رفتاری پیشرفته مشابه (مدل خاک سخت شونده) بعنوان مدل رفتاری جایگزین و مناسب برای تعیین ماکریم میزان نشست سطح زمین در خاک‌های همگن پیشنهاد می‌گردد.

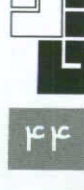
Email: Rfarajniya @Yahoo.com

مراجع

Brinkgreve, R.B.J., Plaxis 2D- Version 8.2. (2002.), user manual, Delft University of Technology & PLAXIS B.V., Netherlands.

Dawson, E. M., Roth, W.H. and Drescher, A. (1999). "Slope stability analysis by strength reduction," Géotechnique, 49(6): 835-840.

Ericle, W.G. and Animateur, L., (2007) "Settlement induced by tunneling in soft ground", Tunnelling and Underground Space Technology, No.22.



مدیریت ریسک و یکپارچه سازی خطوط انتقال

بابک فرهمندشاد

کارشناس ساختمان - SBU نیروگاه

چکیده

نهادهای نظارتی در کانادا، امریکا و انگلستان حرکتی رو به جلو را از روش‌های سنتی و تجویزی طراحی و بهره برداری خطوط لوله به سوی مدیریت ریسک به عنوان سریع ترین و مقرن به صرفه ترین روش نگهداری و بهبود اینمی در دستور کار خود قرار داده‌اند. مدیریت ریسک ترکیبی است از ارزیابی ریسک و کنترل آن. علاوه بر این، بهره برداران و مراجع قانونی اهمیت و کاربرد سودمند سیستمهای مدیریتی را به خوبی شناخته‌اند. سیستم مدیریت خطوط در حال تبدیل به یک الازام ضروری در تمام کشورهای عضو انجمن اروپا در آینده نزدیک است. بنابراین متصدیان امر بايستی از این سیستم‌ها و روش‌های جدید آگاه باشند این مقاله روش‌های مدیریت ریسک و سیستم‌های مدیریتی را به خواننده معرفی می‌نماید، و این دو را برای تولید یک سیستم جامع مدیریت ریسک که در برگیرنده طرح‌های فوریتی و روند شکل گیری آنها با توجه به کاربرد آنها در سیستم خطوط لوله می‌باشد، ترکیب می‌کند.

واژه‌های کلیدی: مدیریت ریسک، یکپارچه سازی، سیستم مدیریت خطوط لوله

۱- مقدمه

کارایی و اثرباری اقتصادی مورد بازبینی و ممیزی قرار می‌گیرد، گرد هم می‌آورد. سیستم مدیریت خط لوله قسمتی از یک سیستم مدیریتی کلی در ارتباط با خط لوله است. بنابراین، سیستم مدیریت ریسک به شرکت‌ها اجازه می‌دهد تا برنامه‌های مدیریت ریسک (شناسایی، ارزیابی و کنترل) بصورت سیستمی اجرا، بازبینی و ممیزی شود.



شکل(۱): طرح مدیریت ریسک در سیستم مدیریتی شرکت

این مقاله روش‌ها و سوابق مدیریت ریسک را ارائه می‌دهد. همچنین شامل سیستم‌های مدیریتی ساده برای متصدیان خطوط است تا آن را در موقعیت‌های درگیر با روش‌های مدیریت ریسک بکار ببرند.

خطوط لوله باید روش اینمی برای انتقال انرژی فراهم کند، متصدیان و گروه‌های عملیاتی باید اطمینان حاصل کنند که مردم، محیط زیست و اموال عمومی از هر مخاطره‌ای که در ارتباط با خطوط لوله پیش خواهد آمد، محافظت می‌شوند. اغلب متصدیان خطوط، این ریسک‌ها را با برآورده کردن الزامات عنوان شده در آئین نامه‌ها، نشریات، دستورالعمل‌ها و استانداردهای ملی کنترل می‌کنند. روش‌های تنظیمی و نظارتی عموماً قابلیت سازگاری و انطباق با خطوط مختلف با نیازهای گوناگون و مخاطرات و حوادث مرتبط با آن‌ها را نخواهند داشت. این موضوع، مشکلات دوگانه‌ای را در بر خواهد داشت: ۱. عدم نمایان شدن ریسک‌های جدید و بالقوه. ۲. ایجاد یک محیط غیرقابل انعطاف برای متصدیان به نحوی که نمی‌توانند از فن‌آوری‌های نوین در جهت شناسایی و تخفیف ریسک‌های کلیدی بهره ببرند.

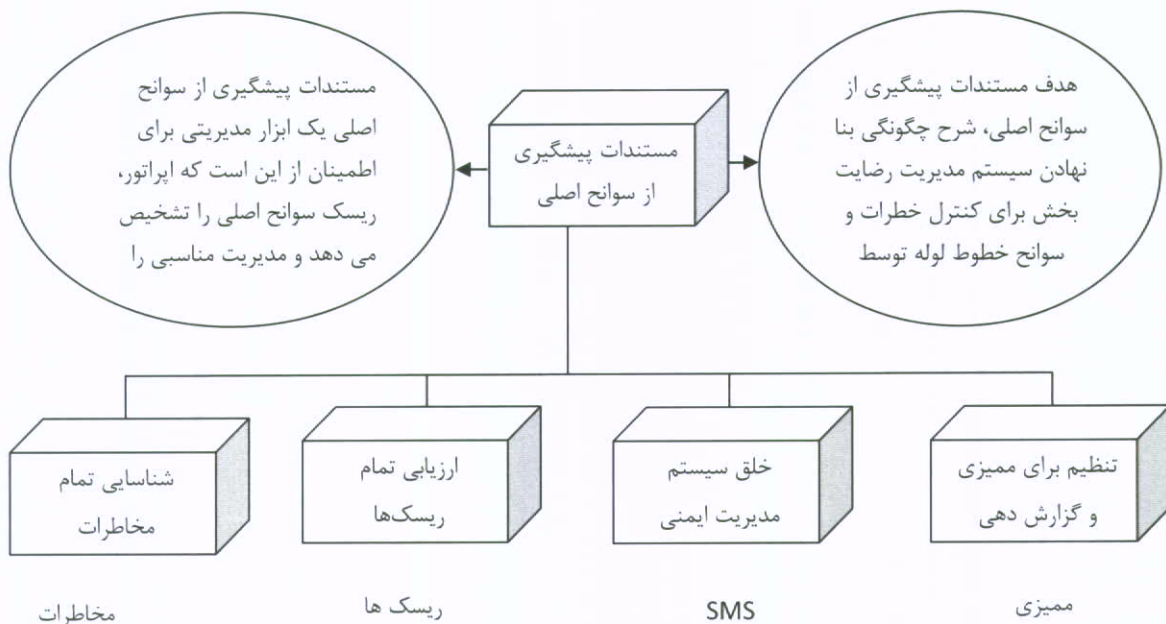
۲- حرکت به سوی سیستم‌های مدیریتی

متصدیان و مسئولین خطوط، اهمیت و سودمندی سیستم‌های مدیریتی رسمی را پذیرفته‌اند. در آینده ای نزدیک، سیستم مدیریت خطوط به عنوان یک الازام ضروری در تمام کشورهای عضو انجمن اروپا در خواهد آمد.

سیستم‌های مدیریت، ساختار تشکیلات، مسئولیت‌ها، تعهدات و فرآیندهای شرکت‌ها را در یک مدرک که دائماً برای کنترل کیفی



۳- مستندات پیشگیری از سوانح اصلی



شکل (۲): الزامات یک مدرک پیشگیری از سوانح اصلی

ارتباط با تدارکات و تجهیزات) هستند. به این منظور، آنها نیازمند یکپارچگی و بی نقصی می باشند. این کمال معمولاً به احتمال کم یا ضعیف شکست و خرابی (عدم انتقال سیال) تفسیر می شود. ریسک توسط ترکیب احتمال یک حادثه خطرآفرین با پیامدهای آن محاسبه می شود:

ریسک: تابعی مشکل از متغیرهای احتمال وقوع حادثه و پیامدها و نتایج منطقی حاصله از آن احتمال خرابی و پیامدهای آن بسته به نوع خط لوله، جنس محصول تولیدی بکار برده شده و اقلیم و محیط زیستی که خط لوله در آن اجرا شده است متنوع می باشد. احتمالات خرابی نمودار تمامی حالاتی است که باعث ناکارآمدی و خرابی خط لوله در طول بیرونی خواهد شد. تجزیه و تحلیل پیامدهای حاصل از خرابی به عواملی مانند: میزان و تعداد نشت خط، سمیت محصول تولیدی، تولید و انتشار و انفجار ابر بخار و اشتعالات حاصل از آن، مخاطرات مربوط به تشعشعات حرارتی و غیره بستگی دارد.

۴-۱- چگونه با ریسک مقابله کنیم؟

به گونه سنّتی، خطوط لوله بر اساس استانداردهای طراحی نظری استاندارد خطوط لوله امریکا (ASMEB31.4/8) طراحی می شوند. اکثر استانداردهای ملی و بین المللی طراحی خطوط بر اساس استاندارد انجمن مهندسان مکانیک امریکا ASME پایه ریزی شده است.

در این استانداردها از حدود قطعی استفاده می شود یعنی درصد تنش حداقل مقاومت تسلیم مشخصه فشار طراحی،

مستندات پیشگیری از سوانح اصلی (MAJOR ACCIDENT PREVENTION DOCUMENTS) یک ابزار مدیریتی است برای اطمینان از اینکه اپراتور، ریسک سوانح اصلی را تشخیص داده و سیستم مدیریتی ایمن مناسب با آن را برای کنترل این ریسک‌ها معرفی نماید (شکل ۲). هدف این است که این مدرک توضیح دهد چگونه اپراتور، سیستم‌های مدیریتی رضایت بخش را بنا کند تا سوانح اصلی و بزرگی که برای خطوط پیش می آید کنترل گردد.

۴- سیستم مدیریت ایمنی

مدرک پیشگیری از سوانح اصلی باید بوسیله سیستم مدیریت ایمنی پشتیبانی شود تا اینمی خط لوله در طول چرخه حیاتش کنترل گردد. سیستم مدیریت ایمنی باید مقدمات پیش گیری، کنترل و کاهش پیامدهای سوانح بزرگ را تحت پوشش خود قرار دهد. که شامل توجه ویژه به صلاحیت‌ها و شایستگی‌های مدیریتی و رویه‌های ضروری برای کاهش امکان اتفاق این رخدادها می باشد.

ترکیب مدارک پیشگیری از سوانح و سیستم مدیریت ایمنی مطابق با خط مشی کلی نشان داده شده در شکل ۲ و هم ارز با "برنامه ریسک" و "سیستم مدیریت خط لوله" که در آینده شرح داده خواهد شد می باشد.

۴-۱- ریسک "چیست؟

تمام متصدیان خواستار خط لوله ای این (ریسک‌های اصلی در رابطه با مردم و محیط زیست) و امن (ریسک‌های اصلی در



۳-۱-۴- مدیریت ریسک (و مدیریت یکپارچگی) چیست؟

مدیریت ریسک ترکیبی از دو مورد اشاره شده (تحلیل شکست و تحلیل آثار و عواقب) است، جایی که ارزیابی و کنترل ریسک را با هم در نظر می‌گیریم. این مهم توسط دفتر ایمنی خطوط لوله امریکا به این عنوان تعریف شده است:

"فرایند جامع پشتیبانی از تصمیمات مدیریتی، که به عنوان یک برنامه اجرا می‌شود، قوانین و تعهدات و مسئولیت‌ها را به منظور بهره برداری، نگهداری، مدیریت مهندسی و تصمیمات نظم دهنده اپراتور در هر روز یکپارچه می‌کند."

بنابراین، از این پس "مدیریت ریسک" با دو نمود شناسایی، ارزیابی و کنترل ریسک و مدیریت یکپارچگی در نظر گرفته می‌شود (جدول ۲) که سه قسمت کلیدی زیر را تحت پوشش قرار می‌دهد:

۳-۱-۴- مدیریت ریسک (و مدیریت یکپارچگی) چیست؟

مدیریت ریسک ترکیبی از دو مورد اشاره شده (تحلیل شکست و تحلیل آثار و عواقب) است، جایی که ارزیابی و کنترل ریسک را بهم در نظر می‌گیریم. این مهم توسط دفتر ایمنی خطوط لوله امریکا به این عنوان تعریف شده است:

"فرایند جامع پشتیبانی از تصمیمات مدیریتی، که به عنوان یک برنامه اجرا می‌شود، قوانین و تعهدات و مسئولیت‌ها را به منظور بهره برداری، نگهداری، مدیریت مهندسی و تصمیمات نظم دهنده اپراتور در هر روز یکپارچه می‌کند."

بنابراین، از این پس "مدیریت ریسک" با دو نمود شناسایی، ارزیابی و کنترل ریسک و مدیریت یکپارچگی در نظر گرفته می‌شود (جدول ۲) که سه قسمت کلیدی زیر را تحت پوشش قرار می‌دهد:

بر مبنای مفروضات محافظه کارانه نظری حداقل ضخامت جدار

دیواره. معمولاً به این حدود یک ضرب اطمینان اختصاص داده می‌شود، بطور مثال، در آزمایش هیدروتست قبل از شروع به کار خط لوله، تنش تسليم حداقل مشخصه $100 \text{ specified minimum yield stress (SMYS)}$ به این معناست که 72 درصد تنش تسليم حداقل مشخصه با ضرب اطمینان $100/72 = 1.0$ برای فشار در ابتدای عمر خط لوله در نظر گرفته شده است.

بنابراین، با محدود کردن فشار، اطمینان می‌یابیم که احتمال کمی از خرابی خط لوله وجود دارد. این نیمی از معادله ریسک که در بالا ذکر شد می‌باشد. "احتمالات مربوط به پیامدهای منطقی" در خطوط انتقال مایعات بوسیله احتمال ضعیف خرابی کاهش می‌یابد، اما در خطوط انتقال گاز، پیامدها با محدود کردن نفرات (ساختمانهایی) که در مجاورت خط لوله هستند، محدود می‌شود.

مشاهده می‌شود که استانداردها و دستورالعمل‌های موجود خط لوله ولو بطور ضمنی به احتمال خرابی و پیامدهای آن اشاره کرده‌اند. از این رو، زمانی که متدهای مدیریت ریسک را به کار می‌بریم باید احتمالات خرابی و پیامدهای آن نیز نشان داده شود، این نکته به خوبی با استانداردهای گذشته سازگاری و همخوانی دارد.

۴-۱-۲- چگونه می‌توان مدیریت ریسک را با مدیریت یکپارچگی

خط لوله پیوند داد؟

بطور سنتی، اپراتورها یکپارچگی خط لوله را به عنوان مقیاس خوبی برای احتمال شکست، و اینمی خط را به عنوان پیامدهای خرابی در نظر می‌گیرند. بنابراین، اپراتورها اغلب دو وجه متمایز "سیستم‌های مدیریت یکپارچگی خط لوله" و "سیستم‌های مدیریت ایمنی" را خواهند داشت. در این مقاله، این دو مفهوم را برای رسیدن به خط مشی واحدی به نام "مدیریت ریسک" ترکیب خواهیم کرد.

جدول (۱) : ردۀ بندی ضرب اطمینان بر اساس ASME B31.8

ردۀ بندی	منطقه	ضرب طراحی (تنش حلقوی تقسیم بر تنش تسليم حداقل مشخصه)
ردۀ اول (قسمت اول)		۰.۸۰
ردۀ اول (قسمت دوم)	تا ۱۰ ساختمان (روستایی)	۰.۷۲
ردۀ دوم	۱۱ تا ۴۵ ساختمان (مناطق حومه شهر)	۰.۶۰
ردۀ سوم	۴۶ ساختمان به بالا (حومه مسکونی شهر)	۰.۵۰
ردۀ چهارم	ساختمان‌های چند طبقه	۰.۴۰



آشکارا، مشخص است که برآورد و ارزیابی ریسک نقطه کلیدی آغاز می‌باشد. ارزیابی ریسک نیازمند مهارت‌های تخصصی است، و باید دقیقاً مدیریت شود. شکل (۴) پروسه کامل ارزیابی ریسک را به اجمال نشان می‌دهد.

اکنون می‌توانیم سیمای متعارفی از مدیریت ریسک را با فرآیندی که بر ارزیابی ریسک متمرکز شده است بینیم (شکل (۴)، که شامل کنترل ریسک و سیستم پشتیبانی تصمیم گیری و پایش کارایی و بازخورد نیز می‌باشد) (شکل (۳)).

۴-۱-۴- چگونه می‌توان برنامه مدیریت ریسک را بسط و توسعه بخشید؟

این مقاله سعی بر آن دارد که طرح کلی و رئوس مطالب یک برنامه کامل مدیریت ریسک را در قالب یک فرم سیستمی ارائه کند. عناصر این برنامه با جزئیات در شکل (۳) برای برنامه مدیریت ریسک امریکا استفاده شده است و خط مشی ارزیابی ریسک را براساس شکل (۴) اتخاذ کرده است. علاوه بر این شامل رویه‌های

الف. شناسایی و ارزیابی ریسک (تحلیل)

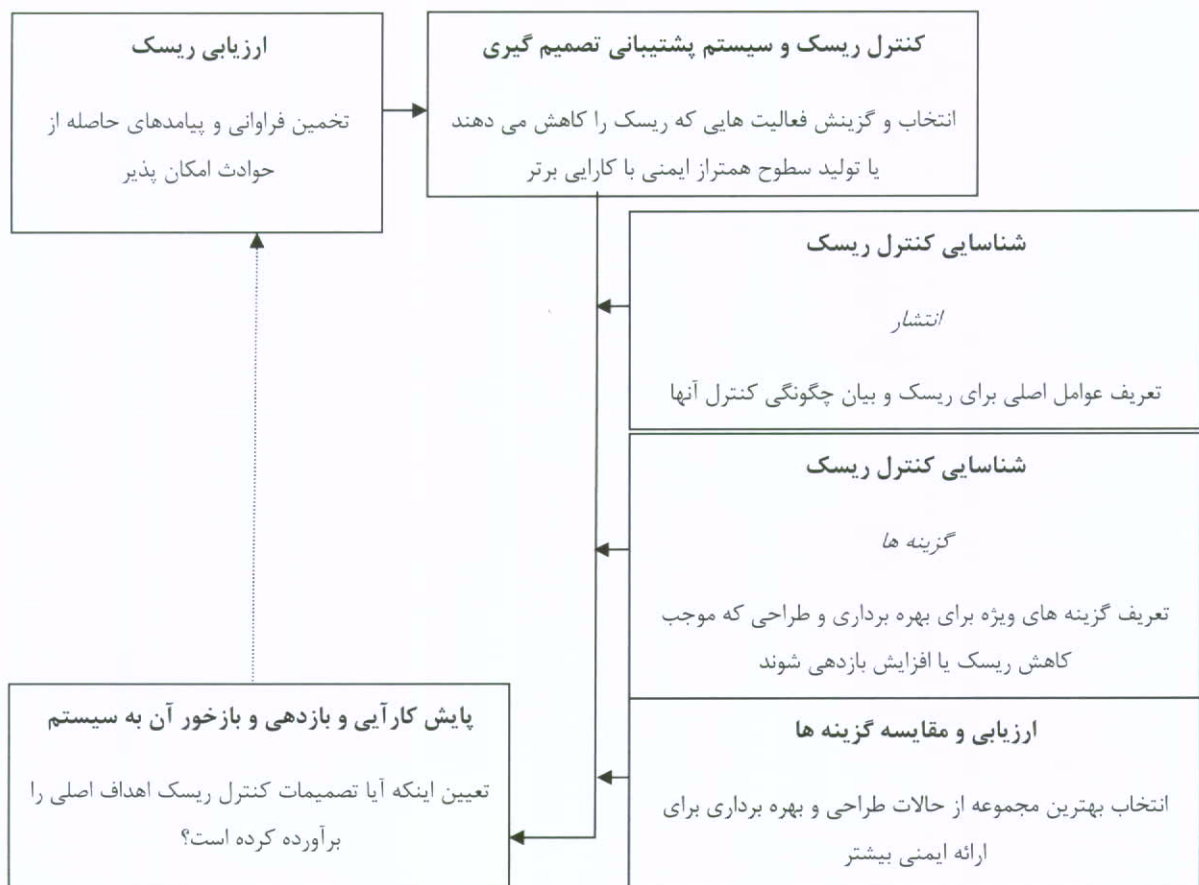
چه نوعی از ریسک متوجه پروژه خواهد شد؟ چه رخدادهای خطرناکی می‌توانند اتفاق افتد؟ احتمال اتفاق این رویدادها چقدر است؟ شدت و حدت پیامدهای آن چگونه خواهد بود؟ احتمال افزایش اتفاق کدام ریسک بیشتر است؟

ب. سیستم پشتیبان تصمیم گیری و کنترل ریسک

چه کاری باید برای کنترل ریسک انجام گردد؟ چه گزینه‌هایی در ارتباط با کنترل ریسک هستند؟ چه مجموعه‌ای از فعالیتها بهترین راه برای نائل آمدن و دستیابی به اهداف مدیریت ریسک است؟

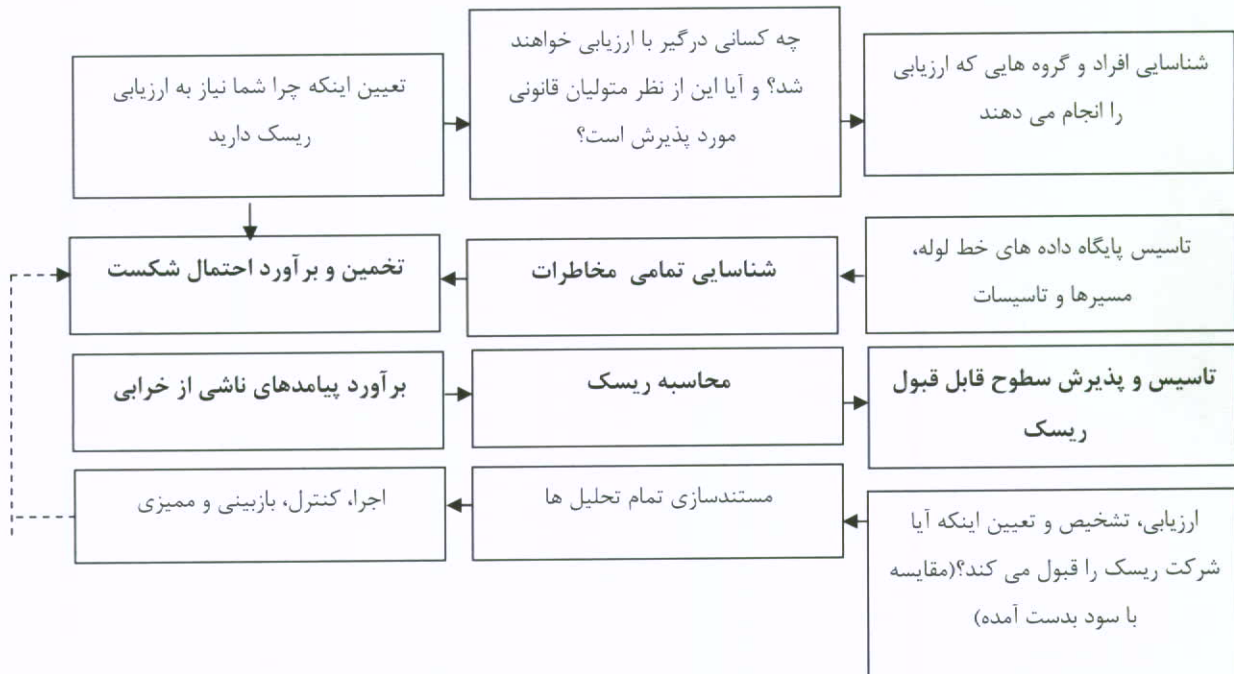
ج. پایش بازده و بازخورد

چه پیشرفت‌هایی را از تصمیمات کنترل ریسک انتظار داریم؟ چه اقدامات پیشگیرانه‌ای بهترین نتایج را در پی خواهد داشت؟ آیا فعالیت‌های انتخابی برای کنترل ریسک اثر مطلوب را خواهند داشت؟ چگونه می‌توان پروسه مدیریت ریسک را بهبود بخشید؟ شکل (۳) جمع‌بندی مطالب بالا است.

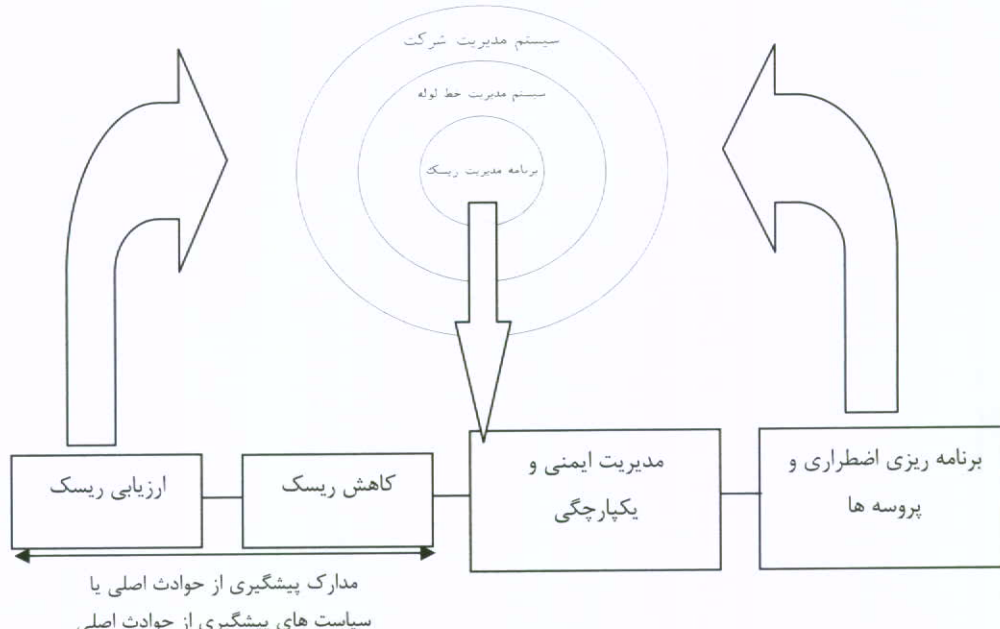


شکل (۳): مدیریت ریسک - خط مشی پذیرفته شده در امریکا





شکل (۴) : اجزای کلیدی ارزیابی ریسک خط لوله



شکل (۵) : نمای کلی طرح کامل مدیریت ریسک که شامل سیستم مدیریت خطوط نیز می شود.



۴. برنامه ها و طرح های اضطراری و فوریتی جهت پشتیبانی مورد سوم (شکل ۵)
۵. سیستم مدیریتی که به شرکت کمک کند که به اهداف ذکر شده در بندهای ۱ و ۴ نایل آید (شکل های ۱ و ۵) بنابراین، ابتدا روش ها و سیستم های مدیریت که برنامه های مدیریت ریسک را شامل می شود توضیح داده (شکل ۱) سپس نگاهی اجمالی به تکنیک های مدیریتی خواهیم داشت.

۵- سیستم مدیریت خطوط

سیستم مدیریت خط لوله در شکل(۶) نشان داده شده است. این یک ساختار پیشنهادی است، شرکت های مختلف به ساختارها، اشکال و اولویت های مختلفی نیاز خواهند داشت. گرچه قالب کلی باید احتياجات اغلب شرکت ها و همچنین نهادهای نظارتی، مقرر اتی، گردانندگان و متوکلیان را برآورده نماید.

هر کدام از بازو های سیستم در شکل(۶)، بایستی شامل تمامی از این رو، تنها اجرای برنامه پایش ریسک و یکپارچگی خط لوله کافی نیست (گرچه خوب است)، بلکه برنامه باید دائمًا مورد بازبینی و ممیزی قرار گیرد تا کفایت و شایستگی آن آزموده شود، و بررسی شود که بصورت کامل و صحیح به کار برده می شود.

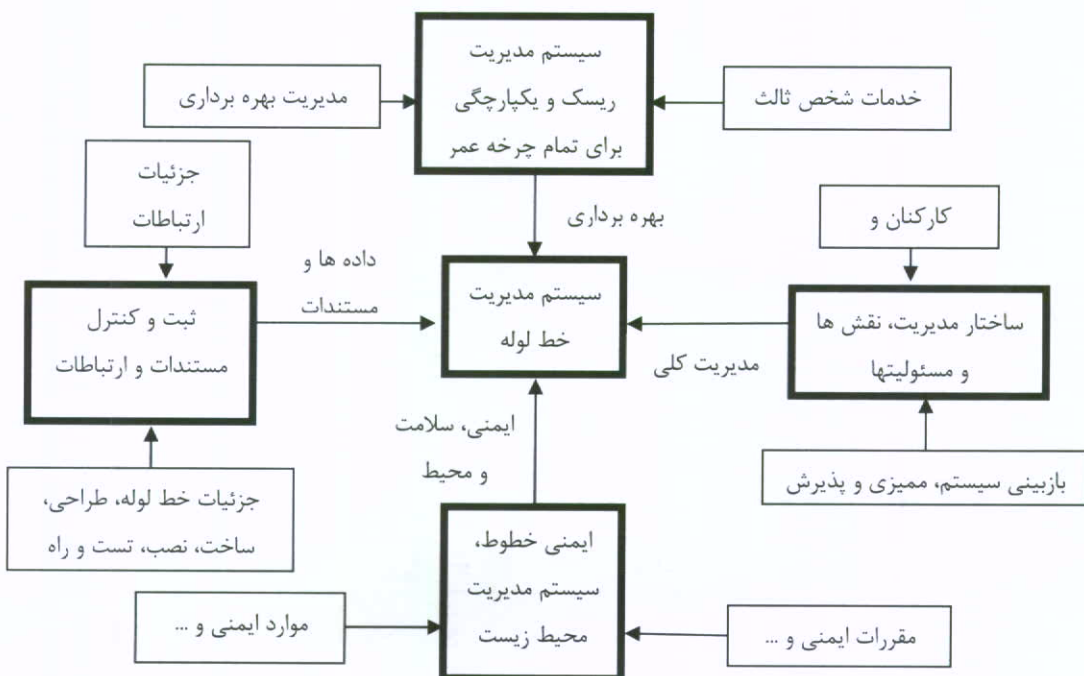
اضطراری و برنامه ریزی های فوریتی نیز خواهد شد. تمام این عناصر در برنامه و طرح مدیریت ریسک درسیستم مدیریت خطوط در نظر گرفته خواهد شد (شکل ۱)، نکته مهم اطمینان از اجرای تمام برنامه، سنجش، بازبینی، ممیزی و اصلاح آن است. باید به این نکته تاکید شود که در این مقاله فقط با سیستم مدیریت ریسک سر و کار داریم. ارزیابی ریسک، عنصر کلیدی برای موفقیت و اینمی خط لوله است. ارزیابی ریسک و برآورد احتمال خطر نیازمند مهارت های ویژه و روش های خاصی است و مستلزم تصمیمات به تفصیل درآمده و با شرح جزئیات با سایر گروه های ذینفع بویژه نهادهای نظارتی می باشد.

مدل مدیریت ریسک که به تفصیل در شکل(۵) نشان داده شده است، تمام جوانب اینمی سیستم خط لوله را در بر می گیرد.

۴-۵- چگونه می توان مدیریت ریسک را در شرکت اجرا نمود؟

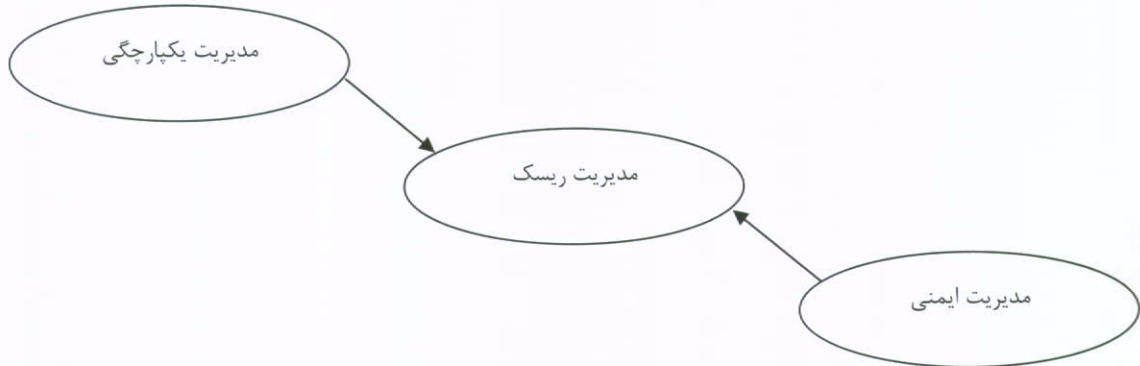
می توان مراحل اجرای مدیریت ریسک را به شرح زیر عنوان نمود:

۱. شناسایی تمامی خطرات احتمالی خط لوله (مانند خودگی)، (شکل های ۳ و ۴)
۲. فرآیند کلی تعیین و سنجش کمیت موارد فوق (نظیر آنالیز ریسک)
۳. شناسایی و تعیین پیشگیری ها برای تخفیف خطرات احتمالی و ریسک ها (مانند حفاری هوشمند)



شکل(۶) : سیستم مدیریت خط لوله





شکل(۷): چگونه سیستم مدیریت ریسک اجزای مدیریت ایمنی و یکپارچگی را با هم گردآوری می‌کند
(به جدول ۲ رجوع شود)

۳. روند کارها می‌توانند سودمند باشند، مثلاً افزایش در فرآواني وقوع یک رخداد.

بطور کلی، سه معیار می‌تواند پیشنهاد شود:
الف. ایمنی و قابلیت اطمینان - چگونه اطلاعات یک رخداد تغییر می‌کند، چگونه ریسک‌های جدید و قدیمی شناسایی و تعریف می‌شوند، آیا خدمات برتر و بهتری برای مشتریان وجود دارد؟ (بطور مثال کاهش موارد شکایت، مدت از کار افتادگی و غیره).

ب. اثربخشی منابع - آیا فن آوریهای نوین، بکار گرفته شده و آموزش داده می‌شوند؟ آیا زمانی که برنامه مدیریت اجرا می‌شود منابع مورد نیاز بطور مستقیم کاهش پیدا می‌کند؟

ج. ارتباطات و شرکت‌ها - آیا تمام سهام داران و ذینفعان پروژه (اپراتورها، متصدیان، نهادهای نظارتی، مشتریان و عامله مردم) تمام ریسک‌های موجود را درک و احساس می‌کنند و با آن کنار آمده‌اند؟ آیا تمام سهامداران نتیجتاً با یک گفته مستدل به گونه‌ای فعالانه در گیر برنامه شده‌اند؟

۷- ریسک‌های "پذیرفتی" و احتمال شکست

یکی از جنبه‌های تحلیل ریسک تنظیم سطوح "قابل پذیرش" ریسک است. در این مورد راهنمایی متنوعی وجود دارد، بطور مثال انگلستان بر روی طرح کاهش ریسک تا حد کاربردی و معقول کار می‌کند (جدول ۲) وقتی ریسک‌ها برای مردم در نظر گرفته می‌شود (شکل ۸).

۱-۵- سیستم‌های مدیریت ریسک خط لوله

تصور سیستم مدیریت خطوط با اشکال فوق دشوار خواهد بود. گرچه، نسبتاً سیستم آسانی برای عمل در قالب یک مدرک که بطور صريح و واضح تکالیف، مأموریت‌ها، مسئولیت‌ها، سیاست‌ها و رویه‌ها در آن تنظیم شده است به خود خواهد گرفت. اجزای اصلی سیستم مدیریت بطور خلاصه بصورت زیر جمع‌بندی می‌شوند:

۲-۵- سیستم مدیریت ریسک کلی

برای ساخت سیستم مدیریت ریسک خط لوله جدول(۲) به کار برده می‌شود. در این جدول، آیتم ۸ برنامه مدیریت ریسک، آیتم ۹ مدیریت یکپارچگی، آیتم ۱۰ و ۱۱ مدیریت فوریت‌های اضطراری و دیگر آیتم‌های تشکیل دهنده سیستم می‌باشد.

۶- معیارهای اندازه گیری کارایی

همانگونه که توضیح داده شد، این معیار شامل سنجش کارایی، بازبینی و ممیزی و رسیدگی است که همه آنچه که گفته شد را به یک سیستم تبدیل می‌کند. اغلب آیتم‌های جدول ۲ شامل سیستم مدیریت خطوط است و از این رو نیازی نیست که سیستم مدیریت ریسک سند بزرگی باشد.

معیارهای کارایی به سختی توسعه پیدا کرده و مورد توافق نهادهای قانونی قرار می‌گیرند.

۱. معیارهای کارایی به دشواری در یک برنامه کوتاه تفسیر می‌شوند.

۲. معیارهای کارایی عمدتاً برای ایمنی و قابلیت اطمینان بر اساس پیامدها می‌باشند (مثلاً تعداد سوراخ‌ها و نشت‌ها)



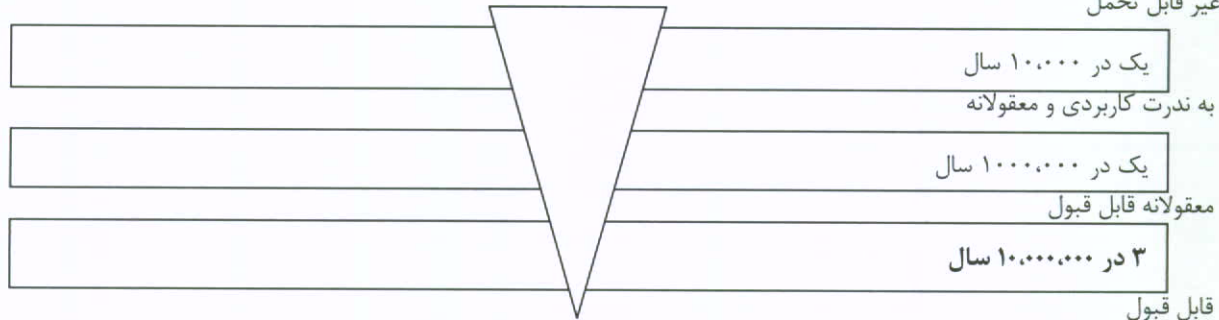
جدول(۲): سیستم مدیریت ریسک

۱. معرفی:
آشنایی اولیه با اهداف، آرمانها، خط مشی و تکالیف شرکت، اداره شرکت.
۲. شرح سیستم های خطوط لوله و حقوق قانونی:
تبادل اطلاعات با دیگر اپراتورها، شرح طراحی، ساخت، استانداردها، دستورالعمل های قانونی و لازم الاجرا.
۳. سازماندهی و کنترل:
ساختاردهی، جوابگویی، مسئولیت پذیری، سازمان دهی، روابط ساختاری بین دیگر گروه ها و بدنها، یکپارچه سازی در شرکت و سیستم های مدیریت خطوط لوله
۴. پرسنل کلیدی:
نقش ها، مسئولیت ها و تعهدات، صلاحیت ها، آموزش و به روز کردن مهارت ها
۵. گروه های ذینفع (سهامداران و سرمایه گذاران):
فهرست تمامی ذینفعان با منافع و روابطشان.
اطلاعات باید به تمام سهامداران داده شود (جزئیات عملیات خط لوله، جزئیات سیستم، ریشه خطرات و سوانح اصلی، روندها و رویه ها) که شامل ارتباطات در زمان وقوع سانحه می شود) و اطلاعاتی که در ارتباط با طرح های فوریتی و پروسه های مربوط به آن می شود.
۶. مستند سازی و سیستم های ارتباطی:
انواع، روش ها، موقعیت ها، بازخورد از بیه پرسنل و سهام داران.
۷. مدیریت تغییر:
جزئیات تغییرات و تحولات مدیریت و مهندسی
۸. تحلیل ریسک، ارزیابی و کنترل برای طول عمر مفید خط لوله:
متداوله‌ی (سلوب شناسی) با توجه به شروط، محدودیت ها و مفروضات- نوع سانحه/ ریسک، رخدادهای ناگوار، احتمالات، درصد تکرار، دوباره، پیامدها، تعاریف، تحلیل حساسیت و تردید، مراحل پذیرش، شناسایی ریسک های اصلی، کنترل آنها، ارزیابی گزینه های کنترل، روش های پیشگیری و کاهش ریسک، سطوح پذیرش.
تاكيد بر شناخت تمامی حوادث اصلی و احتمال وقوعشان، آغازابجاديک سانحه، اعدادآن، شدت و پیامدهای ناگوار حاصل از آن.
احتمال رخداد حوادث باید در حد معقولانه خذف یا تقلیل پیدا کند، در جایی که سوانح قابل حذف نیستند، تدبیر امنیتی مناسبی اتخاذ گردد.
۹. مدیریت یکپارچگی - کنترل، تعییر و نگهداری، بررسی و بازدید سیاست ها، پروسه ها و ویژگی ها:
الف. کنترل، کاهش و نظارت بر فرسایش و خوردگی داخلی و تخریب خارجی
ب. کنترل و نظارت بر موقعیت هندسی خط لوله، نشت ها، کنترل حرکات و جابجایی زمین
ج. کنترل و نظارت بر فشار و افزایش بیش از حد آن
د. تعریف و تهیه گزارش های موردنی خرابی، تحقیقات موردنی و تجزیه و تحلیل آنها
ه. تهیه فهرست کاملی از پروسه های نظارت بر درستی و یکپارچگی خط لوله، مسئولیت ها و تعهدات
و. تعمیر، اصلاح و پروسه های فوریتی و متدنهای مربوط به آن
ز. طرح های فوریتی و ارتباط آن با دیگر خدمات
ح. اطلاعات و مدارکی که در ارتباط با یکپارچگی خط لوله هستند
ط. اظهار برآورده کردن و تطابق با دستورالعمل ها و قوانین ایمنی خطوط
۱۰. برنامه ریزی برای شرایط اضطراری:
افراد و اشخاص مسئول و جوابگو، ارتباطات و روابط بین نقش های ایفا کننده، اقدام برای کنترل، پیامدها و حدود هر اتفاق، سیستم های هشدار دهنده و اعلام خطر، اطلاعات، ارتباطات، آموزش خدمات فوریتی.
۱۱. پروسه های فوریتی:
شرح و تفصیل فرآیند، نقش ها و مسئولیت ها، آزمایش ها، به روز آوری، ارتباطات و سازگاری و انتظام با خدمات محلی و پروسه ها.
۱۲. معیارهای کارایی و بازده:
الف. شرح معیارهای کارایی، ب. ارزیابی معیارها، ج. فرآیند اصلاح و بهسازی
۱۳. بازبینی سیستم مدیریت - مسئولیت پذیری و متناوب بودن
۱۴. بازبینی مدیریت - مسئولیت پذیری و متناوب بودن
۱۵. رسیدگی و بازرگی تمام اجزا و پروسه ها - اجرای تغییرات و بازخوردها

می توان دید که چگونه سیستم مدیریت ریسک تمام جنبه های ایمنی و یکپارچگی خط لوله را گردآوری می کند (شکل ۷).



غیر قابل تحمل



شکل(۸): ریسک های "قابل پذیرش" (تلفات، تصادفات و خسارت ها) برای مردم انگلستان

احتمالات شکست و خرابی "قابل پذیرش" در جدول (۳) انشان داده شده است.

جدول(۳): احتمالات شکست "قابل پذیرش / هدف"

احتمالات شکست هدف (در کیلومتر)		احتمالات قابل قبول خرابی (در سال)		غیرساحلی
حدود ایالت	منطقه اینمن	آبهای آزاد		
نهایی	$10^{-5} - 10^{-6}$	$10^{-3} - 10^{-4}$		
با قابلیت استفاده	$10^{-1} - 10^{-2}$	$10^{-1} - 10^{-2}$		
ساحلی	احتمالات شکست هدف (در کیلومتر)			
حدود ایالت	خیلی جدی (شهری)	با خطر کمتر (نقاط دور افتاده)	با قابلیت تعمیر	
نهایی	10^{-7}	10^{-4}		
با قابلیت استفاده				10^{-3}

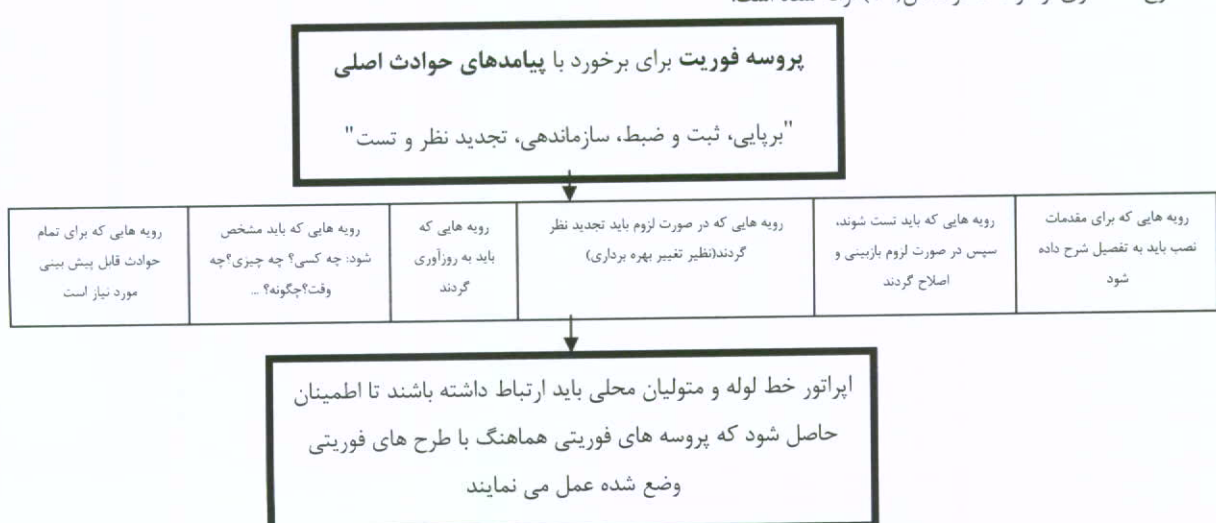




شکل(۹): اجزای کلیدی برنامه ریزی شرایط اضطرار

-۸- رویه ها و پروسه های زمان اضطرار

شرح مختصری از الزامات در شکل(۱۰) ارائه شده است.



شکل(۱۰): اجزای کلیدی رویه های فوریتی جهت استقرار در سیستم مدیریت ریسک

۹- مسیر پیش رو

بخش قبل رئوس کلی سیستم مدیریت ریسک خطوط را در بر داشت. اکنون گام بعدی در رابطه با درگیر کردن این سیستم با شرکت تولیدی خط لوله می باشد. مسیر برتر برای تعقیب این گام ها (جدول ۲) و تولید سیستم "بر مبنای کاغذ" می باشد. هسته این سیستم، آتالیز ریسک خواهد بود (آیتم ۸، جدول ۲). این آتالیز می تواند کمی یا کیفی باشد. تحلیل کیفی معمولا در اولین گام ترجیح داده می شود و بایستی ریسک های کلیدی را آدرس دهی کرده و به اپراتور نشان دهد. در صورت لزوم، تحلیل کمی داده گام را تعقیب می کند، اما در هر دو مورد (تحلیل کمی و کیفی) قضاؤت و تحلیل کارشناسانه نیاز خواهد بود. نسخه های آتی این سیستم می تواند در قالب یک نرم افزار به بازار عرضه گردد.

متصدیان و اپراتورهای خطوط لوله قویا توصیه می شوند به اتخاذ این سیستم های مدیریت ریسک برای مزایایی که در بخش ۳ خلاصه و جمع بندی شده است و اقبال به این سیستم ها در سطح بازار صنعت بصورت گسترده ای در حال افزایش است.

۱۰- نتیجه گیری

این مقاله دوگزینه مهم را برای متصدیان خطوط لوله تحت پوشش قرار می دهد: روشهای مدیریت ریسک، و سیستم های مدیریت. این مقاله نشان می دهد چگونه توصیه ها و روش های مدیریت ریسک از امریکای شمالی و اروپا می توانند ترکیب شوند تا یک سیستم جامع مدیریت ریسک را خلق نمایند. این سیستم شامل تمام جنبه های مدیریت سلامت و ایمنی خط لوله (طرح ها و پروسه های ضربتی، فوریتی) و جانمایی آن در سیستم کلی مدیریت خطوط لوله می شود.

سیستم مدیریت ریسک می تواند با استفاده از راهبردهای تفصیلی ذکر شده در این مقاله بنا نهاده شود. این امر در ابتدا شاید زمان بر به نظر رسد، بنابراین به حمایت و پشتیبانی تمامی طبقات و سطوح کارکنان و کارمندان نیاز دارد تا بطور موفقی گردآوری و اجرا شود. متصدیان خطوط لوله ممکن است این سیستم های مدیریت ریسک به لحاظ فواید ارزشمند و پذیرش و کاربرد فزاینده آنها در صنعت و نهادهای قانون گذار توصیه می شوند.

مراجع:

۲- صادق زاده، مجید، "روشی جدید برای ارزیابی کمی ریسک در مورد خطوط انتقال گاز طبیعی"، اولین کنفرانس لوله و صنایع وابسته، سالن اجلاس سران - تهران، ۲۶ و ۲۷ تیر ۱۳۸۶

1. Anon., 'Pipeline Risk Management', Newsletter of the Office of Pipeline Safety, DoT, USA ,Vol. 3, Issue 1, May 1998.
2. Anon, 'Risk Management Program Standard', Office of Pipeline Safety, DoT, USA, September 1996.
3. Reid, R. J., 'World's Pipeline Industry, While Safe and Reliable, Must Learn to Cope With Change', Oil and Gas Journal, August 1998, p.28.
4. Anon., The Pipeline Safety Regulations 1996 (SI 1996 No. 825), HMSO, UK, 1996.
5. Anon., 'A Guide to the Pipeline Safety Regulations', Guidance on Regulations', L82, HSE Books, HMSO, UK, 1996.
6. Hopkins, P., Cosham, A., 'How Do You Manage Your Pipeline?', 7th Int. Conference on Pipeline Risk Management and Reliability, Houston, USA, November 1997
7. Anon., 'Regulatory Benchmark6 for the Control of Major Hazards Involving Pipelines',(Draft) Pipelines Safety Instrument, European Commission, Italy, July 1998.
8. Anon., 'Successful Health and Safety Management', Health and Safety Executive Books, HS(G) 65, HMSO, UK, 1995.
9. Hopkins, P., Hopkins, H., Corder, I., 'The Design and Location of Gas Transmission Pipelines Using Risk Analysis Techniques', Risk and Reliability Conference Aberdeen,UK, May 1996.
10. Francis, A., Hopkins, P., Lamb, M., 'How do you Assess the Results of a Limit State Based Pipeline Design?', Conference on 'Risk Based & Limit State Design and Operation', Aberdeen, October 1998
11. Anon., 'Investigation into the King's Cross Underground Fire', HMSO, London UK, 1988. Also 'Management by Memo Led to Fundamental Errors', The Guardian Newspaper, UK, 11th November 1988.
12. Hopkins, P., 'New Design Methods for Quantifying and Reducing the Number of Leaks in Onshore and Offshore Transmission Pipelines, Conf. On 'Leak Prevention of Onshore and Offshore Pipelines', IChemE, London, May 1997.
13. Hopkins, P, M Lamb, 'Incorporating Intelligent Pigging Into Your Pipeline Integrity Management System', Onshore Pipelines Conference, Berlin, Germany, 8-9th December 1997.
14. Anon., 'Risk Analysis, Perception, Management'. The Royal Society, London, UK, 1993.
15. Anon., 'Risk Criteria for Land Use Planning in the Vicinity of Major Industrial Hazards', U.K. Health and Safety Executive, Her Majesty's Stationery Office, London, 1989.



16. Anon., Appendix C, 'Oil and Gas Pipeline Systems', Canadian Standards Association, CSA Z662-94, 1994 (reported in Zimmermann, T., et al 'Target Reliability Levels for Pipeline Limit State Design', International Pipeline Conference - Vol. 1, ASME, p.111).
17. Anon., 'Rules for Submarine Pipeline Systems', Det Norske Veritas, DNV1996, Norway (Reported in Jiao, G., et al, 'The Superb Project: Wall Thickness Design Guideline for Pressure Containment of Offshore Pipelines, Offshore Mechanics and Arctic Engineering Conference, OMAE 1996, Florence, Italy.

بیوگرافی

آقای بابک فرهمند شاد دارای مدرک کیسنس مهندسی عمران از دانشگاه سراسری تبریز بوده و ۱۰ سال سابقه کار دارد. ایشان از اسفند ماه ۱۳۸۸ به عنوان کارشناس سیویل با مدیریت ارشد گازی ۲ همکاری نموده است. زمینه فعالیت آقای فرهمند شاد طراحی شبکه های جمع آوری آب های سطحی و پسابهای بهداشتی می باشد.

Email : bfarahmand@ghods-niroo.com



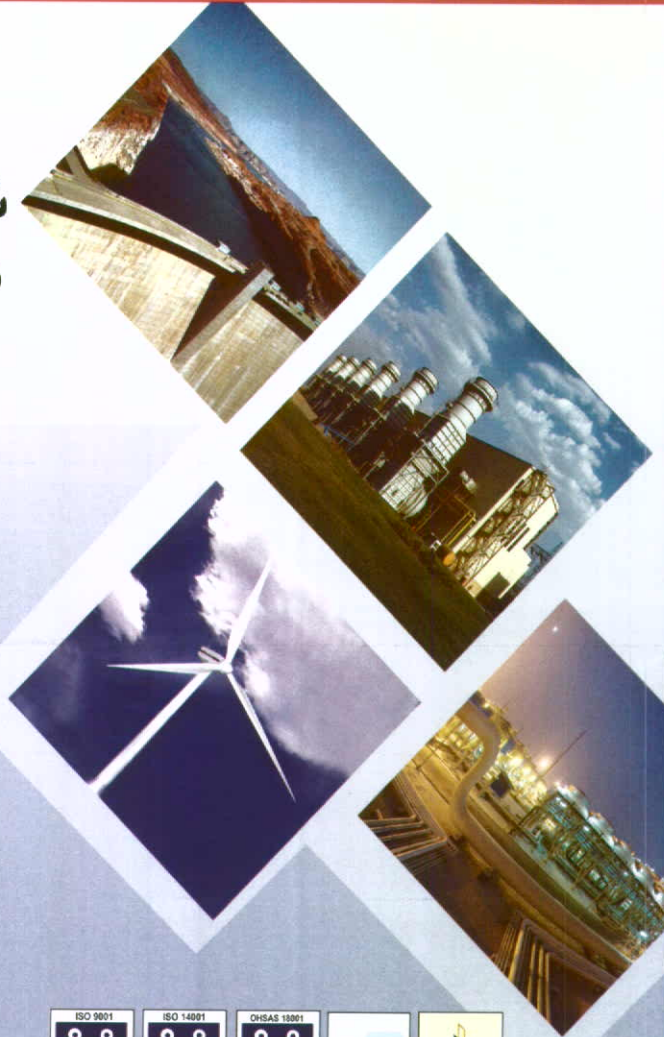


شرکت مهندسی قدس نیرو

شرکت مهندسی قدس نیرو با پیش از ۳۰ سال سابقه در خشان

خدمات مشاوره، مهندسی و طراحی جزئیات، تهیه مشخصات فنی، نظارت عالی، نظارت بر اجرا و راه اندازی پروژه ها و مدیریت اجرایی را در زمینه های زیر ارائه می نماید:

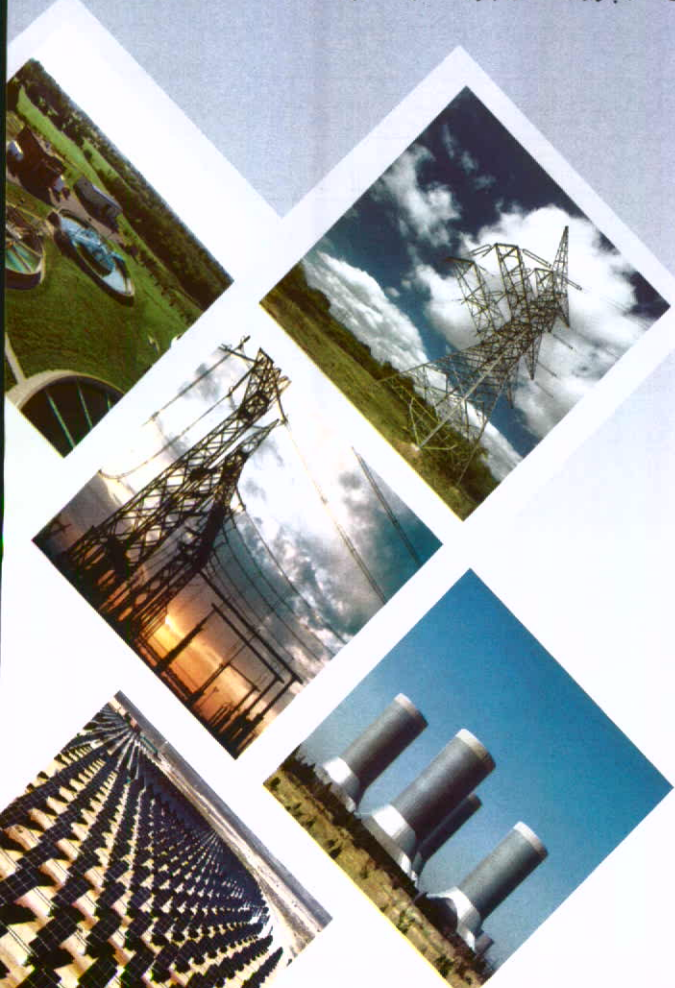
- نیروگاههای حرارتی (بخاری، گازی و سیکل ترکیبی)
- انرژی های تجدید پذیر (بادی، خورشیدی.....) و بهینه سازی انرژی
- پست های فشار قوی
- خطوط انتقال نیرو، شبکه های توزیع نیروی برق و مطالعات سیستم
- سدها و نیروگاههای برق آبی، شبکه های آبیاری و زهکشی
- مطالعات زیست محیطی
- خطوط انتقال نفت و گاز
- همکاری با کارفرمایان به صورت مدیریت پیمان "MC"
- اجرا و یا همکاری در پروژه های بزرگ به صورت "EPC"



GHODS NIROO ENGINEERING COMPANY(GNEC)

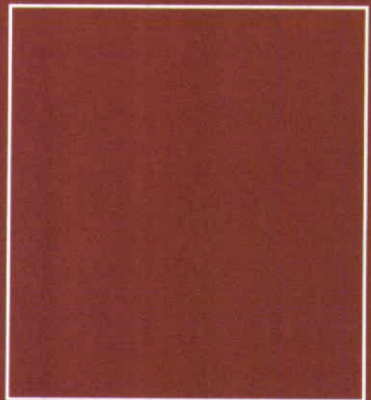
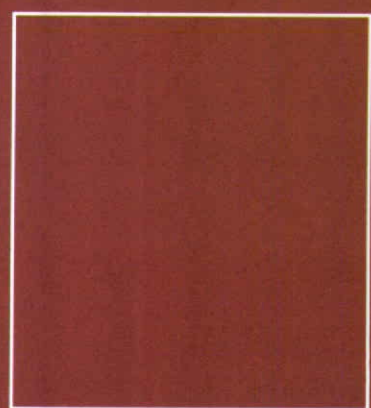
GNEC provides engineering & consultancy services, detail design, rendering technical specifications, project management and site & technical supervisory services in the following fields:

- Power plants (Steam, Gas Turbine & Combined Cycle)
- Renewable Energies(Wind, Solar,.....) Energy Reclamation
- Substations & SwitchYards
- Transmission Lines, Distribution Networks & System Studies
- Dams & Hydropower Plants, Water Transmission Lines, Irrigation & Drainage Networks.
- Environmental Studies
- Oil & Gas Transmission Lines
- Cooperation with Clients in Management of Contract "MC"
- Execution or Participation in major "EPC" Contracts



No, 82 Ostad Motahari Ave
Tehran 1566775353/IRAN
Tel: (+9821) 88403613-82404000
Fax: (+9821) 88411704
www.ghods-niroo.com

آدرس: تهران - خیابان استاد مطهری.
بعد از چهارراه شهروردی. شماره ۸۲
کد پستی: ۱۵۶۷۷۵۳۵۳
تلفن: ۸۸۴۱۱۷۰۴ - ۸۸۴۰۴۶۱۳
فاکس: ۸۸۴۱۱۷۰۴



تهران ، خیابان استاد مطهری ، چهارراه شهروردی ، شماره ۸۲
کد پستی : ۱۵۶۶۷۷۵۳۵۳
تلفن : ۸۸۴۳۰۴۵۴ - ۸۸۴۰۳۶۱۳
فکس : ۸۸۴۱۱۷۰۴

No.82 , Ostad Motahari Ave.
Tehran 1566775353 - IRAN
Tel: 88403613 - 88430454
Fax: 88411704
info@ghods-niroo.com
www.ghods-niroo.com

